

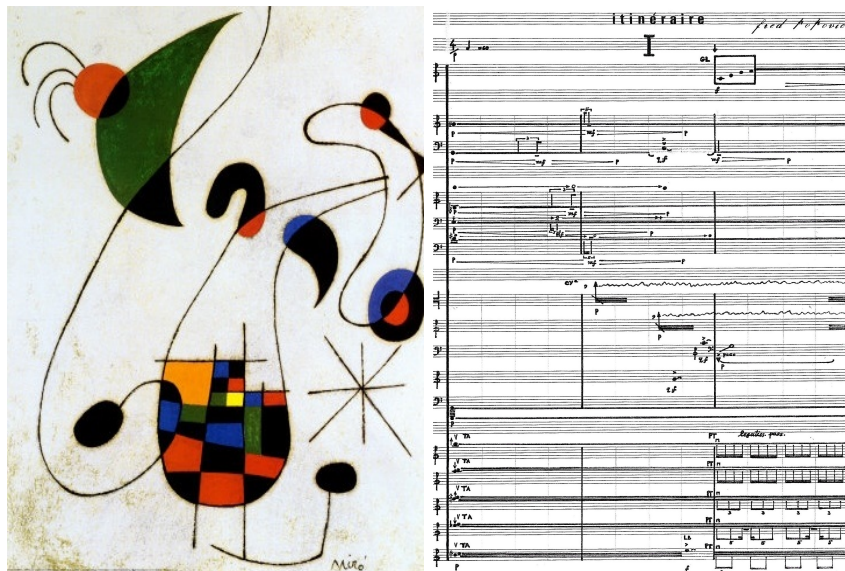
*Fred Popovici*

*Gheorghe M. Stefan*

## Sunet și complexitate

\*

*Strategii nelineare în compoziția muzicală*



*Editura XXX  
2013*



UNIUNEA EUROPEANĂ



GUVERNUL ROMÂNIEI  
MINISTERUL MUNCII FAMILIEI,  
PROTECȚIEI SOCIALE ȘI  
PERSONOANELOR VÂRSTNICHE  
AMPOSDRU



Fondul Social European  
POSDRU 2007-2013



Instrumente Structurale  
2007-2013



MINISTERUL  
EDUCAȚIEI  
NAȚIONALE  
OIPOSDRU



Universitatea  
POLITEHNICA  
din București

Proiect cofinanțat din Fondul Social European prin Programul Operațional Sectorial pentru Dezvoltarea Resurselor Umane 2007-2013  
[Investește în oameni!](#)

Programul Operațional Sectorial pentru Dezvoltarea Resurselor Umane 2007-2013.  
Axa prioritară 1. Educația și formarea profesională în sprijinul creșterii economice și dezvoltării bazate pe cunoaștere.  
Domeniul major de intervenție 1.2. Calitate în învățământul superior.  
Proiect: Sistem integrat de programare de masterat în domeniul ingineriei de sunet, imagine și al aplicațiilor multimedia.  
Contract: POSDRU/86/1.2/S/61810

Motto:

*Ce se întâmplă cu legile fizicii într-un lift care se prăbușește?*

A. Einstein



# Introducere

Această carte dezvoltă un proiect de cercetare teoretică și desfășurare practică, a strategiei decizionale din compoziția muzicală, ce emană dintr-un demers filosofic recent. Sfera abordată este cea a investigațiilor sunetului, a transformărilor lui în timp real și a elaborării organismelor sonice și compoziției de tip complex.

Cu alte cuvinte, prezentul demers derivă, în mod coerent, dintr-un alt demers, paralel, din spațiul lingvistic/conceptual. *De-construcția* este un concept – sau un anticoncept – forjat de filosoful francez Jacques Derrida, în scopul ambiguizării semantice a operelor standardizate din istoria culturii și pentru a le determina conlucrarea la noi proiecții semantizate, dezideologiza(n)te. În lucrările faimoase, deja, *De la grammatologie* [19], *La dissémination* [21], *L'écriture et la différence* [20], Derrida ne descoperă o dinamică precisă a distorsiunilor și re-facerilor scriiturii.

După Derrida, de-construcția urmează două faze: *deplasarea* și *răsturnarea*. “Subiectul scriiturii este un sistem de relații între structuri” [20]: deci, ceva ce nu ar trebui să mai aibă o formă aptă a induce certitudini [21]. Se erodează, astfel, imaginea unui principiu ultim, “totalizant”, ce oprește înlănțuirea continuă a scriiturii [19].

*Răsturnarea* – ludică *par excellence* – ce confirmă sistemul de referință, de de-construcție, exercitând libertatea de distribuire a elementelor ...

*Deplasarea* – consecvență percepță din exterior a răsturnării – un îndecidabil manifest în succesiunea temporală a unor poziții statice ...

Un simplu exemplu de “orientare” muzicală, chiar dacă nu riguros congruent cu ce urmează, poate, întrucitva, să propună o clarificare. Beethoven a compus în sistemul sonor temperat (generat de puterile lui  $\sqrt{2}$ ) și după un principiu organizatoric al formei teleologic (finalist). Trecerea paradigmelor frecvențiale în alt sistem (spre exemplu: scara pentatonica chineză) poate fi echivalată unei *deplasări*; iar convertirea strategiei formei într-una constant

repetitivă (exemple aproximative: melodia infinită” la Wagner<sup>1</sup>, Gurdjieff interpretat de Keith Jarrett<sup>2</sup>, sau minimalismul lui Phillip Glass<sup>3</sup>) poate fi echivalată unei *răsturnări*. De-construcția se vrea a fi avansarea – niciodată oprită de limitele discursului – în însuși prezentul unui act in-formativ a franjurilor unui (alt) act, consumat, instituit drept canon în trecut (oricare ar fi acesta din urmă).

Textul pe care îl propunem pe tot cuprinsul cărții se constituie într-un program concret și imediat convertibil în *praxis*. Programul are trei paliere de organizare:

**palierul conceptual** : prin investigarea teoretică a strategiilor de organizare a spațiului sonor;

**palierul interactiv** : prin dezvoltarea concretă a tehnologilor de execuție;

**palierul aplicativ** : prin desfășurarea concretă a programului, în spațiul instituționalizat și prin propunera unui nou context arhitectural de elaborare și execuție.

## Palierul conceptual

### Travalii gramaticali

Începutul demersului îl constituie lucrul cu gramaticile generativ-transformationale (de tip 2, independente de context), prin aplicații asupra materialelor din istoria muzicii. Dacă admitem ideea că fiecare din noi este un “procesor” de limbaj, atunci această realitate are două ipostaze: “recunoșător” al unor secvențe ca aparținând unui limbaj și “generator” al unor secvențe ce aparțin unui limbaj.

Prin *analiză*, se prelevează paradaigma textului ales (se stabilește alfabetul, apoi vocabularul,  $V$ ) și se identifică regulile de sintagmatizare a acesteia ( $G$ ) și se stabilește simbolul de start  $S$ . Prin *sinteză*, se propune (injectează) un vocabular nou ( $V'$ ), un set asociat de reguli ( $G'$ ) și simbolul de start,  $S'$ . Se produce extensia transformațională  $G \rightarrow G'$ , ce va permite traducerea din  $L$  în  $L'$ .

Schematic, avem următoarele corespondențe:

<sup>1</sup>[http://www.youtube.com/watch?v=vpQD6\\_Lyp7M](http://www.youtube.com/watch?v=vpQD6_Lyp7M)

<sup>2</sup><http://www.youtube.com/watch?v=Bb0kbL1YTbk>

<sup>3</sup><http://www.youtube.com/watch?v=iI4VDf-ugPI>

analiza texului clasic → sinteza noului text  
 vocabular  $V \rightarrow$  vocabular  $V'$   
 set reguli  $G \rightarrow$  set reguli  $G'$   
 limbajul sursă  $L(V, G, S) \rightarrow$  limbajul destinație  $L'(V', G', S')$

**Analiza:** pornind de la  $S$  în  $L$  se stabilește secvența de reguli (producții) din  $G$  -  $(p_1, p_2, \dots, p_n)$  – prin care se poate genera un element (“organism”) aparținând lui  $L$ .

**Sinteză:** pornind de la  $S'$  în  $L'$ , se aplică secvența de reguli (producții) corespondente din  $G'$  -  $(p'_1, p'_2, \dots, p'_n)$  – prin care se poate genera un organism” aparținând lui  $L'$ .

Concret, pentru lucrul efectiv cu calculatorul, este nevoie de utilizarea unor rutine în vederea însușirii lucrului cu gramatici generative, prin stabilirea:

- mecanismelor specifice de definire a alfabetului (vocabularului) asociat unui limbaj muzical;
- mecanismelor specifice de definire a regulilor de generare;
- mecanismelor specifice de definire a corespondenței  $G \rightarrow G'$  (un prim pas în care contribuția creatoare a “beneficiarului”, în consecință, compozitorul, poate interveni)

Deoarece corespondența dintre  $G$  și  $G'$  nu este strict deterministă (unei producții în  $G$  ii pot corespunde mai multe în  $G'$ ), traducerea poate asocia unui organism sursă mai multe organisme destinație. Procesul de selecție a “organismelor” obținute, primul pas către producția unei compozitii, poate fi realizat prin diferite moduri de estimare a coerentării demersului efectuat. Preselecția formală este urmată de o selecție personală, prin care actul compozitional beneficiază de contribuția creatoare a compozitorului (un al doilea moment de intervenție umană).

## Travailu fractal

Răspândirea fractalilor în spațiul muzical determină acest program să examineze un mod aparte și, oricum, coerent prin care se disociază de alte demersuri:

- se propune un nou concept de utilizare a lor, conform unei strategii decizionale personale;
- se propune flexibilizarea formei muzicale eliberată de procedee teologice (simetrii previzibile, acumulări, descrieri figurative etc.). Se urmărește, spre exemplu, disiparea formei până la “zgomot” informational, urmată de reinjecția ordinii până la nivelul la care se (re)echilibrează ordinea cu “dezordinea”, astfel încât să se creeze premisele emergenței unei “forme informale”.

Un concept ce este liantul demersului – autosimilaritatea – face ca fractalii, în care se transformă “organismele” de la I, să devină o varietate fenomenologică expresivă prin identitatea procedeelor formatante.

Schemă posibilă:

“organisme” generative →  
fractali (regulați/aleatorii) →  
forme cu grad ridicat de concepere complexă neteleologică.

Procesul este similar celui studiat de D. Hoffstaedter în *Metamagical Themes* [23] pentru a ilustra fenomenul creației muzicale.

Fractalii aplicați sistemic asupra “organismelor” rezultate din A.I. reprezintă un proces atât de *deplasare*, cât și de *răsturnare* din *de-construcția* anvizajată, având drept rezultat un organism fractal.

Din considerente de claritate sporită, vom exemplifica vizual procesul sonor avut în vedere. Folosim pentru acesta reprezentarea grafică a mulțimii lui Cantor numită “middle-third-erasing”. Mulțimea menționată, dată inițial prin mulțimea punctelor unui segment de dreaptă, se poate dezvolta prin procesul iterativ ilustrat în Figura 1:



Figura 1: **Mulțimea lui Cantor, generată iterativ prin suprimarea treimii mediane.**

Din segmentul inițial a fost înlaturată, în primul pas, treimea mijlocie. Au rezultat două segmente cărora li se aplică aceeași operație, și.a.m.d. În urma a 4 aplicații, rezultă 16 segmente, fiecare cu o lungime de  $1/81$  din lungimea inițială a segmentului.

Pentru a exemplifica generarea unui organism fractal (vizual), vom considera un segment, notat  $org0$ , ca fiind organismul generat prin transformarea gramaticală. Un proces de construcție fractală în 3 pași este ilustrat în Figura 2.

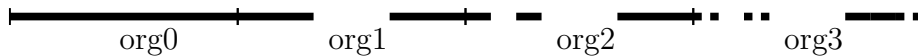


Figura 2: **Fractalizarea organismului  $org0$ .**

În primul pas, organismului  $org0$  îi se adaugă  $org1$  obținut prin aplicare asupra întregii secvențe  $org0$  a regulii fractale anterior enunțate. În pasul doi, se adaugă  $org2$ , obținut din  $org1$ , căruia îi s-a aplicat fractalizarea astfel încât ultimele 2 treimi să rămână neafectate. În ultimul pas se adaugă  $org3$ , construit astfel încât numai primele 5 șesimi din partea neafectată în pasul anterior rămân în continuare neafectate de aplicarea fractalizării. La sfârșitul acestui proces, numai o fracțiune egală cu

$$1 - (1/3 + 1/9 + 3/27) = 12/27$$

din organismul inițial a mai rămas neafectată de procesul de fractalizare. Aceasta poate continua prin menținerea unei fracțiuni din ce în ce mai mici neafectate de respectivul proces. Procesul este stopat prin decizia utilizatorului, atunci când acesta consideră transformarea “suficient” de avansată.

Pentru o regulă fractală dată, procesul este caracterizat de secvența de proporții în care partea netransformată se conservă. În exemplul anterior:  $\{2/3, 5/6\}$ . Această secvență poate fi una stabilită de utilizator în mod arbitrar (“inspirat”) sau poate fi o secvență de probabilități generată de un lanț markovian asociat unui proces real ales de utilizator.

## Travailu de transformări

Cercetările lui Ilya Prigogine asupra dinamicii evenimentiale pe axa timpului pot constitui un punct de pornire pentru revizuirea strategiei decizionale privind acel proces temporal numit *formă muzicală*. Aici intervin și sugestii

acumulate de-a lungul istoriei muzicii (conceptul de formă evolutivă la diversi compozitori).

Întrucât procese de felul celor considerate aici balansează, permanent, între alcătuirile ce sugerează, la limită, haosul și aplatizările informaționale vecine cu simplismul, programul de față propune un proces de generare a *formelor* muzicale bazat pe mecanisme de *transformare* de două tipuri: *transformări discrete* – realizat prin opțiuni revizuite într-un proces bazat pe gramatici generative – și *transformări continue* – bazat pe bucla de reinjecție (*the re-injection loop*).

Fenomenul de transformare, discretă sau continuă, se aplică recurrent unui organism sonor – anterior supus unui travaliu gramatical și/sau fractal – astfel încât ponderea componentelor din organismul sonor este modificată de fiecare dată. Aplicarea recurrentă este realizată până când utilizatorul consideră că a obținut o modificare suficient de avansată (un alt moment al intervenției decizionale a utilizatorului). Să numim rezultatul acestei operații ***organism sonor deformat***. Operația își găsește un corespondent aproximativ în mecanismul de obținere variațiunilor din compozitia conventională.

Forma muzicală emerge prin compunerea organismelor sonore obținute recurrent ca urmare a unor transformări discrete și/sau continue. Compunerea se poate realiza în mai multe moduri: serial, paralel sau serie-paralel. Astfel, organismele sonore sunt distribuite succesiv, simultan sau în succesiuni de execuții simultane.

Aplicarea transformărilor și compunerii acestora în vederea creșterii controlate a unei structuri poate conduce, dacă secvența intervențiilor utilizatorului în întregul proces transformațional se dovedește “inspirată”, la emergența unei forme muzicale *non-teleologice*.

Procesele de de-construcție – deplasarea și răsturnarea – sunt implicit antrenate în cele prezентate anterior. Astfel, principiul marii forme “clasice” (în accepția cea mai generică), dar și structuralismul secolului al XX-lea, ca și repetitivismul (minimalismul) etc. sunt evacuate în favoarea *purei deveniri sonore* [22]. Există o legătură ce trebuie sistemic controlată între organizarea generativ-transformațională, fractali și ordonarea temporală bazată pe procese non-lineare și de natură “catastrofică” (René Thom [41]) ce constituie materia acestui travaliu.

Problema expusă – cea a palierul concepual – ar putea fi sintetizată prin aplicarea succesivă a:

*paradigmei derivativ-transformaționale (deplasare) →  
fractalizării (deplasare și rasturnare) →  
generării formei prin compunerea transformărilor (forma sonoră).*

Se generează, astfel, prima formă a partiturii unei compozitii muzicale, să o numim **pre-partitura**. Pre-partitura este produsul palierului conceptual al programului. Ea va fi supusă **palierului interactiv** în vederea obținerii ansamblului

$$\text{compoziție} = \text{pre-partitura} + \text{program de procesare în timp real}$$

necesar actului interpretativ. Programul de procesare în timp real face obiectul secțiunii următoare.

## Palierul interactiv

### Paradigme ale sunetului

Proiectul de față are, ca al doilea palier de realizare, însușirea și dezvoltarea tehniciilor de prelucrare în timp real (*live electronics*) a sunetului, în vederea valorificării, extinderii și concretizării (manipulării) eficiente a pre-partituirii obținute în palierul conceptual. Interpretarea pre-partituirii se realizează de către instrumentiști, cu instrumente convenționale, al căror sunet este preluat direct și prelucrat în *timp real* pentru a se obține materializarea efectivă a compoziției. Execuția muzicală este astfel asistată în timp real de tehniciile palierului interactiv, care vor fi restricționate la a introduce o întârziere de cel mult 0,2 secunde. De aici, vor rezulta performanțele computaționale ale dispozitivelor implicate în execuția muzicală. Prelucrarea în timp real a semnalelor produse direct de interpreții umani se va face conform unui program de procesare în timp real, rulat de un sistem de procesare digitală a semnalului audio. Rularea programului de procesare în timp real este realizată sincronizat de interpretarea pre-partituirii de către instrumentiști. Acest program de procesare în timp real este parte a compoziției generată tot de către compozitor.

Pentru conceperea și rularea programului de procesare în timp real sunt folosite instrumente software comerciale (MAX/MSP, PRO TOOLS, AUDIO SCULPT, LAB VIEW, PURE DATA).

Acstea tehnici au caracteristici definite, stocate în programe deja existente sau care pot fi generate în continuare, prin varii metode. Utilizarea lor are ca scop extensia instrumentală (cu tot ceea ce implică aceasta) ce poate merge până la definirea de *noi instrumente*.

## Paradigme tehnice

Tehnicile de prelucrare în timp real a sunetului pot fi divizate (după criterii de eventuală utilizare) în:

- tehnici *paradigmatice*, care procură material de lucru (spectre de armonice sau de inarmonice, etc.) sub forma unui repertoriu (“dicționar”) de tehnici electroacustice;
- tehnici *sintagmatice* (sunt procedee care simulează procese acustice sau electroacustice) prin care procedeele paradigmatic sunt convenabil înlanțuite.

Folosim cuvintele *paradigmă* și *paradigmatic* în accepțiunea lor cea mai uzuale, aceea de listă cuprinzând cuvinte stocate după un anumit procedeu. Exemplul la îndemâna este, firește, dicționarul. Ele se structurează după anumite reguli și conțin, în genere, materialul tuturor discursurilor de natură lingvistică. De observat, aici, că o paradigmă este independentă de ordinea temporală.

*Sintagmă* și *sintagmetic* se referă, dimpotrivă, la ordini temporale; aceste noțiuni presupun o anumită așezare funcțională a termenilor alcătuitiori. Când se spune, de pildă, că “tactica politică” este o sintagmă, se presupune că există o legătură – de obicei, biunivocă – între cei doi temeni, pe lângă obștearea unui liant de tip gramatical: tactica este, aici, un substantiv, iar politică este un adjecțiv.

O idee importantă este aceea a *sintagmatizării* unei liste paradigmatic. Ideea se referă la faptul că componentele unei liste – în cazul muzicii, există mai multe liste: a sunetelor, a valorilor temporale ale acestora, etc. – sunt alese pentru a provoca percepția unei constelații numită *structură*. Adică, o rețea de relații (relații de relații) ce implică raporturi reciproce, dar mai ales, intenția determinării unei semnificații.

Înlanțuirea tehniciilor paradigmatic prin tehnici sintagmatice se materializează într-un program care rulează *trigger-at* de execuția instrumentală a pre-partiturii. Performanța publică este astfel organizată încât în sală este

receptionat preponderent *output*-ul programului de procesare în timp real. În ultimul capitol al lucrării este propusă arhitectura FREGE, arhitectura unui sistem care detectează automat semnalele de *trigger*-are folosite pentru a sincroniza generarea efectelor *live electronics*.

## Paradigme de concordanță

Problema esențială ce apare este una metodologică: setul (seturile) de procedee din *live electronics* trebuie să fie acordate coerent (prin selecție realizată de compozitor) cu coordonatele travaliilor anterioare ce au generat pre-partitura. Este realizată concordanță dintre procedeele aplicate în prima etapă, de construcție a pre-partiturii, și procedeele pe care se bazează conceperea programului de procesare în timp real.

Sensul pe care-l are căutarea unor paradigmă de concordanță poate fi explicat, aproximativ, printr-o analogie cu compoziția clasică. Am putea considera pre-partitura ca o scriitură unde instrumentele implicate în execuția unei compozitii clasice sunt aproximativ sau deloc specificate. Programul de procesare în timp real ar putea fi interpretat ca procedeul prin care sunt specificate în pre-partitură instrumentele. Avantajul suplimentar al demersului propus este acela că “instrumentele” instanțiate prin programul de procesare în timp real pot avea caracteristici care evoluează în timpul execuției, sau pot fi schimbate de la o execuție la alta în funcție de intențiile compozitorului sau interpretilor, care se pot astfel adapta unor evoluții imprevizibile sau unor spații culturale diferite.

Modalitățile de concordare între strategia decizională, ce are ca rezultat obiectul sonor definit în secținea **Palierul conceptual**, sub forma pre-partiturii, și tehnologiile definite în secțiunea **Palierul interactiv** reprezintă un obiectiv fundamental al proiectului. Aceasta înseamnă asimilarea unei tehnologii coerente cu instrumentul propriu-zis de organizare a spațiului unui demers conceptual. Avem de a face cu un proces de învățare, ca parte esențială a desfășurării proiectului. Paradigmele de concordanță vor emerge din rularea proiectului prin succesive aplicații reale ce presupun **Palierul conceptual**, **Palierul interactiv** și execuția publică a *compoziției = pre-partitura+program de procesare in timp real*.

Rularea acestui proiect se poate institui într-un proces cultural iterativ care va fi capabil să impună noi paradigmă de concordanță, consistente cu fenomenologia organizării și percepției spațiului sonor.

## Palierul aplicativ

Al treilea palier al proiectului prezentat aici se referă la organizarea sa concretă, la dimensiunea lui aplicativă. Este, în același timp, un proiect formativ/didactic, de cercetare/dezvoltare/producție și diseminare/interacție.

### Aspectul formativ/didactic

Proiectul se adresează unei constelații nuanțat conturată de potențiali beneficiari. Astfel, acesta poate fi accesat de studenți în cadrul programelor de licență, masterat sau doctorat. În acest sens, lucrarea de față este, desigur, un *text book* de folosit în practica învățământului.

Cursurile și activitățile practice sunt legate de tehnicele convenționale de procesare a semnalului sonor, dar și de tehnicele originale dezvoltate în cadrul proiectului. Într-o fază superioară de însușire a acestora se poate trece la elaborarea de proiecte de cercetare avansată și de proiecte compozitionale.

### Aspectul de cercetare/dezvoltare/producție

Se adresează celor care posedă nivelul necesar pentru angajarea în proiecte personale și au nevoie de un cadru pentru desfășurarea strategiei propuse de aceștia. Proiectul poate susține, logistic și tehnic, acest tip de demersuri.

### Aspectul de diseminare/interacție

Trebuie arătat faptul că proiectul prezent, descris în linii generale, este unic în Europa de Est. El poate duce la colaborări și travaliu îmbinate cu alte centre din lume. Formele de colaborare avute în vedere sunt:

- workshop-uri;
- diverse forme de mixare a travaliului cu alte centre internaționale.

## Concluzii

Care este menirea proiectului pe care-l prezentăm, detaliat, în componentele sale, în cele ce urmează?

- În primul rând, o reconsiderare, grație de-construcției, a potențialului – pentru creația nouă, prospectivă – existent în spațiile artei clasice, ratificată de istorie, potențial încă neexplorat.
- În al doilea rând, o modalitate *sui generis* (în măsura în care acest lucru este, încă, posibil?) de îmbinare a unor tehnici avansate, care și-au demonstrat, fiecare, avantajele în câte un domeniu de cercetare înr-o sinteză ce ambiționează eficiență de astăzi, ce ar putea-o egala pe cea dovedită de alte strategii decizionale, în alte perioade ale culturii muzicale.
- În al treilea rând, uneltele cele mai avansate ce există astăzi pentru tratamentul și prelucrarea sunetului și semnalului sonor (atât la nivel *hard* cât și *soft*) sunt anvizajate prin prisma unui program de lucru coherent, ce asamblează viziunea creatoare și un set de unelte menite a le concretiza.

Proiectul înfățișat în textul prezent are ca țintă elucidarea unor probleme, a unor dileme pe care, fără îndoială, și le pun deopotrivă compozitori, muzicologi, interpreți ai muzicii contemporane, dar și cercetători din sfera investigațiilor electroacustice și ale informației muzicale.

Septembrie, 2012

Fred Popovici



# Cuprins

<b>I Procesarea componistică nelineară</b>	<b>1</b>
<b>1 Limbaje și gramatici formale</b>	<b>3</b>
1.1 Gramatici generative . . . . .	5
1.2 Ierarhia gramaticilor generative . . . . .	11
1.3 Traducerea . . . . .	13
1.4 Limbaje și structuri fizice . . . . .	15
1.4.1 Gramatici de tip 3 și structuri cu 2 bucle (SO2) . . . . .	17
1.4.2 Gramatici de tip 2 și structuri cu 3 bucle (SO3) . . . . .	19
1.4.3 Gramatici de tip 1 și structuri cu 4 bucle (SO4) . . . . .	23
1.4.4 Gramatici de tip 0 și mașini Turing . . . . .	27
1.4.5 Concluzie . . . . .	30
1.5 Parsarea . . . . .	31
1.5.1 Algoritmul de parsare <i>depth-first top-down</i> . . . . .	34
1.5.2 Exemplu de parsare . . . . .	36
<b>2 Aplicații muzicale ale gramaticilor</b>	<b>41</b>
2.1 Etapa I: Identificarea spațiului sonor sursă . . . . .	43
2.2 Etapa II: Extragerea gramaticii sursă . . . . .	43
2.3 Etapa III: Definirea alfabetului țintă . . . . .	48
2.3.1 Algoritmi reversibili . . . . .	48
Folosirea unor valori rar utilizate . . . . .	48
Folosirea unor valori excepționale . . . . .	49
Folosirea unor serii neconvenționale . . . . .	50
2.3.2 Algoritmi ireversibili . . . . .	52
2.4 Etapa IV: Definirea regulilor de producție țintă . . . . .	54
2.4.1 Extinderea unei gramatici . . . . .	55
2.4.2 Însumarea gramaticilor . . . . .	55
2.4.3 Gramatici probabiliste . . . . .	56

2.4.4	Probleme . . . . .	57
2.5	Etapa V: Traducerea în limbajul ţintă . . . . .	58
2.5.1	Traducerea fragmentului din KV 332 . . . . .	58
	Parsarea . . . . .	60
	Construirea listei de reguli corespondente . . . . .	61
	Generarea řirului tradus . . . . .	62
2.5.2	Traducerea unor fragmentelor suplimentare . . . . .	63
2.6	Concluzii . . . . .	64
<b>3</b>	<b>Fractali</b>	<b>65</b>
3.1	Complexitate . . . . .	65
3.1.1	Complexitatea algoritmică . . . . .	66
3.1.2	Complexitatea aparentă . . . . .	69
3.2	Exemple de fractali . . . . .	74
3.3	Dimensiunea fractală . . . . .	77
<b>4</b>	<b>Fractali. Aplicařii</b>	<b>81</b>
4.1	Aspecte ale fractalilor în spařiu ritmic . . . . .	84
4.1.1	Pulberea lui Cantor . . . . .	85
4.1.2	Curba lui Koch . . . . .	86
<b>5</b>	<b>Transformări și forme</b>	<b>89</b>
5.1	Našterea formei sonore . . . . .	90
5.2	Transformări discrete . . . . .	92
5.2.1	Organismul sonor . . . . .	92
	Transformarea organismului sonor . . . . .	93
5.3	Transformări continue . . . . .	94
5.3.1	Filtrare/amplificare . . . . .	94
5.3.2	Zgomot prin “tasare” . . . . .	95
5.3.3	FAZT: sistemul fizic de transformare . . . . .	97
<b>II</b>	<b><i>Live electronics</i></b>	<b>99</b>
<b>6</b>	<b><i>Live electronics</i></b>	<b>101</b>
6.1	Semnalul sonor . . . . .	101
6.2	Spectre . . . . .	103
6.2.1	Modificaři de spectre . . . . .	104

---

6.2.2	Formanți . . . . .	106
6.3	Anvelope sonore . . . . .	107
6.4	Studiu de caz: <i>Itinéraires à l'intérieur du son I</i> . . . . .	108
6.4.1	Paradigme sonore folosite . . . . .	108
6.4.2	Sintagmatizare 1 . . . . .	111
6.4.3	Sintagmatizare 2 . . . . .	114
<b>7</b>	<b>Aplicarea tehniciilor de live electronics</b>	<b>117</b>
7.1	Tehnici de live electronics . . . . .	117
7.1.1	Procedee paradigmatic . . . . .	118
7.1.2	Procedee sintagmatic . . . . .	119
7.2	Studiu de caz (continuare) . . . . .	120
7.2.1	Procesarea live electronics a tranzitiei între spectre . . . . .	120
7.2.2	Procesarea live electronics a buclei de reinjecție . . . . .	121
<b>8</b>	<b>Arhitectură <i>live electronics</i></b>	<b>123</b>
<b>III</b>	<b>ANEXE</b>	<b>127</b>
<b>A</b>	<b>ANTLRWorks</b>	<b>129</b>
A.1	Instalare . . . . .	129
A.2	Editorul . . . . .	129
A.3	Asistentul pentru interpretare . . . . .	132
A.4	Reguli recursive . . . . .	133
A.5	Lookahead depth . . . . .	134
A.6	Exemple utile . . . . .	134
<b>Abstract</b>		<b>135</b>
<b>Bibliografie</b>		<b>155</b>
<b>Glosar</b>		<b>159</b>



# **Partea I**

## **Procesarea componistică nelineară**



# Capitolul 1

## Limbaje și gramatici formale

Studiul limbajelor formale din perspectiva gramaticilor generative este declanșat în deceniul 6 al secolului al XX-lea de către Noam Chomsky. *Gramatica de la Porte Royal* publicată în 1660 de către Antoine Arnauld și Claude Lancelot a fost o tentativă temerară care, prin nereușita ei, a arătat că realitatea limbajului natural nu poate fi surprinsă integral într-un formalism. Poate fi formalizat riguros, printr-un număr finit de reguli, numai un proces care a fost conceput artificial prin respectarea unor restricții. În primul deceniu al producției de serie a calculatoarelor electronice, entuziasmul unui început promițător face ca principaliii actori să inițieze proiecte foarte ambițioase ce se vor dovedi ulterior parțial utopice. Inteligența artificială, sistemele autoreproductibile, traducerea automată sunt numai câteva proiecte care au determinat progrese uluitoare în știința calculului automat, chiar dacă nu și-au îndeplinit toate promisiunile. Unul dintre acestea a fost cel inițiat de Noam Chomsky.

Lingvistica computațională, teoria compilatoarelor, tehniciile de securizare a sistemelor de calcul, teoria generală a computației beneficiază de rezultatele teoretice obținute în mai bine de o jumătate de secol de cercetare inițiată de cercetările lingvistice ale lui Noam Chomsky. În orice domeniu unde se pot evidenția limbaje formalizabile sau măcar parțial formalizabile, teoria limbajelor formale își poate dovedi utilitatea.

Rezultatele teoretice obținute spun lucruri semnificative și despre cei ce folosesc limbaje formale mai mult sau mai puțin expresive. Dacă acceptăm ipoteza conform căreia gramaticile generative se află în mare măsură la baza mecanismelor prin care un limbaj se manifestă, atunci se pot face afirmații pertinente și asupra utilizatorilor umani ai limbajelor formale sau parțial

formalizabile. Un limbaj parțial formalizabil este cel muzical.

Începem printr-o serie de definiții care au rolul de a crea cadrul riguros în care vom aborda problema limbajelor formale.

**Definitia 1.1** *Un alfabet este mulțimea finită a simbolurilor distincte,  $A$ , acceptată de un mecanism automat de recunoaștere sau de generare.*

◊

Chiar dacă expresiile formulate într-un limbaj formal pot fi oricât de lungi, simbolurile trebuie să ia valori într-o mulțime finită pentru a putea construi mașini și tehnici algoritmice finit dimensionate prin care expresiile să poată fi **recunoscute** sau **generate**. Recunoașterea și generarea sunt cele două procese esențiale legate de limbajele formale.

**Definitia 1.2** *Mulțimea tuturor sirurilor peste un alfabet finit  $A$  este notată prin definiție cu  $A^*$ .*

◊

Mulțimea  $A^*$  este infinită, pentru că nu este limitată lungimea sirurilor generate. Finite trebuie să fie mașinile și tehniciile algoritmice asociate.

**Exemplul 1.1** *Dacă  $A = \{0, 1\}$ , atunci*

$$A^* = \{\lambda, 0, 1, 00, 01, 10, 11, 000, 001, \dots\}$$

*unde  $\lambda$  este elementul nul.*

◊

**Definitia 1.3** *Un limbaj,  $L$ , definit peste alfabetul  $A$  este o submulțime din  $A^*$ ;  $L \subset A^*$ .*

◊

**Exemplul 1.2** *Dacă  $A = \{a\}$ , atunci  $L = \{a^k \mid 0 < k < n\}$  este limbajul finit al sirurilor formate din cel mult  $n - 1$  a-uri.*

◊

Un limbaj poate fi definit prin:

- enumerarea componentelor unei submulțimi din  $A^*$

- specificarea regulilor de generare a unei submulțimi din  $A^*$ .

Primul procedeu este incomod. Nu poate fi aplicat decât limbajelor cu un număr finit de elemente. Cel de al doilea procedeu a condus la definirea conceptului de **gramatică generativă**.

Aplicația cea mai importantă a gramaticilor generative este în domeniul trducerii dintr-un limbaj formal într-altul. Spre exemplu, din limbajul de programare C++ în limbajul de asamblare al unui procesor Intel. În această carte, tot despre traducere va fi vorba. De data aceasta, vom porni de la structura simplificată a limbajului asociat unui grup de compoziții muzicale (spre exemplu, sonatele pentru pian de Mozart) și vom realiza translatarea într-un limbaj formal construit de un compozitor contemporan.

## 1.1 Gramatici generative

În această secțiune, vom folosi texte anterior publicate [2] [18] [37] [40] pentru a specifica ceea ce este o gramatică generativă. Ne vom limita la ceea ce este necesar demersului nostru, atât din punct de vedere tehnic, cât și din punctul de vedere al înțelegerii proceselor componistice investigate.

Unui limbaj formal specificat i se poate asocia o gramatică ce îl descrie în totalitate. Limbajul muzical nu este un limbaj strict formalizabil. În calitatea lui de limbaj ce a rezultat printr-un proces istoric emergent, are multe în comun cu limbajele naturale. Restricțiile tehnice și stilistice ce l-au marcat în cadrul aceleiași evoluții au indus aspecte formale importante. Putem spune astăzi că limbajul muzical al anumitor epoci, sau al anumitor compozitori, forme muzicale în general prezintă multe aspecte formalizabile. Pe aceste caracteristici formalizabile se bazează demersul nostru.

**Definitia 1.4** *O gramatică [12] este quadruplul*

$$G = (N, T, P, S)$$

*unde:*

**N** : este mulțimea finită a simbolurilor neterminale

**T** : este mulțimea finită a simbolurilor terminale

**P** : este mulțimea finită a producătorilor de forma  $p \rightarrow q$ , cu:

$$p \in \{N \cup T\}^* \setminus \{\lambda\}$$

unde  $p$  conține cel puțin un element din  $N$

$$q \in \{N \cup T\}^*$$

**S** : este simbolul de start;  $S \in N$ .

◊

Simbolurile neterminale  $N$  sunt necesare pentru a permite controlul creșterii și conturării formei secvenței generate. Oprirea procesului de generare se face atunci când expresia a ajuns să nu mai conțină nici un neterminal. Aceasta este motivul pentru care partea stângă a oricărei producții  $p$  conține cel puțin un neterminal. Gramatica generativă oferă cadrul în care un sir de simboluri se poate forma coherent; nu ne ajută la obținerea unei *anumite* secvențe. Nu ne garantează decât faptul că toate secvențele generate vor apartine limbajului pe care l-am definit.

Conceperea unei gramatici asociate unui limbaj este o problemă esențială. Se poate porni de la definiția formală a limbajului, dacă ea există. O altă soluție, ce va fi adoptată în demersul nostru, este aceea de a porni de la eșantioane semnificative ale limbajului. Nu există un procedeu algoritmic care să garanteze o soluție (optimă).

**Exemplul 1.3** Fie gramatica:

$$G_1 = (\{S, A\}, \{a, b, c\}, \{S \rightarrow aAa, A \rightarrow aAa \mid bAb \mid c\}, S)$$

Un exemplu de generare este:

$$\begin{aligned} S &\rightarrow aAa \\ aAa &\rightarrow aaAaa \\ aaAaa &\rightarrow aabAbaa \\ aabAbaa &\rightarrow aabaAabaa \\ aabaAabaa &\rightarrow aababAbabaa \\ aababAbabaa &\rightarrow aababcbabaa \end{aligned}$$

*Sirurile generate sunt simetrice și cresc în două puncte din sir. Procesul de generare se oprește atunci când nu mai poate fi aplicată nici una dintre regulile de generare. Ordinea de aplicare a producțiilor nu este impusă de gramatică, ci exclusiv de “voința” ce acționează în procesul de genereare.*

◊

**Definitia 1.5** *Deducția în  $n$  pași lui  $p_n$  din  $p_0$  în  $G$  este*

$$p_0 \rightarrow p_1 \rightarrow p_2 \dots \rightarrow p_n = p_0 \xrightarrow[G]{n} p_n$$

*dacă  $p_i$  se obține din  $p_{i-1}$  prin aplicarea unei producții din  $P$ ,  $p_i \in \{N \cup T\}^*$  pentru  $i = 0, 1, \dots, n-1$  și  $p_n \in T^*$ .*

◊

Care este secvența de producții care poate genera un sir dat, pornind din  $S$ , va fi o problemă cu care ne vom confrunta în aplicarea concretă a unor gramatici pe care le vom construi.

**Definitia 1.6** *Limbajul generat de gramatica  $G = (N, T, P, S)$  este:*

$$L(G) = \{p \mid p \in T^*, S \xrightarrow[G]{*} p\}$$

*care reprezintă mulțimea tuturor sirurilor generate, într-un număr oarecare de pași, folosind gramatica  $G$  pornind de la simbolul de start  $S$ .*

◊

Construcția unei gramatici depinde de modul în care este specificat limbajul. Cel mai simplu este cazul în care avem un limbaj specificat formal într-un mod riguros. Exemplul cel mai bun este cel al unui limbaj de programare. Pentru demersul nostru componistic, soluția va fi mai dificilă pentru că nu putem folosi decât eșantioane considerate semnificative.

Un exemplu mai puțin artificial decât cel anterior este cel ce urmează, care va exemplifica felul în care se poate controla, într-un caz simplificat, buna formare a expresiilor algebrice.

**Exemplul 1.4** *Gramatica  $G_2$  este folosită pentru a genera expresii algebrice corecte.*

$$G_2 = (\{S, M, F\}, \{a, +, *, (, )\}, P, S)$$

unde:

$$P = \{S \rightarrow S + M \mid M, M \rightarrow M * F \mid F, F \rightarrow a \mid (S)\}$$

Să considerăm expresia:

$$a + a * (a + a)$$

Gramatica  $G_2$  o generază după cum urmează:

$S \rightarrow S + M;$	
$S + M \rightarrow M + M;$	se aplică producția $S \rightarrow M$
$M + M \rightarrow F + M;$	se aplică producția $M \rightarrow F$
$F + M \rightarrow a + M;$	se aplică producția $F \rightarrow a$
$a + M \rightarrow a + M * F;$	se aplică producția $M \rightarrow M * F$
$a + M * F \rightarrow a + F * F;$	se aplică producția $M \rightarrow F$
$a + F * F \rightarrow a + a * F;$	se aplică producția $F \rightarrow a$
$a + a * F \rightarrow a + a * (S);$	se aplică producția $F \rightarrow (S)$
$a + a * (S) \rightarrow a + a * (S + M);$	se aplică producția $S \rightarrow S + M$
$a + a * (S + M) \rightarrow a + a * (M + M);$	se aplică producția $S \rightarrow M$
$a + a * (M + M) \rightarrow a + a * (F + M);$	se aplică producția $M \rightarrow F$
$a + a * (F + M) \rightarrow a + a * (a + M);$	se aplică producția $F \rightarrow a$
$a + a * (a + M) \rightarrow a + a * (a + F);$	se aplică producția $M \rightarrow F$
$a + a * (a + F) \rightarrow a + a * (a + a);$	se aplică producția $F \rightarrow a$

expresia

$$a + (a * +$$

spre exemplu, nu poate fi generată folosind  $G_2$ , deoarece algoritmul de identificare a sirului de producții care o generază în  $G_2$  va rejecta expresia ca fiind ne-generabilă.

◊

**Exemplul 1.5** Fie gramatica:

$$G_3 = \{\{S, B\}, \{a, b\}, \{S \rightarrow aS \mid aB, B \rightarrow bB \mid b\}, S\}$$

O posibilă generare este:

$$\begin{aligned} S &\rightarrow aS \\ aS &\rightarrow aaS \\ aaS &\rightarrow aaaB \\ aaaB &\rightarrow aaabB \end{aligned}$$

$$\begin{aligned} aaabB &\rightarrow aaabbB \\ aaabbB &\rightarrow aaabbbB \\ aaabbbB &\rightarrow aaabbbb \end{aligned}$$

*Limbajul generat este:*

$$L(G_3) = \{a^n b^m \mid n, m \geq 1\}$$

*L(G<sub>3</sub>) generază un sir de n a-uri urmat de un sir m de b-uri.*

◊

Gramatica din exemplul anterior generează siruri care cresc la un singur capăt.

### **Exemplul 1.6 Limbajul**

$$L(G_4) = \{a^n b^n \mid n \geq 1\}$$

*poate fi generat de gramatica*

$$G_4 = \{\{S\}, \{a, b\}, \{S \rightarrow aSb \mid ab\}, S\}$$

*L(G<sub>4</sub>) generază un sir de n a-uri urmat de un sir ce conține tot atâtea b-uri.*

◊

Limbajul generat de gramatica  $G_4$ ,  $L(G_4)$ , este mai “expresiv” decât limbajul generat de gramatica  $G_3$ ,  $L(G_3)$ , deoarece ambele generează a-uri urmate de b-uri, dar  $G_4$  satisfacă o condiție suplimentară: a-urile și b-urile sunt la fel de multe.

### **Exemplul 1.7**

$$G_5 = \{\{S, B\}, \{a, b, c\}, P, S\}$$

*unde multimea regulilor de producție, P, are următorul conținut:*

$$\begin{aligned} S &\rightarrow aBSc \mid abc; \\ Ba &\rightarrow aB; \\ Bb &\rightarrow bb; \end{aligned}$$

*O posibilă generaare se derulează după cum urmează:*

$$\begin{aligned}
S &\rightarrow aBSc \\
aBSc &\rightarrow aBaBScc \\
aBaBScc &\rightarrow aBaBabccc \\
aBaBabccc &\rightarrow aaBBabccc \\
aaBBabccc &\rightarrow aaBaBbccc \\
aaBaBbccc &\rightarrow aaaBBbccc \\
aaaBBbccc &\rightarrow aaaBbbccc \\
aaaBbbccc &\rightarrow aaabbccc = a^3b^3c^3
\end{aligned}$$

*Este evident că:*

$$L(G_5) = \{a^n b^n c^n \mid n \geq 1\}$$

◊

Producțiile din  $G_5$  sunt dependente de context, deoarece, spre exemplu, ultima producție substituie pe  $B$  cu  $b$  dar numai în contextul în care  $B$  precede un  $b$ .

**Exemplul 1.8** *Fie gramatica:*

$$G_6 = \{\{S, A, B, C, D\}, \{a, b\}, P, S\}$$

*unde  $P$  conține:*

$$\begin{aligned}
S &\rightarrow CD \\
C &\rightarrow aCA \mid bCB \\
AD &\rightarrow aD \\
BD &\rightarrow bD \\
Aa &\rightarrow aA \\
Ab &\rightarrow bA \\
Ba &\rightarrow aB \\
Bb &\rightarrow bB \\
C &\rightarrow \lambda \\
D &\rightarrow \lambda
\end{aligned}$$

*Reamintim că  $\lambda$  este elementul nul. Ultimele două reguli permit dispariția unor elemente din sir pe parcursul procesului de generare. O derivare posibilă pornind din  $S$  este:*

$S \rightarrow CD;$	
$CD \rightarrow aCAD;$	s-a aplicat $C \rightarrow aCA$
$aCAD \rightarrow abCBAD;$	s-a aplicat $C \rightarrow bCB$
$abCBAD \rightarrow abBAD;$	s-a aplicat $C \rightarrow \lambda$
$abBAD \rightarrow abBaD;$	s-a aplicat $AD \rightarrow aD$
$abBaD \rightarrow abaBD;$	s-a aplicat $Ba \rightarrow aB$
$abaBD \rightarrow ababD;$	s-a aplicat $BD \rightarrow bD$
$ababD \rightarrow abab;$	s-a aplicat $D \rightarrow \lambda$

În procesul de generare, şirul nu a crescut consecvent. În anumite etape a avut o lungime mai mare decât şirul final generat.

◊

Primele două reguli de producție permit şirului generat să crească. Urmează regulile care îl reconfigurează prin producții dependente de context. Ultimale două producții permit şirului să-și reducă dimensiunea prin substituții cu elementul nul  $\lambda$ .

## 1.2 Ierarhia gramaticilor generative

În [12] [13] [15] Noam Chomsky a introdus conceptul de **ierarhie a gramaticilor** în funcție de restricțiile impuse regulilor de generare.

**Definitia 1.7** O gramatică generativă  $G$  poate fi:

**regulată sau de tip 3** dacă fiecare producție din  $P$  este de forma

$$A \rightarrow xB \mid x$$

unde  $A, B \in N$  și  $x \in T^*$

**independată de context sau de tip 2** dacă fiecare producție din  $P$  este de forma

$$A \rightarrow \alpha$$

unde  $A \in N$  și  $\alpha \in (N \cup T)^*$

**dependentă de context sau de tip 1** dacă fiecare producție din  $P$  este de forma

$$\alpha \rightarrow \beta$$

unde  $\alpha, \beta \in (N \cup T)^*$  și  $|\alpha| \leq |\beta|$

**fără restricții sau de tip 0** dacă fiecare producție din  $P$  nu este supusă niciunei restricții.

unde cu  $|I|$  s-a notat lungimea sirului  $I$ .

◊

Între gramaticile de tip 1 și cele de tip 0 se află, cu certitudine, și alte gramatici care sunt bazate pe reguli supuse la restricții mai “slabe” decât cel impuse gramaticilor de tip 1. Interesul pentru ele nu există pentru că limbajele formal cele mai utile s-au dovedit a fi cele de tip 2.

Pentru a evidenția ierarhizarea printr-o ierarhie de restricții, vom defini următoarele restricții pentru producțiile  $p \rightarrow q$ :

**R1** :  $|p| \leq |q|$

**R2** :  $|p| = 1$ , cu implicația evidentă  $p \in N$

**R3** :  $q = \alpha A$ , unde  $\alpha \in T^*$ ,  $A \in N \cup \{\lambda\}$

**Definitia 1.8** O gramatică generativă  $G$  este:

**fără restricții sau de tip 0**

**dependentă de context sau de tip 1** dacă satisface restricția R1

**independentă de context sau de tip 2** dacă satisface restricțiile R1 și R2

**regulată sau de tip 3** dacă satisface restricțiile R1, R2 și R3

◊

Notăm cu  $\mathcal{L}_i$  mulțimea tuturor limbajelor de tip  $i$ , pentru  $i \in \{0, 1, 2, 3\}$ .

**Exemplul 1.9** În exemplele de gramatici date anterior identificăm următoarele tipuri de gramatici:

- $G_3 \in \mathcal{L}_3$  deoarece

$G_3 = \{\{S, B\}, \{a, b\}, \{S \rightarrow aS \mid aB, B \rightarrow bB \mid b\}, S\}$  are numai reguli de producție de forma:  $A \rightarrow xB \mid x$

- $G_1, G_2, G_4 \in \mathcal{L}_2$  deoarece cele trei gramatici

$$G_1 = (\{S, A\}, \{a, b, c\}, \{S \rightarrow aAa, A \rightarrow aAa \mid bAb \mid c\}, S)$$

$$G_2 = (\{S, M, F\}, \{a, +, *, ()\}, P, S) \text{ cu}$$

$$P = \{S \rightarrow S + M \mid M, M \rightarrow M * F \mid F, F \rightarrow a \mid (S)\}$$

$$G_4 = (\{S\}, \{a, b\}, \{S \rightarrow aSb \mid ab\}, S)$$

au producții de tipul  $A \rightarrow \alpha$  unde  $A \in N$  și  $\alpha \in (N \cup T)^*$

- $G_5 \in \mathcal{L}_1$  deoarece

$$G_5 = (\{S, B\}, \{a, b, c\}, P, S) \text{ cu}$$

$P = \{S \rightarrow aBSc \mid abc, Ba \rightarrow aB, Bb \rightarrow bb\}$  are producții de tipul  $\alpha \rightarrow \beta$  unde  $\alpha, \beta \in (N \cup T)^*$  și  $|\alpha| \leq |\beta|$

- $G_6 \in \mathcal{L}_0$  deoarece  $G_6 = (\{S, A, B, C, D\}, \{a, b\}, P, S)$  cu

$P = \{S \rightarrow CD, C \rightarrow aCA \mid bCB, AD \rightarrow aD, BD \rightarrow bD, Aa \rightarrow aA, Ab \rightarrow bA, Ba \rightarrow aB, Bb \rightarrow bB, C \rightarrow \lambda, D \rightarrow \lambda\}$  are și producții de tipul  $A \rightarrow \lambda$  prin care, în procesul de generare, sirul își reduce lungimea.

◊

**Teorema 1.1**  $\mathcal{L}_0 \supset \mathcal{L}_1 \supset \mathcal{L}_2 \supset \mathcal{L}_3$ .

◊

Demonstrația se obține direct prin aplicarea definiției 1.8. Consecința importantă a teoremei anterioare este aceea că o mașină care recunoaște orice limbaj din  $\mathcal{L}_i$  va recunoaște și orice limbaj din  $\mathcal{L}_j$  dacă  $j > i$ .

### 1.3 Traducerea

Traducerea dintr-un limbaj formal sursă,  $L(G)$ , într-un limbaj formal destinație,  $L'(G')$ , se face utilizând gramaticile generative. Procesul de traducere presupune următoarele etape:

1. se pun în corespondență producțiile gramaticilor care definesc limbajele între care se face traducerea
2. se identifică o secvență de producții din  $G$  care generează pornind din  $S$  elementul  $q \in L$  care trebuie tradus
3. se construiește, conform corespondenței stabilite la punctul 1, secvența de producții din  $G'$  care corespunde secvenței de producții identificate la punctul 2

4. se generează, pornind din  $S'$ , traducerea elementului  $q \in L$  în  $q' \in L'$  aplicând secvența de reguli stabilită la punctul 3.

**Exemplul 1.10** Traducerea unor expresii algebrice infixate în expresii postfixate se poate face definind, pe lângă limbajul  $L(G_2)$  care generază expresii infixate, limbajul  $L(G'_2)$  care produce expresii postfixate.

Limbajul  $L(G'_2)$  este definit prin următoarea gramatică:

$$G'_2 = (\{S, M, F\}, \{a, +, *\}, P, S)$$

unde:

$$P = \{S \rightarrow SM+ \mid M, M \rightarrow MF* \mid F, F \rightarrow a \mid S\}$$

Prima etapă este cea în care stabilim corespondența între regulile de producție. Pentru exemplul nostru corespondența este:

**reguli sursă  $\longleftrightarrow$  reguli destinație**

- |                           |                       |                     |
|---------------------------|-----------------------|---------------------|
| (1) $S \rightarrow S + M$ | $\longleftrightarrow$ | $S \rightarrow SM+$ |
| (2) $S \rightarrow M$     | $\longleftrightarrow$ | $S \rightarrow M$   |
| (3) $M \rightarrow M * F$ | $\longleftrightarrow$ | $M \rightarrow MF*$ |
| (4) $M \rightarrow F$     | $\longleftrightarrow$ | $M \rightarrow F$   |
| (5) $F \rightarrow a$     | $\longleftrightarrow$ | $F \rightarrow a$   |
| (6) $F \rightarrow (S)$   | $\longleftrightarrow$ | $F \rightarrow (S)$ |

În a două etapă stabilim secvența de producții care produce elementul din  $L$  ce se traduce. Pentru expresia:

$$a + a * (a + a)$$

secvența de reguli în  $L$  a fost (vezi Exemplu 1.4):

$$(1), (2), (4), (5), (3), (4), (5), (6), (1), (2), (4), (5), (4), (5)$$

Rezultată secvența de reguli din  $L'$  care se va aplica lui  $S'$ :

$$\begin{aligned} S &\rightarrow SM+ \\ S &\rightarrow M \\ M &\rightarrow F \\ F &\rightarrow a \\ M &\rightarrow MF* \\ M &\rightarrow F \end{aligned}$$

$$\begin{aligned}
 F &\rightarrow a \\
 F &\rightarrow S \\
 S &\rightarrow SM+ \\
 S &\rightarrow M \\
 M &\rightarrow F \\
 F &\rightarrow a \\
 M &\rightarrow F \\
 F &\rightarrow a
 \end{aligned}$$

*Ultima etapă a traducerii presupune aplicarea secvenței identificate lui  $S'$ , pentru a obține forma expresiei în limbajul destinație, după cum urmează:*

$$\begin{aligned}
 S &\rightarrow SM+; && \text{se aplică producția } S \rightarrow M \\
 SM+ &\rightarrow MM+; && \text{se aplică producția } M \rightarrow F \\
 MM+ &\rightarrow FM+; && \text{se aplică producția } F \rightarrow a \\
 FM+ &\rightarrow aM+; && \text{se aplică producția } F \rightarrow a \\
 aM+ &\rightarrow aMF *+; && \text{se aplică producția } M \rightarrow MF* \\
 aMF *+ &\rightarrow aFF *+; && \text{se aplică producția } M \rightarrow F \\
 aFF *+ &\rightarrow aaF *+; && \text{se aplică producția } F \rightarrow a \\
 aaF *+ &\rightarrow aaS *+; && \text{se aplică producția } F \rightarrow S \\
 aaS *+ &\rightarrow aaSM +*+; && \text{se aplică producția } S \rightarrow SM+ \\
 aaSM +*+ &\rightarrow aaMM +*+; && \text{se aplică producția } S \rightarrow M \\
 aaMM +*+ &\rightarrow aaFM +*+; && \text{se aplică producția } M \rightarrow F \\
 aaFM +*+ &\rightarrow aaaM +*+; && \text{se aplică producția } F \rightarrow a \\
 aaaM +*+ &\rightarrow aaaF +*+; && \text{se aplică producția } M \rightarrow F \\
 aaaF +*+ &\rightarrow aaaa +*+; && \text{se aplică producția } F \rightarrow a
 \end{aligned}$$

*A rezultat expresia  $aaaa +*+$  care este corespondentul postfixat al expresiei infixate  $a + a * (a + a)$ .*

◊

În exemplul dat, fiecarei reguli de producție din  $G$  i-a corespuns o singură regulă în  $G'$ . Se pot imagina traduceri în care corespondența să nu fie strict univocă. Unei reguli din  $G$  i se pot asocia mai multe reguli în  $G'$ , iar alegerea aplicării uneia sa alteia poate fi un proces aleator.

## 1.4 Limbaje și structuri fizice

Corespondența dintre limbajele formale de diferite tipuri și mașinile asociate este un subiect de mult epuizat. Dar dacă Noam Chomsky a stabilit o ie-

rarhie a limbajelor formale, nu cumva este posibilă și stabilirea unei ierarhii corespondente în lumea mașinilor asociate? Care este criteriul care le-ar putea ierarhiza? Această secțiune răspunde pozitiv la prima întrebare și oferă și criteriul de clasificare a mașinilor.

Pentru sistemele digitale există o ierarhizare [39] care se bazează pe numărul de bucle ce se închid în structurile digitale. Sistemele de ordinul 0 (SO0) – cele combinaționale – sunt structurate fără nici o buclă internă. Sistemele de ordinul 1 (SO1) – memoriile – sunt caracterizate de o buclă internă. Sistemele de ordinul 2 (SO2) – automatele finite – posedă două nivele de bucle ce se includ. Sistemele de ordinul 3 (SO3) – procesoarele – sunt caracterizate prin închiderea a 3 bucle în structura lor internă. Sistemele de ordinul 4 (SO4) – calculatoarele – au 4 bucle și.a.m.d. Vom vedea că se va putea evidenția un paralelism între clasificarea limbajelor formale și cea a structurilor digitale [38].

În această secțiune vom arăta și comenta următoarele corespondențe:

1. limbaje de tip 3 ( $\mathcal{L}_3$ )  $\longleftrightarrow$  mașini cu 2 bucle (SO2)
2. limbaje de tip 2 ( $\mathcal{L}_2$ )  $\longleftrightarrow$  mașini cu 3 bucle (SO3)
3. limbaje de tip 1 ( $\mathcal{L}_1$ )  $\longleftrightarrow$  mașini cu 4 bucle (SO4)

Între-adevăr, după cum vom constata, pe măsură ce “expresivitatea” limbajelor crește, autonomia mașinilor fizice asociate (sau complexitatea mecanismelor mentale implicate) va trebui să crească și ea.

Pornim de la următoarea teoremă:

**Teorema 1.2** *Limbajele formale generate de gramaticile lui Chomsky pot fi recunoscute/generate optimal de următoarele structuri fizice de circuit:*

1.  $\mathcal{L}_3$  - automate finite
2.  $\mathcal{L}_2$  - automate cu stivă
3.  $\mathcal{L}_1$  - automate cu memorie linear marginată
4.  $\mathcal{L}_0$  - mașini Turing.

◊

Teorema este demonstrată în toate manualele care tratează limbajele formale. Ceea ce trebuie să arătăm, în cele ce vor urma, este că tipurile de mașini menționate sunt caracterizate de numărul de bucle interne sugerat anterior.

Principiul care ne va ghida abordarea în continuare pornește de la faptul că nu putem accepta decât două tipuri de structuri în conceperea mașinilor fizic realizabile:

- dacă o structură este complexă, atunci dimensiunea va trebui să fie constantă
- dacă o structură are dimensiunea dependentă de  $n$ , atunci complexitatea va trebui să fie constantă (trebuie să fie o structură definită recursiv).

Structurile complexe cu dimensiunea dependentă de  $n$  sunt, în cazul general, nerealizabile fizic în condiții tehnologice rezonabile.

#### 1.4.1 Gramatici de tip 3 și structuri cu 2 bucle (SO2)

**Teorema 1.3** *Orice limbaj de tip 3 poate fi recunoscut prin stările finale ale unui semi-automat determinist strict inițial.*

◊

Într-adevăr, memoria internă a unui semi-automat finit (stare sa internă) este suficientă pentru a recunoaște siruri generate de o gramatică reguată, doarece sirul generat de o gramatică regulată crește la un singur capăt, după reguli independente de context.

**Teorema 1.4** *Orice limbaj de tip 3 poate fi generat de un automat finit determinist strict inițial.*

◊

Din rațiuni similare, un automat finit poate genera orice sir regulat, deoarece generarea, în fiecare etapă, presupune selectarea unei reguli care depinde numai de simbolul generat în etapa anterioară. Starea internă a automotului finit este suficientă pentru a memora care a fost regula de producție aplicată în etapa anterioară de generare.

În aceste condiții, va trebui să răspundem numai la întrebarea: care este numărul minim de bucle care ne permite realizarea fizică unui automat finit.

**Teorema 1.5** Ordinul minim al unui sistem digital care permite construcția unui automat finit este 2.

◊

**Demonstrație** Ne reamintim că un automat finit este definit prin cvințuplul  $A = (X, Y, Q, f, g)$ , unde:  $X$  este mulțimea finită a intrărilor,  $Y$  este mulțimea finită a ieșirilor,  $Q$  este mulțimea finită a stărilor interne,  $f : X \times Q \rightarrow Q$  este funcția de tranziție a stării interne iar  $g : X \times Q \rightarrow Y$  este funcția de tranziție a ieșirii. Structura internă a unui automat finit (în versiunea Mealy) este reprezentată în Figura 1.1, unde:

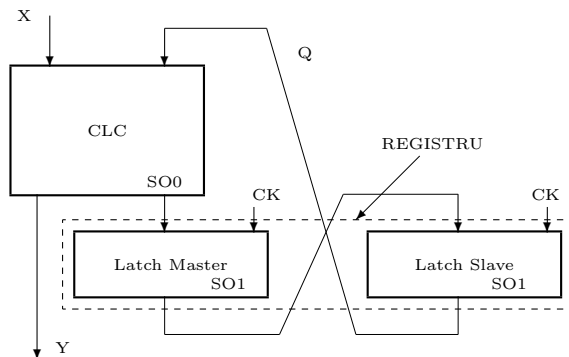


Figura 1.1: Structura unui automat finit tip Mealy

- $CLC$  este circuitul logic combinațional care calculează funcțiile de tranziție  $f$  și  $g$
- $REGISTRU$  este o colecție de bistabili de tip *master-slave* care funcționează ca bistabili de tip D cu o organizare internă pe două nivele:
  - *Latch Slave*, care este o colecție de *latch*-uri destinate stocării stării interne (valoare curentă din  $Q$ )
  - *Latch Master*, care este o colecție de *latch*-uri ce permite închiderea ne-transparentă a buclei în sistem, permitând și comportamentul sincron controlabil.

Atsfel, în sistem se impune închiderea a două bucle ce se includ:

- **prima buclă**, la nivelul fiecărui latch de un bit, ce asigură funcțiile de stocare a stării (în latch-ul master) și de stocare tranzitorie necesară închiderei transparente, prin latch-ul slave, a celei de a doua bucle
- **bucă secundă** – prin CLC, *Latch Master* și *Slave Latch* – impusă de calculul funcției de tranziție a stării automatului finit  $f$ , definită în  $X \times Q$ , cu valori în  $Q$ . Aici, *Latch Slave* are numai un rol electric, permitând tranziția sincronă sub controlul semnalului de ceas al sistemului.

Prima buclă permite, în principal, *memorarea stării* (unde s-a ajuns cu recunoașterea sau generarea), pe când cea de a doua buclă asigură *comportamentul autonom* (cum se merge mai departe în procesul de recunoaștere sau generare) al sistemului.

◊

Pe scurt:

- prima buclă permite construcția circuitului care *stochează*, în latch-ul master, ultimul simbol recepționat sau generat
- buca secundă permite *secvențarea* procesului de recunoaștere sau generare.

Nu este necesară o cantitate de memorie suplimentară, pentru că regulile de producție sunt simple. Sirul este recunoscut/generat în “timp real” (pe măsură ce este recepționat/generat) datorită caracterului său regulat. Un sir poate fi rejetat înainte de recepționarea lui integrală, deoarece apariția fiecarui simbol este conditionată numai de cel precedent, de care automatul finit poate fi “conștient” datorită regulilor de generare ce sunt numai de tip  $A \rightarrow xB$ . Structuri mai complexe, din categoria SO3, SO4, ... pot fi folosite, dar nu mai puțin autonome, din SO1 sau SO0.

#### 1.4.2 Gramatici de tip 2 și structuri cu 3 bucle (SO3)

Ne așteptăm ca trecând la limbajele mai “expresive”, de tip 2 (independente de context) să fie necesare mașini cu o autonomie sporită pentru recunoașterea și generarea lor. Pot fi automatele folosite la nivelul limbajelor independente de context? Da, dar nu în varianta automatelor *finite*. Numai automatele cu un număr “infinit” de stări vor putea fi utile. Dar dacă vrem să evităm automatele “infinite”, atunci va trebui să acceptăm adăugarea unei

bucle suplimentare în sistem. Trecem, astfel, la folosirea unor circuite din clasa SO3.

Dacă pentru recunoașterea/generarea unui limbaj din  $\mathcal{L}_2$  dorim să folosim un automat, atunci numărul de stări ale acestuia va fi  $|Q| \in O(n)$ , unde  $n$  este lungimea maximă a sirurilor de recunoscut/generat, iar  $|Q|$  este dimensiunea spațiului stărilor. Abordarea noastră trebuie să evite o astfel de soluție și să se limiteze la folosirea unor structuri simple, cu o complexitate constantă, independentă de  $n$ . Dimensiunea (*size*) structurii poate depinde de  $n$ , dar nu și complexitatea.

Să considerăm exemplul, consacrat, al limbajului  $\{a^n b^n | n > 0\}$ . Dacă s-ar folosi un semi-automat pentru recunoaștere, atunci numărul de  $a$ -uri receptioneate trebuie memorat pentru a fi comparat cu cel al  $b$ -urilor ce urmează. Singurul loc în care această memorare este posibilă este în spațiul stărilor, a cărui dimensiune va trebui să devină, astfel, o funcție de  $n$ . Deci, semi-automatul nu va putea fi din categoria celor *finite*, cu dimensiune constantă a spațiului stărilor. Singura soluție care permite menținerea structurii fizice a mașinii în categoria celor simple (cu complexitate constantă, independentă de  $n$ ) este de a adăuga, pe lângă un automat finit, o resursă simplă cu dimensiunea dependentă de  $n$ . Semi-automatul va fi, în consecință, înlocuit de structura din Figura 1.2, unde numărătorul reversibil UDCOUNTER (up-down counter) numără prin incrementare  $a$ -urile și se decrementează pentru fiecare  $b$  receptiuneat. Astfel, automatul finit, FA, ajutat de un numărător rezolvă problema. Sistemul are partea complexă constantă iar partea simplă dependentă de  $n$ .

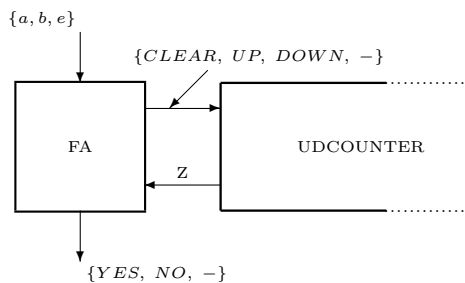


Figura 1.2: Automat finit cu numărător reversibil - un SO3 care poate recunoaște/genera limbajul  $\{a^n b^n | n > 0\}$

Numărătorul este o memorie foarte simplă, care are inconvenientul că

“uită” după ce a fost “interrogată”. Este foarte important de reținut că problema poate fi rezolvată cu o memorie foarte simplă care nu suportă decât “o singură citire”. Numărătorul nu poate furniza nici o informație asupra naturii entităților numărate. O soluție mai comodă pentru a rezolva problemele legate de limbajele independente de context este cea a folosirii memoriei de tip *stivă* (*last in first out, LIFO*). Își memoria de tip stivă “uită” în momentul în care este citită, dar acest inconvenient nu are importanță la nivelul limbajelor de tip 2 (va deveni supărător când vom aborda limbajele dependente de context, de tip 1).

**Definitia 1.9** *Un automat cu stivă este format prin conectarea unei memorii de tip stivă în bucla unui automat finit. Formal:*

$$PDA = (X \times X', Y \times Y' \times X, Q, f, g, z_0)$$

unde:

**X** : este alfabetul finit al mașinii; sirul de intrare aparține multimii  $X^*$

**X'** : este alfabetul finit al simbolrilor din stivă,  $X' = X \cup \{z_0\}$

**Y** : este multimea finită a simbolurilor de ieșire ale mașinii

**Y'** : este multimea comenzilor date de automat stivei,  $\{PUSH, POP, -\}$

**Q** : este multimea finită a stărilor automatului

**f** : este funcția de tranziție internă a sistemului:

$$f : X \times X' \times Q \rightarrow Q \times X \times Y'$$

*În funcția de simbolul recepționat, de simbolul din vârful stivei (top of stack, TOS) și de starea automatului finit, automatul comută în altă stare, o nouă valoare este aplicată la intrarea stivei care primește una din comenziile din {PUSH, POP, -}*

**g** : este funcței de tranziție a ieșrii  $g : Q \rightarrow Y$

**z<sub>0</sub>** : este valoarea inițială în TOS.

◊

Pentru cazurile generale, următoarele două teoreme sunt cunoscute și demonstrează în toate tratatele de specialitate.

**Teorema 1.6** *Orice limbaj de tip 2 poate fi recunoscut prin stările finale ale unui automat cu stivă (push-down automaton, PDA).*

◊

Notăm faptul că un PDA este o mașină formată dintr-o structură complexă dar de dimensiune constantă – automatul finit – și dintr-o structură simplă, definită recursiv, cu dimensiunea dependentă de  $n$  – memoria de tip stivă (pentru reîmprospătare de cunoștințe vizitați [39]).

**Teorema 1.7** *Orice limbaj de tip 2 poate fi generat de un autoamănt cu stivă.*

◊

Acum rămâne să vedem care este diferența esențială dintre un automat finit și un automat cu stivă. Ce trebuie făcut pentru a obține o mașină capabilă să recunoască/genereze limaje independente de context?

**Teorema 1.8** *Ordinalul minim al unui sistem care implementează un automat cu stivă este 3.*

◊

**Demonstrație** Deoarece un automat cu stivă este realizat prin conectarea în buclă a unui autoamănt finit cu o memorie de tip stivă, el are un ordin cu o unitate mai mare decât al componentelor conectate în buclă. Automatul finit este un SO2. Memoria de tip stivă este realizabilă în ce mai simplă versiune cu un numărațor reversibil (SO2) care adresează o memorie de tip RAM (SO1), care se conectează serial. Deci memoria de tip stivă, în această versiune, este un SO2. În consecință, automatul cu stivă este un SO3. Cea de a treia buclă, ce se închide prin stivă are rolul de a memora efectul relației în care se află  $x$  cu  $y$  ce provin din producții de tipul  $A \rightarrow xBy$ . Simbolul  $x$  este stocat în stivă pentru a fi asociat lui  $y$ , atunci când, după un număr de cicluri, acesta din urmă este recepționat.

◊

Memoria de tip stivă este cea mai simplă formă de memorie (registrul este o stivă cu un singur nivel). Prin definiție o stivă:

1. stochează siruri de caractere

2. accesul la șirul de caractere se face la un singur capăt atât pentru scriere cât și pentru citire (*last - in first - out*)
3. operația de citire este distructivă din cauza modului de accesare.

Simplitatea maximă este motivul pentru care acest tip de memorie a fost folosit pentru a concepe mașina care se situează imediat deasupra automatului finit în ierarhia sistemelor digitale. Primul nivel peste nivelul automatului finit este PDA. Dar, același motiv, al simplității, ne va obliga să renunțăm la acest tip de sistem atunci când vom aborda limbajele generate prin producții context dependente. Vom avea nevoie de memorii al căror conținut să poată fi accesat de mai multe ori pe parcursul unei procese de recunoaștere. Nu vom mai putea folosi stiva, care “uită” după ce a fost accesată pentru citire. Limbajele dependente de context cer o memorie în care “contextul” să poată fi în mod repetat interogat pentru ca autoamul finit asociat să poată decide.

### 1.4.3 Gramatici de tip 1 și structuri cu 4 bucle (SO4)

Să încercăm folosirea unui automat pentru a aborda măcar unul dintre cele mai simple limbaje din  $\mathcal{L}_1$ ,  $\{a^n b^n c^n \mid n \geq 1\}$ . Să încercăm chiar folosirea unui automat “infinit”. În câteva minute vom decide să abandonăm. Folosind un automat cu stivă, vom ajunge rapid la “soluția” de a folosi un automat “infinit” pentru a controla stiva. Este evident că trebuie să facem apel la o structură cu o autonomie superioară pentru rezolvarea problemei.

Atunci când vom încerca să folosim pentru recunoașterea limbajului  $\{a^n b^n c^n \mid n > 0\}$  un automat cu stivă, vom ajunge la concluzia că mai trebuie adăugată o resursă de memorare. Într-adevăr, după ce din stivă au fost citite  $a$ -urile, ca urmare a receptării  $b$ -urilor, informația despre  $n$  este pierdută. Numărul de  $a$ -uri a fost egal cu cel al  $b$ -urilor, dar nu mai avem posibilitatea de a vedea dacă  $c$ -urile sunt tot exact la fel de multe. Pentru a compensa această lipsă, o nouă structură de memorare trebuie adăugată într-o *bucă suplimentară*. Vom fi obligați astfel să adăugăm cea de a patra buclă.

În cazul general, va trebui să folosi și pentru  $\mathcal{L}_1$  o structură cu definiție constantă, independentă de lungimea șirurilor recunoscute sau generate, adică  $C_{Machine}(n) \in O(1)$ . Această restricție este satisfăcută dacă vom adăuga în bucla unui automat cu stivă o stivă suplimentară. În acest caz, sistemul devine unul cu 4 bucle de apărține la SO4. Noua stivă va compensa faptul că citirea stivei inițiale este distructivă.

Cea de a patra buclă oferă accesul la o memorie suplimentară. Ea a fost necesară datorită faptului că restricția R2, impusă regulilor de generare, a fost suspendată. Un efect identic se poate obține prin folosirea în bucla automatului finit a unei memorii cu proprietăți suplimentare. Este vorba de *memoria linear mărginită*.

**Definitia 1.10** *Un automat cu memorie linear mărginită (linear bounded automaton, LBA) este un automat finit strict inițial, conectat în buclă cu o memorie linear mărginită (vezi Figura 1.3) care realizează în fiecare ciclu următoarea secvență de operații*

1. generează la ieșirea  $DOUT$  a memoriei linear mărginite conținutul celulei curent accesate
2. stochează în celula curent accesată simbolul aplicat la intrarea  $DIN$  calculat în funcție de  $DOUT$  și starea curentă a automatului finit
3. accesează pentru ciclul următor (1) celula de memorie din dreapta (prin comanda  $UP$ ), sau (2) celula din stânga (prin comanda  $DOWN$ ) sau (3) celula curentă (prin comanda  $-$ ), implementând astfel o memorie de tip listă cu acces bidirectional.

formalizate prin:

$$LBA = (I \cup \{\#\}, Q, f; q_0)$$

unde:  $I \cup \{\#\}$  este alfabetul finit al mașinii,  $Q$  este mulțimea finită a stărilor automatului finit,  $q_0 \in Q$  este starea inițială a automatului finit, iar  $f$  este funcția de tranziție a întregului sistem:

$$f = (I \cup \{\#\}) \times Q \rightarrow (I \cup \{\#\}) \times Q \times \{UP, DOWN, -\}$$

cu restricția că simbolul  $\#$  nu poate fi înlocuit în memorie.

În starea inițială automatul se află în  $q_0$ , sirul asupra căruia se operează se află în memorie limitat la ambele capete de simbolul  $\#$ , iar primul simbol din sir este accesat. În fiecare ciclu, un simbol este citit din memorie de la locația curent accesată; automatul determină, în funcție de acesta și de starea sa, un simbol care se scrie în memorie la locația curent accesată, automatul comută, în funcție de starea sa și simbolul curent accesat, în starea următoare.

◊

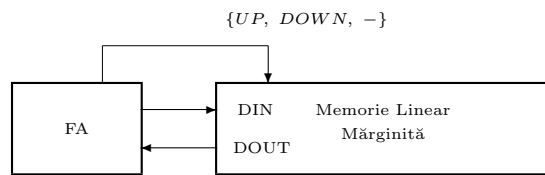


Figura 1.3: Automat cu memorie lineară mărginită.

Mașina definită mai sus este folosită pentru generarea sau recunoașterea limbajelor dependente de context, de tip 1. Procesul de recunoaștere nu poate începe decât dacă secvența de recunoscut este în întregime stocată în memoria lineară mărginită. Pentru limbajele de tip 3 și 2, această restricție nu există. Ea este necesară din cauza dependenței de context.

Următoarele două teoreme sunt clasice.

**Teorema 1.9** Limbajele dependente de context (de tip 1) sunt recunoscute numai prin stările finale ale unor automate cu memorie lineară mărginită (LBA).

◇

Memoria în care se stochează sirul de recunoscut are celule ce pot fi citite ca locații de RAM de ori de câte ori este nevoie, deoarece contextul în care fiecare simbol este generat presupune, la limită, inspectarea întregului sir.

**Teorema 1.10** Limbajele dependente de context sunt generate numai de automate cu memorie lineară mărginită (LBA).

□

Ambele teoreme sunt demonstreate în toate manualele de limbaje formale. Pentru demersul nostru este nevoie să demonstrăm următoare teoremă.

**Teorema 1.11** Sistemul care implementează funcția unui automat cu memorie lineară mărginită are cel puțin ordinul 4.

□

**Demonstrație** Cea mai simplă memorie cu citire nedistructivă se poate construi conectând în buclă două memorii de tip stivă: LIFO 0 și LIFO 1 (vezi Figura 1.4). Pentru fiecare operație de POP0 (extragere din vârful stivei LIFO 0) efectuată în stiva inițială, se comandă o operație de PUSH1 (scriere în vârful stivei LIFO 1) cu conținutul extras din prima stivă. În acest fel citirea își pierde caracterul distructiv. Simetric, pentru orice POP1 din stiva adăugată se poate realiza un PUSH0 în cea inițială. Adâncimea fiecărei stive poate fi limitată în funcție de lungimea șirului prelucrat. Cele două stive conectate în buclă realizează funcția de memorare de tip listă bidirectională.

Deoarece o stivă aparține SO2, memoria cu citire nedistructivă realizată prin conectarea în buclă a două stive aparține SO3. Memoria lineară mărginită astfel obținută, conectată în buclă unui automat finit strict inițial formează, împreună cu acesta din urmă, un SO4 (vezi Figura 1.4).

◊

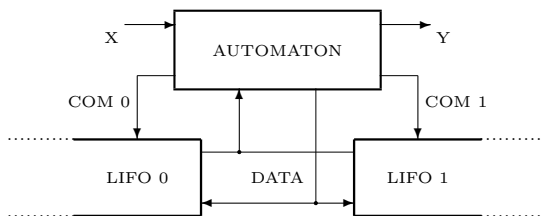


Figura 1.4: Automat cu stivă (**AUTOMATON** & **LIFO 0**) conectat în buclă cu stiva adițională **LIFO 1**.

O structură echivalentă pentru un *LBA* este prezentată în Figura 1.5, unde:

- *AUTOMATON* este un automat finit (un SO2)
- *UDCOUNTER* este un automat “infinit” cu o structură simplă ( $C_{UDCOUNTER} \in O(1)$ , cu toate că dimensiunea sa  $S_{UDCOUNTER} \in O(\log n)$ ); este folosit ca pointer în memoria *RAM*
- *RAM* este o memorie cu acces aleator în care se stochează șirul de simboluri ce se prelucreză într-un spațiu limitat proporțional cu lungimea șirului (un SO1).

Structura are două bucle ce se includ, închise peste un automat finit. Deci, este un SO4. În soluția anterioară șirul se deplasă “prin față” automatului.

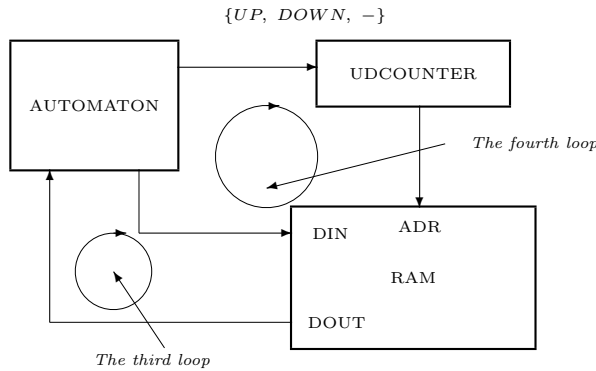


Figura 1.5: Automat cu memorie liniar mărginită.

În această nouă soluție, conținutul memoriei este “static” și este inspectat prin incrementarea sau decrementarea unui numărător folosit ca pointer.

Cerințele structurale pentru limbajele dependente de context implică o mașină mai complexă, cu funcții mai net segregate. Cele două bucle adăugate automatului finit au roluri net distințe:

- prima buclă, închisă prin memoria RAM, este destinată unui *suport de stocare extern*
- cea de a doua, prin *UDCOUNTER* și *RAM*, pentru accesare unei *funcții de memorare: lista bidirectional accesată*.

O listă poate face mai multe decât o stivă. Ambele reprezintă un șir, dar stiva permite numai un acces limitat și destructiv la conținutul șirului.

#### 1.4.4 Gramatici de tip 0 și mașini Turing

Modelul de calculabilitate al mașinii Turing [42] este responsabil, împreună cu modelul funcțiilor recursive al lui Kleene [35], pentru impunerea deosebit de imperativă a arhitecturii von Neumann [43] care domină încă (prea autoritar) industria IT&C.

**Definitia 1.11** Mașina Turing (*TM*) este formată dintr-un automat finit (*FA*) conectat cu o memorie infinită (vezi Figura 1.6). În fiecare ciclu, automatul realizează următoarele operații:

1. recepționează de la ieșirea memoriei,  $DOUT$ , conținutul celulei de memorie curent accesate
2. stochează în celula curent accesată un simbol generat pornind de la starea proprie și de la conținutul curent al celulei
3. selecteză celula de memorie pentru ciclul următor ca fiind cea din dreapta celei curente ( $UP$ ), cea din stânga celei curente ( $DOWN$ ) sau menține pe cea curentă (-)
4. comută automatul în stare următoare, în funcție de starea curentă și  $DOUT$ .

Formal scriem:

$$TM = (I, Q, f; q_0)$$

unde:  $I$  este alfabetul finit al mașinii (simbolurile ce pot fi scrise în memorie),  $Q$  este mulțimea finită a stărilor automatului,  $q_0 \in Q$  este starea inițială a automatului finit, iar funcția  $f$  este funcția de tranziție a întregii mașini:

$$f = I \times Q \rightarrow I \times Q \times \{UP, DOWN, -\}$$

În fiecare stare, pornind de la simbolul citit din memorie și de la starea automatului, a nou simbol este scris în memorie, este apoi selecțiată o nouă celulă de memorie și automatul comută în starea următoare. În starea inițială a mașinii Turing automatul este în  $q_0$ , memorie conține sirul de prelucrat delimit la ambele capete de  $\# \in I$ , iar celula selectată conține primul element al sirului.

◊

Diferența esențială dintre mașina Turing și Automatul cu memorie liniar mărginită este dată de faptul că la mașina Turing simbolul  $\#$  poate fi substituit. Consecința directă a acestei diferențe este faptul că nu știm cât de mare trebuie să fie memoria pentru a putea procesa un sir de lungime dată. Soluția simplă a acestei probleme a fost să se considere infinit numărul de celule al memoriei mașinii Turing.

Detalierea structurii mașinii Turing este prezentată în Figura 1.7 , unde sunt evidențiate cele trei componente principale:

1. automatul finit (FA)

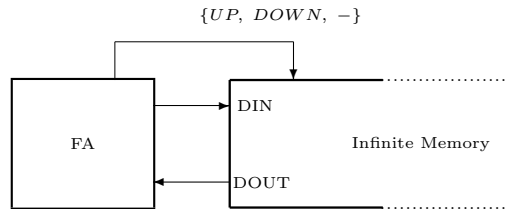


Figura 1.6: Mașina Turing

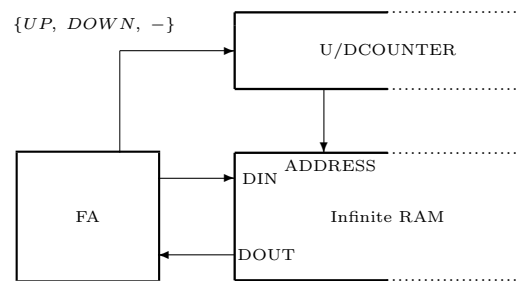


Figura 1.7: Structura mașinii Turing

2. număratorul reversibil, UDCOUNTER, un automat “infinit”, un circuit simplu definit recursiv
3. *Memoria infinită*, formată dintr-o memorie RAM adresată prin conținutul pointerului UDCOUNTER.

Mașina Turing este un concept. O structură fizică corespondentă nu poate fi concepută, datorită caracterului infinit al resurselor de memorie. Nu putem vorbi, deci, despre ordinul sistemului logic care implementează mașina Turing.

Gramaticile de tip 0 și limbajele asociate sunt caracterizate de reguli de producție nesupuse niciunor restricții. Ultima restricție, R3 (șirul nu poate descrește în timpul procesului de generare), fiind suspendată, dimensiunea memoriei nu poate fi evaluată, motiv pentru care va fi considerată infinită.

**Nota bene:** lipsa restricțiilor în definirea regulilor de producție nu înseamnă că avem de a face cu un limbaj fără restricții, cu un limbaj natural. Fără restricții sunt modalitățile de formulare a regulilor. Dar caracterul finit (constant) al dimensiunii mulțimii  $P$  a regulilor de producție

rămâne o restricție deosebit de puternică. Un limbaj cu  $|P|$  constantă este în continuare unul simplu, formal.

### 1.4.5 Concluzie

Corelația dintre *tipurile de limbaj* și *ordinul* mașinilor fizice asociate este o corelație care reflectă relația dintre **expresivitatea** unui limbaj formal și **autonomia** structurii de circuit asociate, ca mașină de recunoaștere sau generare. Limbajele cu restricții de generare mai mari vor putea fi recunoscute/generate de structuri de circuit mai puțin autonome, pe când cele cu restricții mai mici cer structuri de circuit cu autonomie sporită. Nivelul de autonomie al unei structuri de circuit este dat de numărul maxim de bucle care se includ în organizarea circuitului dat. Rezultă corepondența sintetizată după cum urmează:

- $\mathcal{L}_3 \leftrightarrow \text{SO2}$
- $\mathcal{L}_2 \leftrightarrow \text{SO3}$
- $\mathcal{L}_1 \leftrightarrow \text{SO4}$

Avem de a face, în cazul particular al structurilor de recunoaștere/generare a limbajelor formale, cu o ierarhie structurală centralată pe tipul de memorie folosit de un automat finit. Automatul finit, ca SO2, folosește cea mai simplă memorie: registrul de stare (sau o stivă cu un singur nivel de stocare). Automatul cu stivă, ca SO3, folosește o memorie, cu citire distructivă, de tip stivă, cu o dimensiune dată de ordinul de mărime al sirurilor de recunoscut/generat. Automatul cu memorie liniar mărginită, ca SO4, folosește o memorie de tip listă, cu citire nedistructivă.

Caracterul formal al limbajelor considerate permite folosirea unor structuri fizice cu complexitate constantă, chiar dacă dimensiunea (size) acestora poate fi în  $O(f(n))$ . Componentele simple ale mașinilor asociate limbajelor formale pot fi “infinite”, cu condiția ca să mențină structurile complexe la dimensiuni constante. De aici și limitele pe care le au “expresivitatea” limbajelor formale.

## 1.5 Parsarea

În știința computației, **parsarea** este etapa inițială a unui interpreter sau a unui compilator. În această etapă, se determină dacă șirul simbolic aparține limbajului considerat și care este **arborele de derivare** a șirului în gramatica asociată limbajului. Vom prezenta pe scurt, în această secțiune, conceptul de *parsare*. Scopul urmărit este acela de a înțelege esența mecanismului pentru a putea folosi în cunoștință de cauză instrumente automate de parsare.

Conceptul principal folosit de mecanismul de parsare este arborele de derivare a unui șir aparținând unui limbaj  $L(G)$ . Pentru exemplificările din această secțiune vom folosi [40].

**Definitia 1.12** Definim o derivare **leftmost** (de la stânga la dreapta) independentă de context derivarea lui  $q$  din  $p$  prin substituția primului neterminal ce apare în  $p$ .

◊

**Definitia 1.13** Definim o derivare **rightmost** (de la dreapta la stânga) independentă de context derivarea lui  $q$  din  $p$  prin substituția ultimului neterminal ce apare în  $p$ .

◊

**Exemplul 1.11** Fie gramatica

$$G_7 = (\{S, A\}, \{a, b\}, \{S \rightarrow AA, A \rightarrow AAA|bA|Ab|a\}, S)$$

Urmează, pe două coloane, două derivări distințe care generază același șir:

$S \rightarrow AA$ $\rightarrow aA$ $\rightarrow aAAA$ $\rightarrow abAAA$ $\rightarrow abaAA$ $\rightarrow ababAA$ $\rightarrow ababaA$ $\rightarrow ababaa$	$S \rightarrow AA$ $\rightarrow Aa$ $\rightarrow AAAa$ $\rightarrow AAbAa$ $\rightarrow AAbaa$ $\rightarrow AbAbaa$ $\rightarrow Ababaa$ $\rightarrow ababaa$
--	--

Coloana din stânga reprezintă derivarea leftmost a secvenței ababaa, în timp ce coloana din dreapta reprezintă derivarea rightmost a aceleiași secvențe.

◊

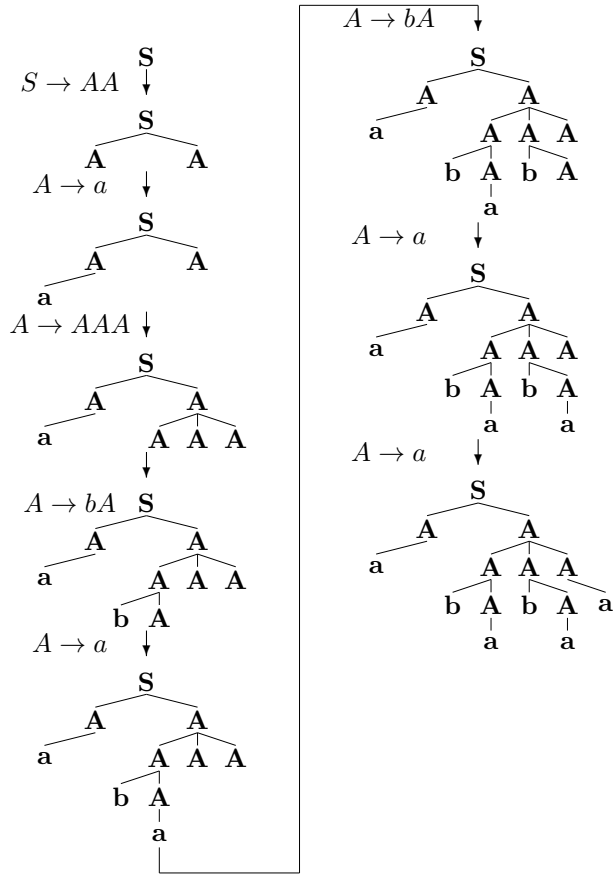


Figura 1.8: Construcția arborelui de derivare a sirului  $ababaa$  în gramatica  $G_7$ .

Orice secvență ce aparține unui limbaj are asociat un arbore de derivare prin care este definit sirul de producții care generează secvența. Pentru cazul din exemplul anterior, arborele de derivare al secvenței  $ababaa$  în  $G_7$  este reprezentat în Figura 1.8, unde fiecare săgeată verticală indică aplicarea producției scrise în stânga ei. Prima producție este  $S \rightarrow AA$ , astfel încât parcurgerea, de la stânga la dreapta, a frunzelor arborelui rezultat reprezintă rezultatul aplicării:  $AA$ . A doua producție,  $A \rightarrow a$ , este marcată în stânga celei de a doua săgeți și aduce secvența la valoarea  $aA$ . Se continuă până când frunzele arborelui sunt formate numai din terminale.

**Teorema 1.12** Fie  $G$  o gramatică independentă de context. O secvență  $q \in$

$L(G)$  dacă și numai dacă există o derivare *leftmost* în  $G$  a sirului  $q$ , pornind din  $S$ .

◊

**Demonstrație** : Fie

$$S \rightarrow q_1 \rightarrow q_2 \rightarrow q_3 \rightarrow \dots \rightarrow q_{n-1} \rightarrow q = S \xrightarrow[G]{n} q$$

Dacă derivarea este de tip *leftmost*, atunci ne încadrăm în cerințele teoremei. Dacă nu, atunci există o primă secvență,  $q_{k+1}$ , care este obținută printr-o aplicare a unei producții din  $P$  ce nu este *leftmost*. În aceste condiții numai derivarea parțială  $S \xrightarrow[G]{k} q_k$  este o derivare *leftmost*. Să detaliem secvența  $q_k$  după cum urmează:

$$q_k = p_1 A p_2 B p_3$$

unde:  $p_1 \in T^*$ ,  $p_2, p_3 \in (N \cup T)^*$ ,  $A$  este neterminalul *leftmost* iar  $B$  este neterminalul care va fi substituit cu  $r \in (N \cup T)^*$  în pasul  $k+1$  al derivării printr-o aplicare care nu este de tip *leftmost*, deoarece  $B$  este poziționat la dreapta simbolului  $A$ , primul neterminal din secvență.

Deci, evoluția derivării inițiale, care nu este *leftmost*, poate fi fragmentată în 5 etape, după cum urmează:

$$S \xrightarrow[G]{k} p_1 A p_2 B p_3 \rightarrow p_1 A p_2 r p_3 \xrightarrow[G]{j} p_1 A s \rightarrow p_1 p s \xrightarrow[G]{n-j-2} q$$

unde:  $s, p \in (N \cup T)^*$ . Derivarea anterioară, care este *leftmost* în primele  $k$  etape, se poate transforma într-o derivare *leftmost* în cel puțin primele  $k+1$  etape astfel:

$$S \xrightarrow[G]{k} p_1 A p_2 B p_3 \rightarrow p_1 p p_2 B p_3 \rightarrow p_1 p p_2 r p_3 \xrightarrow[G]{j} p_1 p s \xrightarrow[G]{n-j-2} q$$

Transformarea este posibilă pentru că cele două secțiuni ale secvenței generate în primii  $k$  pași,  $p_1 A$  și  $p_2 B p_3$ , sunt, în ambele derivări, modificate independent.

Același procedeu se aplică până când derivarea devine în întregul ei una de tip *leftmost*.

◊

Teorema anterioară ne va permite să facem ipoteza că aplicarea producțiilor din  $P$  se poate face într-o ordine bine stabilită pentru a obține

un element din  $L(G)$ . Această condiție permite simplificarea algoritmilor folosiți pentru a determina modul de derivare a unui element dat din  $L(G)$ .

Există două strategii principale pentru a afla care este derivarea șirului de terminale  $q$  pornind din simbolul de start  $S$  în gramatica  $G$ . Prima este aceea a unui **parser top-down**, care pornește din  $S$  în arborele de derivare asociat gramaticii  $G$  în tentativa de a găsi șirul  $q$ . Cea de a doua strategie este a unui **parser bottom-up**, care pornește de la șirul  $q$ , poziționat în frunzele arborelui de derivare și caută calea către simbolul de start  $S$ . De asemenea, parcurgerea arborelui de derivare se poate face în două feluri: *breath-first* sau *depth-first*. Pentru scopul pe care-l urmărim, vom opta pentru a prezenta numai un singur algoritm de parsare. Optăm, din considerente de simplitate, pentru algoritmul de parsare *depth-first top-down*.

### 1.5.1 Algoritmul de parsare *depth-first top-down*

Algoritmul de parsare *depth-first top-down* construiește arborele de derivare al șirului de simboluri parseate, dacă acesta există, pornind cu simbolul de start al gramaticii considerate. Regulile de derivare ale gramaticii sunt numerotate pentru a se stabili o ordine de aplicare. În fiecare nod al arborelui este aplicată regula ce îndeplinește următoarele trei condiții: (1) aparține submulțimi celor aplicabile; (2) nu a mai fost aplicată în acel nod; (3) are indexul minim. Procesul avansează numai dacă în fiecare etapă prefixul delimitat de primul neterminal este un prefix al șirului parseat.

Algoritmul (vezi Figura 1.9) presupune folosirea unei memorii de tip stivă pentru a controla procesul de parsare.

Vârful stivei (top of stack) `tos = [left, right]` conține o pereche formată dintr-un șir  $left = (N \cup T)^* \cup \{\#\}$  și un număr  $right = i$ . Simbolul  $\#$  este folosit pentru a inițializa conținutul stivei, iar numarul  $i$ , când  $i \neq 0$ , reprezintă indexul ultimei reguli de producție aplicate în încercarea de a găsi o producție acceptată de procesul de parsare. Șirul `left` reprezintă forma pe care o are șirul “propus” de generează în etapa anterioară.

Variabila `deadEnd` este `false`, atât timp cât procesul de parsare avansează “promițător”; atunci când prin aplicarea unei reguli de producție se obține un prefix de terminale ce nu se regăseste ca prefix în secvența de parseat, variabila `deadEnd` ia valoarea `true`.

Șirul  $p = uAv$  reprezintă stadiul curent al tentativei de a genera șirul de parseat. Simbolul  $A$  reprezintă primul neterminal din  $p$ ,  $u \in T^* \cup \{\lambda\}$ , iar  $v \in (N \cup T)^* \cup \{\lambda\}$

Procesul de parsare este format dintr-o două bucle ce se includ. Bucla internă aplică primului neterminál regula cu indexul minim posibil, dar mai mare de `tos[right] = i`, dacă acesta există. Bucla se repetă atât timp cât procesul nu generază un prefix format din terminale ce nu aparține ca prefix sirului de parsat.

```

procedure depthFirstTopDownParser
    push(#,0); initializarea stivei, (tos= #,0)) == stiva golita
    push(S,0);
    loop
        deadEnd <= false;
        p <= tos[left];
        i <= tos[right];
        pop;
        loop
            if (not(u == prefix(q)))           deadEnd <= true;
            if (Rj: A -> w, j>i does not exist) deadEnd <= true;
            if (deadEnd == false) { push(p, j);
                p <= uwv;
                i <= 0;
            }
            until (deadEnd == true) | p format numai din terminale
            until ((p == q) | (tos == (#, 0)))
            if (p == q) ACCEPTAT;
            else      REJECT;
    endprocedure

```

Figura 1.9: Algoritmul `depthFirstTopDownParser`

Bucla principală descarcă (`pop`) din stivă: (1) rezultatul unei etape de generare ce s-a dovedit că nu conduce către secvența de parsat și (2) indexul regulii de generare ce s-a dovedit a fi aplicată greșit. Cu noile valori pentru  $p$  și  $i$ , se reintră în bucla internă. Procesul continuă până când sirul  $p$  coincide cu sirul  $q$ , a cărui generare este investigată, sau până cind toate încercările de a găsi un sir de producții ce conduce de la  $S$  la  $q$  se dovedesc zadarnice. Imposibilitatea de a parsa un sir este dată de `tos = (#, 0)`, testată condiționat de `deadEnd = true`.

Dacă parsarea este reușită, atunci din stivă se vor putea extrage, în ordine inversă, din componentele `right` ale fiecărei înregistrări, indexurile regulilor

de generare ce trebuie aplicate pornind din  $S$  pentru a obține sirul de parsat  $q$ .

### 1.5.2 Exemplu de parsare

Din considerente de simplitate, fie o gramatică,  $G_A$ , care generează expresii aditive.  $G_A$  este suficient de simplă pentru a exemplifica ușor mecanismul de parsare *depth-first top-down*, descris în paragraful anterior.

**Definitia 1.14** Fie gramatica  $G_A$ :

$$G_A = (N, T, P, S)$$

unde:

$$\begin{aligned} N &= \{S, A, T\} \\ T &= \{a, +, (, )\} \\ P &= \{S \rightarrow A \quad , \quad (1) \\ &\quad A \rightarrow T \quad , \quad (2) \\ &\quad A \rightarrow A+T \quad , \quad (3) \\ &\quad T \rightarrow a \quad , \quad (4) \\ &\quad T \rightarrow (A) \quad } \quad (5) \end{aligned}$$

Cele cinci producții au fost numerotate pentru a putea fi apelate în descrierea algoritmică folosind indexul asociat.

◊

Expresiile generate cu  $G_A$  sunt de tipul:  $a$ ,  $(a+a)$ ,  $(a+a+a)$ ,  $(a+(a+a))$ ,  $(a+(a+(a+a)))$ ,  $(a+(a+(a+a))+a)$ , și.a.m.d. Spre exemplu, arborele de derivare al expresiei  $(a+a)$ , folosind gramatica  $G_A$ , este reprezentat în Figura 1.10. Pornind din  $S$ , sunt aplicate, în ordinea crescătoare a indexului asociat, regulile ce se pot aplica într-o modalitate de derivare *leftmost*. Dacă în fiecare pas prefixul delimitat de primul neterminal este un prefix al expresiei de parsat, atunci suntem pe calea cea bună, altfel efectul pasului “greșit” este anulat și se încearcă regula cu indexul imediat superior, dacă acest lucru este posibil.

Expresia  $(a+a)$  fiind una ce aparține limbajului  $L(G_A)$ , arborele de parsare se poate obține, iar secvența de reguli a căror aplicare conduce la

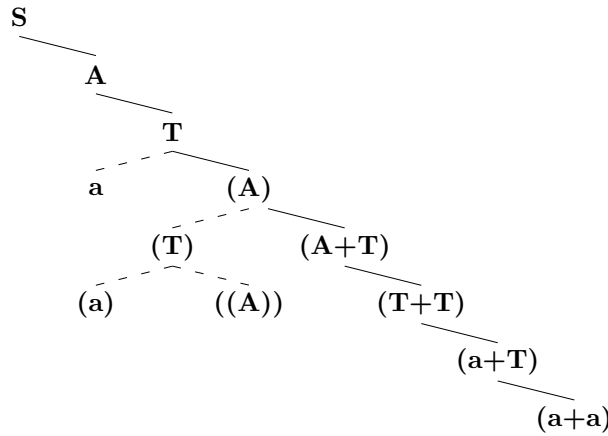


Figura 1.10: Calea de derivare a șirului  $(a+a)$  în gramatica  $G_A$  investigată prin algoritmul de parsare *depth-first top-down*. Căile redate cu linie întreruptă reprezintă încercările nereușite.

$(a+a)$  reprezintă rezultatul procesului de parsare. În Figura 1.10, este reprezentat schematic procesul de parsare al expresiei  $(a+a)$ . Conform algoritmului `depthFirstTopDownParser`, procesul pornește din rădăcina arborelui inițiată la valoarea simbolului de start  $S$ . Se aplică una singură regulă posibilă, (1), și se generează nodul  $A$ . În această etapă, pot fi aplicate două reguli, (2) și (3). O vom aplica pe cea cu indexul mai mic și rezultă nodul  $T$ . În această etapă putem aplica două reguli. Conform algoritmului descris, o vom aplica, pentru început, pe cea cu indexul mai mic, (4). Rezultă nodul  $a$ . Dar  $a$  nu se regăsește ca prefix în șirul  $(a+a)$ . Ne întoarcem în nodul  $T$  și căutăm o altă regulă aplicabilă. Aceasta este regula (5), și ajungem în nodul  $(A)$ . În șirul deja format  $u = ($  este un prefix ce aparține șirului de parsat, deci putem continua. Aplicarea regulilor (2) și (4) se dovedește nepotrivită, pentru că ea conduce la șirul  $(a)$ . Înlocuirea regulei (4) cu (5) este iarăși “neinspirată”, motiv pentru care ne întoarcem în nodul  $(A)$  și aplicăm regula (3). Din acest punct, aplicarea algoritmului conduce direct, fără pop-urile marcate prin linii punctate în Figura 1.10, la soluția căutată.

Pentru a înțelege modul în care este folosită stiva în procesul de parsare descris, vom relua funcționarea algoritmului `depthFirstTopDownParser`

pentru expresia  $(a+a)$  vizualizând în Figura 1.11 evoluția procesului de derivare prin variabilele implicate în algoritm:

STEP	0	1	2	3	4	5	6	7	8	9
deadEnd:	-	-	-	false	false	false	false	true	false	false
tos:	[...]	[#,0]	[S,0]	[#,0]	[S,1]	[A,2]	[T,4]	[A,2]	[T,5]	[ (A),2]
				[...]	[#,0]	[...]	[#,0]	[S,1]	[A,2]	[T,5]
					[...]	[...]	[#,0]	[S,1]	[A,2]	
						[...]	[#,0]	[...]	[#,0]	[S,1]
							[# ,0]	[...]	[#,0]	[...]
								[...]	[#,0]	[...]
i:	-	-	-	0	0	0	0	4	0	0
p:	-	-	-	S	A	T	a	T	(A)	(T)
	10	11	12	13	14	15	16	17	18	
false	true	false	true	true	false	false	false	false	false	
[(T),4]	[(A),2]	[(T),5]	[(A),2]	[T,5]	[(A),3]	[(A+T),2]	[(T+T),4]	[(a+T),4]		
[(A),2]	[T,5]	[(A),2]	[T,5]	[A,2]	[T,5]	[(A),3]	[(A+T),2]	[(T+T),4]		
[T,5]	[A,2]	[T,5]	[A,2]	[S,1]	[A,2]	[T,5]	[(A),3]	[(A+T),2]		
[A,2]	[S,1]	[A,2]	[S,1]	[#,0]	[S,1]	[A,2]	[T,5]	[(A),3]		
[S,1]	[#,0]	[S,1]	[#,0]	[...]	[#,0]	[S,1]	[A,2]	[T,5]		
[#,0]	[...]	[#,0]	[...]		[...]	[#,0]	[S,1]	[A,2]		
[...]		[...]				[...]	[#,0]	[S,1]		
							[...]	[#,0]		
								[...]		
0	4	0	5	2	0	0	0	0	0	
(a)	(T)	((A))	(T)	(A)	(A+T)	(T+T)	(a+T)		(a+a)	

Figura 1.11: Evoluția stării procesului de parsare asociat expresiei  $(a+a)$  din  $L(G_A)$ .

- **deadEnd:** variabila care indică ajungerea într-o “fundătură”, din care se poate ieși extrăgând din stivă pasul greșit care a condus la un prefix ce nu apare în aceeași calitate în secvența de parsat
- conținutul stivei în care se stochează “urma” procesului de parsare

- indexul  $i$  care delimită inferior indicele regulii ce poate fi aplicată în etapa curentă a parsării: orice regulă  $R_j$  aplicată trebuie să îndeplinească condiția  $i < j$
- sirul  $p$  reprezintă sirul propus în fiecare etapă a procesului de parsare ca un posibil candidat pe calea ce conduce la generearea sirului de parsat.

Etapele parsării ilustrate în Figura 1.11 sunt:

**STEP 0** : stare inițială în care stiva nu conține nimic semnificativ, iar `deadEnd`,  $i$  și  $p$  au valori nesemnificative

**STEP 1** : este inițializată stiva în starea “golită”

**STEP 2** : `push [S,0]`, inițializarea rădăcinii arborelui de derivare în  $S$ , iar zeroul semnifică faptul că orice regulă de producție poate fi aplicată

**STEP 3** : se intră în bucla principală prin extragerea din `tos` a “stadiului” în care a juns parsarea: nodul curent conține  $S$  și se poate aplica orice regulă pentru ca  $i = 0$

**STEP 4** : se intră în bucla interioară prin:

- `push [S,1]`: sirului  $S$  i s-a aplicat regula de producție (1)
- a rezultat noua formă a sirului:  $A$
- resetarea indexului ( $i = 0$ ): noii forme a lui  $p$  i se poate aplica oricare dintre regulile ce-i sunt asociate

**STEP 5** : se mai parcurge odată bucla interioară pentru că `deadEnd = false` și se execută:

- `push [A,2]`: sirului  $A$  i s-a aplicat regula de producție (2)
- a rezultat noua formă a sirului  $T$
- resetarea indexului ( $i = 0$ )

**STEP 6** : se mai parcurge odată bucla interioară pentru că `deadEnd = false` și se execută:

- `push [T,4]`: sirului  $T$  i s-a aplicat regula de producție (4)
- a rezultat noua formă a sirului  $a$

- resetarea indexului ( $i = 0$ )

**STEP 7** : se detectază că  $a$  nu este un prefix al řirului de parsat și se ieșe din bucla internă în cea principală prin

- $p = \text{left[tos]} = T$
- $i = \text{right[tos]} = 4$
- $\text{pop}$

**STEP 8** : se reinträ în bucla interioară și se execută:

- $\text{push } [T, 5]$ : řirului  $T$  i s-a aplicat regula de producție (5), după ce s-a dovedit că aplicarea regulii cu index inferior, 4, nu conduce către secvența *parsată*
- a rezultat noua formă a řirului ( $A$ )
- resetarea indexului ( $i = 0$ )

...

**STEP 18** : elementele  $\text{right}$  din înregistrările din stivă reprezintă řirul de reguli de producție căutat listat în ordine inversă. Deci řirul de reguli identificat este: (1), (2), (5) (3), (2), (4), (4).

Programele care operează parsarea sunt curent realizate prin actualizarea unor generatoare de parsare ce sunt inițializate prin “încărcarea” gramaticii limbajului din care se face traducerea. Un astfel de program este, spre exemplu, ANTLRWorks (ANTLR ANOther Tool for Language Recognition), un mediu pentru dezvoltarea de gramatici scris de Jean Bovet (vezi Anexa A).

## Capitolul 2

# Aplicații muzicale ale gramaticilor

Folosirea procedeelor enunțate de gramaticile generativ-transformaționale, în ocurență, gramaticile de tip 2, independente de context (*context-free grammars*), se face cu urmărirea a două obiective:

- definirea unui vocabular și a unui set de reguli în cazul concret al unui corpus de lucrări muzicale clasice (în ocurență, sonatele de maturitate ale lui W. A. Mozart) ;
- apoi, definirea unui nou vocabular înlocuitor al celui original și, mai ales, a unui nou set de reguli, derivabile, prin diverse procedee transformaționale, din cele inițiale.

Aceste obiective sunt, la rîndul lor, subordonate unui *target* mai mare, respectiv deducerea unei gramatici generalizate ce înglobează coordonate ale limbajului muzical mozartian.

Noam Chomsky însuși a formulat anumite direcții ce ar putea privi cercetarea de față, atunci cînd și-a propus, sistem(at)ic, întrebarea dacă muzica poate fi inclusă în teritoriul limbajelor (fie precum cele naturale, fie în categoria limbalelor formale). Rezerva să, principală, se purta asupra faptului că muzica este un *limbaj* lipsit de referențialitate.

Luăm în considerare posibilitatea reală ca muzica să fie omologată unui tip special de limbaj formal. Pentru a-i putea detecta, cum spuneam, virtuălitățile formatoare de structuri.

În același timp, este de subliniat faptul că proiectul acesta vizează convertirea unui tip de discurs sonor (în ocurență, cel teleologic), într-unul de tip deschis. Același Noam Chomsky vorbește de caracterul special al muzicii, pe care o denumește “pseudo-limbaj”, întrucît – spune el – muzica nu are un *referent* precum limbile naturale. Dacă luăm în considerație celebrul triunghi al lui Pierce, pe care îl regăsim și la Ferdinand de Saussure, avem relația complexă dintre semnificant, semnificat și referent (vezi Figura 2.1).

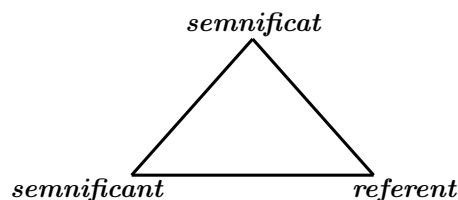


Figura 2.1: Triunghiul lui Pierce.

Muzica, însă, nu aparține nici zonei limbajelor formale (precum matematica ori logica formală). Tocmai acest statut intermedian este cel care interesează în studiul de față. Situația primă a utilizării gramaticilor generative se sprijină pe asimilarea în prealabil, a diferitelor aspecte pe care le propun, în general, aceste gramatici. În acest scop, au fost făcute expunerile anterioare.

Pentru cercetarea de față, am ales un anumit protocol de desfășurare, ale cărui etape sunt derulate precum urmează:

**Etapa I :** alegerea unui subset al sonatelor mozartiene de pian, pentru a fi folosit la identificarea unei gramatici sursă

**Etapa II :** identificarea gramaticii sursă

**Etapa III :** definirea unor gramatici destinație numai prin modificarea terminalelor

**Etapa IV :** definirea unor gramatici destinație prin extensii gramaticale sau noi gramatici

**Etapa V :** traducerea unui fragment mozartian în limbajele generate de gramaticile definite într-una din cele două etape anterioare.

## 2.1 Etapa I: Identificarea spațiului sonor sursă

Au fost alese, pentru început, trei Sonate pentru pian de Wolfgang Amadeus Mozart, din perioada de maturitate a creației sale: KV 331, KV 332 și KV 570 (vezi Figura 2.2, unde sunt reproduse numai primele măsuri din fiecare sonată). De aici, mai întâi, vom decupa frazele muzicale ale mîinii drepte. În continuare, se desprind exclusiv structurile ritmice. (De subliniat faptul că, pentru claritatea expunerii, s-a procedat la o omogenizare a valorilor: în ocurență, doimea a fost înlocuită de pătrime, pătrimea de optime etc. Aceasta pentru claritatea expunerii și ușurarea travaliului). S-a obținut, astfel, un număr restrîns de valori ritmice.

Primele 4 măsuri din sonata KV 331 se reduc la schema ritmică reprezentată în Figura 2.3.

Primele 7 măsuri din sonata KV 332 se reduc la schema ritmică reprezentată în Figura 2.4.

Primele 6 măsuri din sonata KV 570 se reduc la schema ritmică reprezentată în Figura 2.5.:

Pentru omogenitatea și claritatea demersului, vom considera în sonatele KV 332 și KV 570, că valorile reale sunt reduse la jumătate.

## 2.2 Etapa II: Extragerea gramaticii sursă

Vom admite următoarea convenție:

șaisprezecime = 1;  
optime = 2;  
optime cu punct = 3;  
pătrime = 4;  
pătrime cu punct = 6.

Se impun, aici, câteva observații, vizînd acest vocabular (pentru că este un vocabular al celor trei exemple alese):

- din sirul 1, 2, 3 , 4, 6 numerele 1, 2, 4 reprezintă puteri ale lui 2 ( $2^0$ ,  $2^1$ ,  $2^2$ ), iar numerele 3 și 6, reprezintă următoarea formulă:  $2^n + 2^{n-1}$ . Evident, acest sir poate fi făcut să crească indefinit, atât la dreapta, cât și la stânga.



Fragment din sonata KV 331



Fragment din sonata KV 332



Fragment din sonata KV 570

Figura 2.2: Fragmente din sonate de Mozart



Figura 2.3: Primele măsuri din sonata KV 331



Figura 2.4: Primele măsuri din sonata KV 332



Figura 2.5: Primele 4 măsuri din sonata KV 570

- puterile lui 2 pot crește la “infinit”, în sens pozitiv, dar și negativ. Iar din 2 la puterea n, poate fi scăzută valoarea 2 la puterea  $n_1$  plus 2 la puterea  $n_2$ . Etc.

Dăm, în continuare, schemele numerice ale celor trei sonate.

(1)

4	2	4	2	4	2	4	2		4	2	4	2	4	2	4	2	4	2	
3	1	2	4	2	3	1	2	4	2		4	2	4	2	4	1	1	4	2

(2)

4	2	4	2	4	2	2	4		2	4	2	4	2	4	2	4	2	4
4	2	4	2	4	2	1	1	4		2	2	2	2	3	1	6	6	

(3)

4	2	4	2	4	2	4	2		4	2	4	2	4	2	4	2	4	2
4	2	4	2	4	2	4	1	1	1	1	1	1	1	1	1	1	1	1

Linia verticală reprezintă axa de simetrie a fragmentului.

Următoarea gramatică:

$$G_{M1} = (\{S, A, B, C\}, \{1, 2, 3, 4, 6\}, P, S)$$

unde:  $P$  conține următoarele reguli de producție

$$S \rightarrow ASA \mid AA$$

$$A \rightarrow BC \mid CB \mid 6$$

$$B \rightarrow 4 \mid 31 \mid 22 \mid 1111 \quad C \rightarrow 2 \mid 11$$

este “extrasă” din primele trei fragmente mozartiene.

Un prim exemplu de derivare va genera chiar primul eșantion (1) folosit în definirea gramaticii:

$$\begin{aligned} & S \\ \rightarrow & ASA \\ \rightarrow & AASAA \\ \rightarrow & AAAAAA \\ \rightarrow & BCAAAAA \end{aligned}$$

...  
 $\rightarrow BCBCBCBCBC$   
 $\rightarrow 31CBCBCBCBC$   
 $\rightarrow 312BCBCBCBC$   
 $\rightarrow 3124CBCBCBC$   
 $\rightarrow 31242BCBCBC$   
 $\rightarrow 3124231CBCBC$   
 $\rightarrow 31242312BCBC$   
  
 $\rightarrow 31242312424C$   
 $\rightarrow 3124231242411B$   
 $\rightarrow 31242312424114C$   
 $\rightarrow 312423124241142$

Un al doilea exemplu va genera o structură înrudită cu primul, dar ne-provenind din nici o situație concretă a lucrărilor de Mozart. Pornind din  $S$  generăm:

$S$   
 $\rightarrow ASA$   
 $\rightarrow AASAA$   
 $\rightarrow AAAAA$   
 $\rightarrow BCAAAAA$   
 $\rightarrow BCBCAAAA$   
 $\rightarrow BCBCCBAAA$   
 $\rightarrow BCBCCBCBAA$   
 $\rightarrow BCBCCBCBBCA$   
 $\rightarrow BCBCCBCBBC6$   
 $\rightarrow 4CBCCBCBBC6$   
 $\rightarrow 42BCCBCBBC6$   
 $\rightarrow 424CCBCBBC6$   
 $\rightarrow 4242CBCBBC6$   
 $\rightarrow 424211BCBBC6$   
 $\rightarrow 4242114CBBC6$   
 $\rightarrow 42421142BBC6$   
 $\rightarrow 4242114231BC6$   
 $\rightarrow 42421142314C6$   
 $\rightarrow 4242114231426$

Este evident că secvența rezultată:

4 2 4 2 1 1 4 2 3 1 4 2 6

este congruentă cu prima, cu alte cuvinte, aparține modalităților mozartiene de a crea structuri ritmice.

Este de remarcat, aici, următorul aspect: în ceea ce privește vocabularul, pentru definirea acestuia în mod eficient, trebuie utilizate cel puțin cupluri de valori. De exemplu: 42, sau 31 etc.

În continuare, problema incitantă ce se pune, ar fi descoperirea, prin alte gramatici asemănătoare, a unor lanțuri ce ar corespunde altor fraze muzicale din alte sonate mozartiene. Vom considera exemplele din Figura 2.6.



Fragment din sonata KV 494



Fragment din sonata KV 576

Figura 2.6: **Fragmente din sonate de Mozart folosite pentru validarea gramaticilor.**



Figura 2.7: **Primele 4 măsuri din sonata KV 494**

Prin aplicarea unui tratament identic celui aplicat eșantioanelor din Figura 2.2, rezultă secvențele din Figura 2.7 și din Figura 2.8. Interesant ar fi de văzut în ce măsură gramatica  $G_{M1}$  poate fi folosită pentru a genera secvențele anterioare.



Figura 2.8: Primele 4 măsuri din sonata KV 576

## 2.3 Etapa III: Definirea alfabetului țintă

O altă problemă - de fapt, esențială pentru configuraarea proiectului de față - este cea a definirii vocabularului destinație. Acest lucru se poate face prin extensia vocabularului sursă sau prin propunerea unui alt vocabular. Concret, în cazul utilizării gramaticilor, este vorba despre definirea terminalelor gramaticii destinație.

Luăm în considerare două modalități de redefinire:

- prin folosirea unor algoritmi simpli și reversibili de transformare, pornind de la alfabetul clasic
- prin folosirea unor algoritmi complecși și ireversibili de transformare pornind de la același alfabet clasic.

### 2.3.1 Algoritmi reversibili

#### Folosirea unor valori rar utilizate

Să considerăm, dintr-un exemplu anterior, celula din Figura 2.9 pe care o înlocuim cu, mult mai rara, formulă din Figura 2.10.



Figura 2.9:

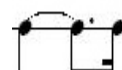


Figura 2.10:

Într-adevăr, în limbajul ritmurilor mozartiene această formulă este atipică, putând fi întâlnită doar în mod excepțional, ca unicat.

Din punct de vedere matematic, această extensie de limbaj, prin extensie de vocabular, înseamnă folosirea unor valori obținute prin însumarea unor puteri ale lui 2, ca în exemplul următor:

$$2^n + 2^{n-1} + 2^{n-2}$$

Prin această substituție, vocabularul ritmic extras din Mozart este prelungit cu formule aparținând limbajelor altor compozitori (din alte perioade stilistice). Se produce implicit o “spărtură” în omogenitatea limbajului de la care am pornit.

### Folosirea unor valori excepționale

Din același exemplu propunem o substituire mai marcantă: valorile egale de optimi din Figura 2.11 – șase la număr – sunt înlocuite cu trei grupuri, după cum urmează: triolet de optimi, cvintolet de șaisprezecimi, triolet de optimi (vezi Figura 2.12).



Figura 2.11:



Figura 2.12:

Din punct de vedere matematic, această extensie înseamnă folosirea unor valori de timp ce cad în intervalul dintre unele puteri ale lui 2:

$$2^n < 2^n + 1 < 2^{n+1}$$

Ruptura astfel realizată este mult mai mare, mai “spectaculoasă” față de obișnuințele ritmice mozartiene. Se intră în zona, mult ulterioară, a romanticilor și post-romanticilor.

### Folosirea unor serii neconvenționale

Seria ritmică folosită de Mozart (de toți clasicii) este numită convențională pentru că se bazează, în principal, pe puterile lui doi. Aceasta înseamnă că, pornind dela o valoare foarte mare (de exemplu, nota întreagă), prin împărțiri succesive cu 2, ajungem la o valoare extrem de mică, 128-imea. Considerând că nota întreagă se obține prin împărtirea cu  $2^0$ , ultima valoare se obține prin împărtirea cu  $2^7$ . Seria de numere folosită pentru a diviza nota întreagă este seria puterilor cu 2. Folosirea unor *serii neconvenționale* este o modalitate profitabilă de a extinde alfabetul gramaticii ţintă. Vom exemplifica prin folosirea seriei Fibonacci și a unor serii aleatoare.

**Seria Fibonacci:** Prin contrast cu datele clasice, o serie ritmică bazată, să spunem, pe binecunoscutul ſir al lui Fibonacci – 1, 1, 2, 3, 5, 8, 13, 21, ... – format dintr-o secvență de numere în care fiecare număr este egal cu suma celor două anterioare. O proprietate a acestui ſir este aceea că raportul a două numere succesive tinde către 1,618 – rădăcina pozitivă a ecuației  $x^2 - x - 1 = 0$  –, valoare cunoscută și sub numele de *secțiune de aur*.

Širul lui Fibonacci poate fi considerat o serie neconvențională, aproape neîntâlnită în muzica numită, generic, clasică. Atunci, seriei ritmice anterioare, construită prin divizarea cu puterile lui 2, i se va substitui o serie configurață prin împărtirea cu elementele ſirului Fibonacci (din care excludem a două apariție a lui 1). Rezultă următoarea corespondență, pornind de la seria convențională:

$$\begin{aligned}
 \text{notă întreagă } 1/2^0 &\rightarrow 1/1 \text{ nota întreagă} \\
 \text{doime } 1/2^1 &\rightarrow 1/2 \text{ doime} \\
 \text{pătrime } 1/2^2 &\rightarrow 1/3 \text{ doime de triolet} \\
 \text{optime } 1/2^3 &\rightarrow 1/5 \text{ pătrime de cvintolet} \\
 \text{șaisprezecime } 1/2^4 &\rightarrow 1/8 \text{ optime} \\
 &\dots
 \end{aligned}$$

Remarcăm următoarele lucruri:

- din când în când, elementele celor două ſiruri coincid (mai ales în prima parte a seriei)
- ſirul fibonaccian apare ca fiind mai neregulat în prima parte a seriei

- șirul fibonacian tinde, pentru valori mari, către o regularitate similară cu cea a seriei convenționale, cu deosebirea că raportul de 2 dintre două componente este înlocuit cu raportul de 1,618.

Rezultă și un al doilea mod de folosire: seria convențională a puterilor lui 2 este înlocuită cu seria puterilor *secțiunii de aur*. Va rezulta o serie de timp ce nu va putea fi executată decât de instrumente simulate computațional, pentru un public ce va trebui să accepte o tranziție culturală semnificativă.

**Serii aleatoare** O variantă extremă de generare a seriilor ritmice (frecvențiale sau de altă natură) este folosirea unor șiruri de numere aleatoare. Astfel, pornind de la 1, se însumează un șir de numere generate aleator pentru a se constitui seria neconvențională.

Spre exemplu, dacă se pornește de la seria de numere aleatoare: (3, 8, 5, 13, 2, 17) se obține seria temporală neconvențională aleatoare:

$$(1, 4, 12, 17, 30, 32, 49)$$

Pentru folosirea seriei ritmice rezultate avem două soluții. Execuția controlată de computer, care poate opera cu intervale de timp realizate cu o acuratețe ce depășește ușor capacitatea umană de a discernare. O a doua posibilitate este de a rotunji valorile aleator obținute prin valori convenționale sau prin valori ce pot fi găsite într-o serie neconvențională mai puțin complexă (de tip Fibonacci, spre exemplu).

**Nota bene:** Am prezentat regulile de construcție a seriilor numerice pe care se bazează structurarea alfabetelor muzicale folosite (cu exemplificări date numai în domeniul ritmurilor). Aceste reguli au generat serii din ce în ce mai complexe. Este o tendință normală ce sprijină creșterea expresivității discursului muzical. Dar utilizarea seriilor neconvenționale trebuie făcută cu moderată care permite creșterea complexității discursului muzical numai în limitele în care obiectul sonor nu se apropiie periculos de zona purului aleator, de zona “zgomotului” ce exclude total orice formă de sintaxă, semnificație sau sens.

Sintaxa conferă coerență internă, semnificațiile păstrează o conexiune cu spațiul cultural în care discursul muzical are loc, pe când sensul muzical transcende orice referent, constituind astfel “conținutul” ultim al demersului muzical. Sensul se sprijină pe *redundanța* dată de semnificațiile intrupate în

paradigme culturale ce nu pot fi excluse complet. O altă formă de manifestare a *redundanței* este dată de elementele sintactice care nu trebuie să rămână complet transparente receptorului.

### 2.3.2 Algoritmi ireversibili

În această secțiune, ne vom abate de la domeniul ritmului muzical, pe care l-am abordat până acum, pentru a trece în acela al frecvențelor. Considerăm că, pentru ceea ce vom prezenta în continuare, este mai convenabil acest procedeu. Transformările ireversibile prin care se poate construi un alfabet întă vor fi exemplificate în domeniul frecvențelor.

**Exemplul 2.1** *Fie organismul sonor reprezentat de spectrul de armonice impare*

$$[1^0, 3^0, 5^0, \dots, 31^0] = [16, 5\text{Hz}, 49, 5\text{Hz}, 82, 5\text{Hz}, \dots, 511, 5\text{Hz}]$$

*al unei fundamentale, fie aceasta 16, 5 Hz. Transformarea pe care o avem în vedere constă din:*

- *generarea unui spectru intermediar ce conține numai componente realizate prin însumarea unui număr impar de componente, selectate aleator, ale spectrului initial; spre exemplu:  $[(1^0 + 5^0 + 11^0), (3^0 + 7^0 + 13^0 + 1^0 + 5^0 + 17^0 + 21^0), \dots]$*
- *spectrul intermediar obținut este transformat în continuare prin împărțirea componentelor sale cu puteri întregi, alese aleator, ale lui 2.*

*Rezultatul final este spectrul următor:*

$$[140, 25\text{Hz}, 264\text{Hz}, \dots]$$

*Se observă faptul că spectrul obținut este inarmonic, în sensul că posedă componente care sunt multipli neîntregi ai fundamentalei.*

*Se observă, de asemenea, că spectrul obținut este ireversibil, în sensul că nu putem indica modul în care a fost obținut.*

◊

Pentru a obține **restrângerea** domeniului în care parametrii organismului sonor iau valori, la un interval dat,  $(min, max)$ , propunem completarea exemplului anterior după cum urmează.

**Exemplul 2.2** Fie organismul sonor reprezentat de spectrul de armonice impare

$$[1^0, 3^0, 5^0, \dots, 31^0] = [16, 5\text{Hz}, 49, 5\text{Hz}, 82, 5\text{Hz}, \dots, 511, 5\text{Hz}]$$

al unei fundamentale, fie aceasta  $16, 5\text{Hz}$ . Transformarea pe care o avem în vedere constă din:

- generăm un spectru intermediar ce conține numai componente realizate prin însumarea unui număr impar,  $p$ , de componente, stabilit aleator, ale spectrului inițial; spre exemplu:  $[(1^0 + 5^0 + 11^0), (3^0 + 7^0 + 13^0 + 1^0 + 5^0 + 17^0 + 21^0), \dots]$
- spectrul intermediar obținut este transformat în continuare prin împărțirea componentelor sale cu  $2^p$ , unde  $p$  a fost asociat, în primul pas, fiecărei componente a acestui spectru intermediar
- din spectrul obținut se păstrează numai componente din intervalul de parametri stabilit de la început, fie acesta, pentru exemplul nostru:  $(\min, \max) = (20\text{Hz}, 120\text{Hz})$

Rezultatul etapei a 2-a este spectrul următor:

$$[((1+5+11)/2^3) \times 16, 5\text{Hz}, ((3+7+13+1+5+17+21)/2^7) \times 16, 5\text{Hz}, \dots] = \\ [35, 0625\text{Hz}, 11, 2148\text{Hz}, \dots]$$

iar în etapa a 3-a reținem numai:

$$[35, 0625\text{Hz}, \dots]$$

◊

Un al doilea exemplu, care conduce la rezultate asemănătoare, se bazează pe metoda concepută de acusticianul și muzicianul John Chowning [16] [17]. În substanță, Chowning construiește spectre de inarmonice ce conțin frecvențe de forma:

$$f_n = f_0 \pm f_m$$

unde:  $f_0$  este frecvența purtătoare (modulată), iar  $f_m$  este frecvența modulantă.

**Exemplul 2.3** Fie  $f_0$  o frecvență aflată la jumătatea ambitusului dintre cea mai joasă frecvență (fundamentală) și cea mai înaltă care a fost aleasă în spectrul inițial din exemplul anterior ( $31^0$ ). Rezultă că  $f_0$ , semnalul modulat, va lua o valoare în jurul frecvenței  $(31^0 - 1^0)/2 = (30 \times 16,5\text{Hz})/2 = 247,5$ , care reprezintă exact armonicul  $15^0$ .

Semnalul modulator trebuie să fie obligatoriu un inarmonic în raport cu  $f_0$ . Pentru a fi siguri, vom lua o frecvență din spectrul de inarmonice construit în exemplul anterior. Fie aceasta  $f_m = 35,0625\text{Hz}$ . Spectrul rezultat va fi generat de relația:

$$f_n = 247,5\text{Hz} \pm n \times 35,0625\text{Hz}$$

unde  $n$  este un întreg pozitiv. Rezultă spectrul:

$$[\dots 177,37\text{Hz}, 212,43\text{Hz}, \mathbf{247,5\text{Hz}}, 282,56, 317,625\text{Hz}, \dots]$$

care este limitat la stânga la valori mai mari decât  $16,5\text{Hz}$  – pragul frecvențelor audibile – iar la dreapta de plafonul spectrului utilizabil.

În aplicațiile concrete, spectrul obținut poate fi supus unei limitări (filtrări) prin care o serie de componente sunt eliminate.

◊

## 2.4 Etapa IV: Definirea regulilor de producție ţintă

Revenim, pentru cele ce urmează, la domeniul valorilor, adică la domeniul ritmurilor. Definirea unei gramatici ţintă se împlinește ca funcție prin definirea mulțimii regulilor de producție. Acest lucru se poate obține în mai multe moduri:

- generarea prin extinderea setului de reguli
- generarea prin însumarea unor seturi de reguli
- generarea unor multimi de reguli ce conțin perechi regulă-probabilitate (gramatici markoviene)

Cele trei moduri anterior enunțate pot fi folosite ca atare sau mixate.

### 2.4.1 Extinderea unei gramatici

Ne vom referi numai la obținerea unei noi gramatici prin mărirea numărului de reguli. O implicație, în majoritatea cazurilor obligatorie, este mărirea mulțimii neterminalelor și terminalelor.

**Exemplul 2.4** *Fie gramatica definită prin următoarea mulțime de producții:*

$$P = \{S \rightarrow Aa, A \rightarrow Ba, B \rightarrow b | Bb\}$$

*O extindere posibilă este următoarea:*

$$P = \{S \rightarrow Aa, A \rightarrow Ba | Aa, B \rightarrow b | Bb\}$$

*la care am adăugat posibilitatea generării unui număr oricât de mare de auri.*

◊

**Exemplul 2.5** *Fie gramatica definită prin următoarea mulțime de producții:*

$$P = \{S \rightarrow Aa, A \rightarrow Ba, B \rightarrow b | Bb\}$$

*O extindere posibilă este următoarea:*

$$P = \{S \rightarrow Aa, A \rightarrow Ba, B \rightarrow b | Bb | BC, C \rightarrow Cc | c\}$$

*în acest caz, mulțimea inițială a neterminalelor –  $\{S, A, B\}$  – s-a îmbogățit devenind  $\{S, A, B, C\}$  –  $\{S, A, B\}$  –, iar mulțimea terminalelor –  $\{a, b\}$  – a devenit –  $\{a, b, c\}$ .*

◊

Acest tip de extindere nu afectează esența structurilor din limbajul ţintă. Propune numai “ramificații” suplimentare.

### 2.4.2 Însumarea gramaticilor

Un procedeu mai complex de generare a unei gramatici ţintă este cel de *însumare a gramaticilor*. Procedeul constă din reuniunea mulțimilor ce caracterizează gramaticile “însumate”.

**Exemplul 2.6** Fie gramaticile:

$$G_1 = (\{S, A\}, \{a, b\}, \{S \rightarrow aA, A \rightarrow aA|b\}, S)$$

$$G_2 = (\{S, B\}, \{b, c\}, \{S \rightarrow b|bB, B \rightarrow cB|c\}, S)$$

Suma lor va fi:

$$G = (\{S, A, B\}, \{a, b, c\}, \{S \rightarrow aA|b|bB, A \rightarrow aA|b, B \rightarrow cB|c\}, S)$$

◊

Efectul scontat este generarea unor structuri lingvistice cu valențe expressive lărgite. Procedeul trebuie aplicat condiționat de faptul că gramaticile “însumate” nu pot fi complet incongruente între ele.

### 2.4.3 Gramatici probabiliste

Până în acest moment, probabilitatea aplicării unei reguli era identică pentru toare elementele mulțimii  $P$ . Dacă, spre exemplu, cardinalul lui  $P$  era 5, atunci toate regulile aveau o ocurență egală cu probabilitatea  $1/5$ . În cele ce urmează, vom lua în considerare cazul mai realist în care regulile de producție sunt aplicate cu probabilități inegale. Adică, mulțimea  $P$  este definită ca o mulțime de perechi  $(r_i, p_i)$ , unde  $r_i$  reprezintă o regulă de producție, iar  $p_i$  probabilitatea de a fi aplicată.

**Exemplul 2.7** Să reluăm gramatica anterior construită pentru eșantioanele mozartiene alese:

$$G_{M1} = (\{S, A, B, C\}, \{1, 2, 3, 4, 6\}, P, S)$$

unde:  $P$  conține următoarele reguli de producție:

$$S \rightarrow ABA$$

$$A \rightarrow AAC A$$

$$B \rightarrow BC | CB$$

$$C \rightarrow CD$$

$$A \rightarrow 42$$

$$B \rightarrow 31$$

$$C \rightarrow 1111$$

$$D \rightarrow 2222$$

*Observația pe care o putem face, reexaminând eșantioanele considerate, este că aceste reguli sunt aplicate cu ocurențe inegale. Putem propune, cu aproximare, următoarea asociere probabilistică, reformulând multimea  $P$  sub formă de perechi (producție, probabilitate), după cum urmează:*

$$(S \rightarrow ABA)$$

$$(A \rightarrow AAC(0, 6) | 42(0, 4))$$

$$(B \rightarrow BC(0, 2) | CB(0, 5) | 31(0, 3))$$

$$(C \rightarrow CD(0, 45), | 1111(0, 55))$$

$$(D \rightarrow 2222)$$

◊

Initial am vorbit despre gramatici în care aplicarea producțiilor se putea face echiprobabil. Aceasta oferea o libertate care scotea rezultatele de sub orice implicare tehnico-stilistică. Din aceste rațiuni am introdus un prim nivel de restricții. Fără acesta, rezultatul generării s-ar dispersa într-un spațiu mult prea extins.

Probabilitățile asociate se pot stabili în cel puțin două feluri:

- funcție de materialul ales pentru stabilirea gramaticii sursă, prin raportare la rezultatele obținute prin parsare
- funcție de strategia decizională aleasă prin poziționarea față de gramatica sursă

#### 2.4.4 Probleme

În această secțiune, se propun câteva exerciții simple de aplicare a procedurilor anterior descrise.

**Problema 2.1** O primă aplicație se referă la cele două sonate suplimentare - KV 494 și KV 576. Iată, translatarea numerică a structurilor celor două partituri (e vorba de prima frază - mâna dreaptă – a lor):

2 1 1 1 1 1 1 1 1 2 2 4 1 1 1 1 1 1 1 1 1 6 (4)

2 2 2 2 2 2 4 2 2 4 1 1 4 1 1 4 1 1 6 (5)

*Se observă, imediat, că vocabularul rămîne același.*

*Încercați parsarea acestor două secvențe, folosind gramatica anterior definită. În cazul în care nu reușiti, propuneți modificări până când parsarea reușește.*

◊

**Problema 2.2** *Cele trei exemple de la început (sonatele KV 331, 332, 570) vor fi transformate în structuri ritmice diferite, prin folosirea procedeelor prezentate în secțiunea 2.3.1 Algoritmi reversibili.*

◊

## 2.5 Etapa V: Traducerea în limbajul ţintă

Pentru început, vom traduce unul din fragmentele, alese anterior, pentru definirea gramaticii mozartiene, aşa cum am evidențiat-o folosind eșantioanele selectate în etapa I.

În continuare, vom considera un eșantion suplimentar, deja prezentat în 2.2, pentru a-l traduce în aceeași gramatică ţintă.

### 2.5.1 Traducerea fragmentului din KV 332

Pornim de la gramatica extrasă în Etapa II. O reamintim:

$$G_{M1} = (\{S, A, B, C\}, \{1, 2, 3, 4, 6\}, P, S)$$

unde:  $P$  conține următoarele reguli de producție numerotate pentru a facilita procesul de parsare:

$$R1 : S \rightarrow ASA$$

$$R2 : S \rightarrow AA$$

$$R3 : A \rightarrow BC$$

$$R4 : A \rightarrow CB$$

$$R5 : A \rightarrow 6$$

$$R6 : B \rightarrow 4$$

$$R7 : B \rightarrow 31$$

$$R8 : B \rightarrow 22$$

$$R9 : B \rightarrow 1111$$

$$R10 : C \rightarrow 2$$

$R11 : C \rightarrow 11$

Pentru a obține cea mai simplă translatare, vom defini o gramatică nouă realizată numai prin extinderea mulțimii  $P$ , după cum urmează:

$$G_{M2} = (\{S, A, B, C\}, \{1, 2, 3, 4, 6\}, P, S)$$

unde:  $P$  conține următoarele reguli de producție:

- $D1 : S \rightarrow ASA$
- $D2 : S \rightarrow AA$
- $D3 : A \rightarrow BC$
- $D4 : A \rightarrow CB$
- $D5 : A \rightarrow 6$
- $D6 : A \rightarrow 111111$
- $D7 : A \rightarrow 21111$
- $D8 : B \rightarrow 4$
- $D9 : B \rightarrow 22$
- $D10 : B \rightarrow 31$
- $D11 : B \rightarrow 22$
- $D12 : B \rightarrow 1111$
- $D13 : C \rightarrow 2$
- $D14 : C \rightarrow 11$

Se observă imediat că au fost extinse numai regulile care generau substituția finală a terminalelor, în acest fel *pattern*-ul de bază nu este “atacat” organic.

Corespondența dintre mulțimile  $P_1$  și  $P_2$  este următoarea:

$$\begin{aligned} R1 &\Rightarrow D1 \\ R2 &\Rightarrow D2 \\ R3 &\Rightarrow D3 \\ R4 &\Rightarrow D4 \\ R5 &\Rightarrow D5 \mid D6 \mid D7 \\ R6 &\Rightarrow D8 \mid D9 \\ R7 &\Rightarrow D10 \\ R8 &\Rightarrow D11 \\ R9 &\Rightarrow D12 \\ R10 &\Rightarrow D13 \\ R11 &\Rightarrow D14 \end{aligned}$$

Se poate estima că, prin această extensie, vom obține ramificații de aceeași natură cu cele de la care s-a pornit, însă lărgite și/sau îmbogățite.

Vom alege pentru translatare structura ritmică a primelor 7 măsuri din sonata KV 332 reprezentate în Figura 2.13:

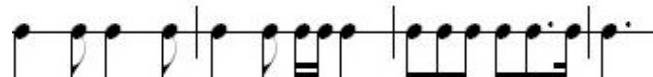


Figura 2.13: Primele măsuri din sonata KV 332

Reprezentarea lor numerică este următoarea:

4 2 4 2 4 2 11 4 | 2 22 2 31 6

Vom realiza următoarea secvență de operații asupra sirului anterior:

1. parsarea după gramatica  $G_{M1}$ , din care rezultă sirul de reguli  $R_1$
2. determinarea sirului de reguli corespunzătoare în  $G_{M2} - R_2$
3. aplicarea sirului  $R_2$  simbolului de start, pentru obținerea rezultatului traducerii.

### Parsarea

Folosind programul *ANTLRWorks* din Anexa 1, rezultă următoarea secvență de reguli aplicate în  $G_{M1}$ , pornind din  $S$  pentru a genera sirul de tradus:

R1 R1 R1 R2 R3 R3 R3 R4 R3 R4 R6 R10 R6 R10 R6 R01 R11 R6  
R8 R10 R10 R7 R5 R5

Pentru a verifica corectitudinea sirului de reguli obținut, le vom aplica simbolului de start  $S$  și vom obține următoarea secvență de generare:

R1:	ASA
R1:	AASAA
R1:	AAASAAA
R2:	AAAAAAA
R3:	BCAAAAAA
R3:	BCBCAAAAA
R3:	BCBCBCAAAA
R4:	BCBCBCCAAAA

---

R3: BCBCBCCBBCAAA  
 R4: BCBCBCCBBCBAA  
 R6: 4CBCBCCBBCBAA  
 R10: 42BCBCCBBCBAA  
 R6: 424CBCCBBCBAA  
 R10: 4242BCCBBCBAA  
 R6: 42424CCBBCBAA  
 R10: 424242CBBCBAA  
 R11: 42424211BBCBAA  
 R6: 424242114BCCBAA  
 R8: 42424211422CCBAA  
 R10: 424242114222CBAA  
 R10: 4242421142222BAA  
 R7: 424242114222231AA  
 R5: 4242421142222316A  
 R5: 42424211422223166

### **Construirea liste de reguli corespondente**

Folosind corespondența, anterior stabilită, între regulile de tip  $R_i$  și  $D_j$ , obținem următorul tabel:

R1:	D1
R1:	D1
R1:	D1
R2:	D2
R3:	D3
R3:	D3
R3:	D3
R4:	D4
R3:	D3
R4:	D4
R6:	D8 (selectat din D8   D9)
R10:	D13
R6:	D9 (selectat din D8   D9)
R10:	D13
R6:	D8 (selectat din D8   D9)
R10:	D13

```

R11: D14
R6: D9 (selectat din D8 | D9)
R8: D11
R10: D13
R10: D13
R7: D10
R5: D7 (selectat din D5 | D6 | D7)
R5: D5 (selectat din D5 | D6 | D7)

```

### **Generarea șirului tradus**

```

D1 : ASA
D1 : AASAA
D1 : AAASAAA
D2 : AAAAAAAA
D3 : BCBBBBBB
D3 : BCBCAAAAAA
D3 : BCBCBCCBAA
D4 : BCBCBCCBAA
D3 : BCBCBCCBCCBAA
D4 : BCBCBCCBCCBAA
D8 : 4CBCBCCBCCBAA
D13: 42BCBCCBCCBAA
D9 : 4222CBCCBCCBAA
D13: 42222BCCBCCBAA
D8 : 422224CCBCCBAA
D13: 4222242CBBCCBAA
D14: 422224211BBCCBAA
D9 : 42222421122BCCBAA
D11: 4222242112222CCBAA
D13: 42222421122222CBAA
D13: 422224211222222BAA
D10: 4222242112222224AA
D7 : 422224211222222421111A
D5 : 4222242112222224211116

```

4 2 22 2 4 2 11 22 22 2 2 4 2 1111 6

### 2.5.2 Traducerea unor fragmentelor suplimentare

Reprezentarea numerică a unuia din cele două fragmente (KV 494) este:

2 | 1111 1111 | 224 | 1111 1111 | 6

Se observă două aspecte care nu pot fi generate de gramatica  $G_{M1}$ :

- prezența *auftakt*-ului
- simetria manifestată cu un centru actual, nu virtual, ca în primele trei exemple folosite pentru a defini gramatica. Este vorba de un grup BC sau CB care este, tocmai, *axă de simetrie*.

În virtutea acestor observații, apare necesitatea completării gramaticii  $G_{M1}$ , după cum urmează:

$$G_{M2} = (\{S, A, B, C, D\}, \{1, 2, 3, 4, 6\}, P, S)$$

unde:  $P$  conține următoarele reguli de producție:

$$R1 : S \rightarrow DASA$$

$$R2 : S \rightarrow ASA$$

$$R3 : S \rightarrow AA$$

$$R4 : S \rightarrow A$$

$$R5 : A \rightarrow BC$$

$$R6 : A \rightarrow CB$$

$$R7 : A \rightarrow 6$$

$$R8 : B \rightarrow 4$$

$$R9 : B \rightarrow 31$$

$$R10 : B \rightarrow 22$$

$$R11 : B \rightarrow 1111$$

$$R12 : C \rightarrow 2$$

$$R13 : C \rightarrow 11$$

$$R14 : D \rightarrow 1$$

$$R15 : D \rightarrow 2$$

Am adăugat următoarele reguli de producție:

$S \rightarrow DASA$  pentru a permite parsarea unei secvențe ce începe cu *auftakt*

$S \rightarrow A$  pentru a permite un centru actual de simetrie

$D \rightarrow 1|2$  pentru a concretiza *auftakt*-ul.

Cu aceste adăosuri, considerăm că ambele eșantioane suplimentare pot fi parsate cu succes.

## 2.6 Concluzii

Demersul expus pînă acum are următoarea logică: structurile unui discurs omologat de către istoria muzicii (în ocurență, sonatele pentru pian solo de W. A. Mozart, din care au fost decupate doar structurile ritmice) au fost analizate în vederea stabilirii unor gramatici generative de tip doi, în vederea extinderii acestora prin serii de vocabular și de sintaxă cât mai cuprinzătoare, mai îndepărtate de modelul original.

Cum am mai arătat, prelevarea paradigmatică a textelor alese realizează stabilirea alfabetului, vocabularului, apoi stabilirea regulilor sintagmatice - gramatica - și punctul de start. Apoi, se pregătește un nou vocabular și un nou set de reguli.

Schema procesului este următoarea:

- analiza textului clasic (în ocurență, sonatele pentru pian de Mozart)
- stabilirea vocabularului acestuia
- se regăsește un vocabular nou și un nou set de reguli. Vocabulatul  $V$  devine vocabularul  $V'$
- setul reguli  $G$  devine setul reguli  $G'$
- limbajul sursă  $L(V, G, S)$  devine limbajul destinație  $L'(V', G', S')$ .

# Capitolul 3

## Fractali

Fractalii reprezintă o încercare de a stăpâni complexitatea reală prin mijloace algoritmice ce iau în considerare numai o complexitate aparentă. Abordarea de tip fractal mai pornește de la ipoteza că realitatea posedă și o foarte fină organizare ierarhică ce conservă o aceeași structură la toate nivelurile. Studiul fractal conservă astfel două “obsesii” ale culturilor abrahamice (mozaică, creștină și islamică): *simplitatea profunzimilor* (absolute și abstracte) și organizarea ierarhică de tip “*as above, so below*”<sup>1</sup>.

În acest capitol, vom porni de la definirea *complexității* și a *complexității aparente* pentru a putea trata fractalii drept o modalitate de a aproxima complexitatea reală prin cea aparentă, atunci când acest lucru este posibil sau util. Demersurile din categoria creației de tip artistic pot beneficia de teoria fractalilor care permite controlul complexității în vederea adaptării ei la capacitatea umană de creație, interpretare și percepție.

### 3.1 Complexitate

Complexitatea este un concept la fel de dificil de definit ca timpul, forma, spațiul, informația și multe alte concepte pe care le folosim cu nonșalanță, cu toate că nu posedăm definiții riguroase unanim acceptate. Ne vom mulțumi, din acest motiv, cu măsura complexității, care este mai ușor de definit. O vom folosi mai apoi pentru a defini, aproape riguros, ce înțelegem printr-o realitate complexă.

---

<sup>1</sup> *Emerald Tablet*.

### 3.1.1 Complexitatea algoritmică

În deceniul 7 al secolului al XX-lea, Ray Solomonoff [34], Andrey Nikolaevich Kolmogorov [24] și Gregory Chaitin [4] au definit în mod independent **complexitatea algoritmică**. Redăm mai jos, după o lucrare a lui Chaitin [5], prin căte o întrebare sintetică, propunerile celor trei matematicieni referitor la ideea de măsură a complexității.

**Solomonoff se întreabă:** *cum se poate construi o teorie pornind de la un sir de măsurători realizate într-un experiment desfășurat asupra unei relații riguroas și limitate? Solomonof evidențiază două soluții limită:*

- în sirul de date obținut se poate pune în evidență un anumit pattern ce va fi declarat ca reprezentând legea ce guvernează procesul investigat; cercetătorul poate publica o lucrare în care comunică pattern-ul descoperit.
- în sirul de date obținut nu se poate pune în evidență un anumit patern, caz în care nu se poate identifica, din perspectiva datelor disponibile, o legătură ce ar guverna procesul supus investigației; cercetătorul poate publica o lucrare, dacă i se acceptă, o lucrare în care listează sirul de date obținut prin experimentul desfășurat, cu speranța că altcineva va fi în stare să evidențieze un pattern.

**Kolmogorov se întreabă:** *care este diferența dintre următoarele două siruri binare, de lungime  $n$ , echiprobabile într-un experiment prin care sunt determinate aleator?*

secventa\_1: 01001011101010010101101001011010...

secventa\_2: 01100110011001100110011001100110...

Teoria clasică a probabilității, la care Kolmogorov avusea contribuții majore, statusează faptul că cele două siruri de biți apar, într-un experiment “condus” aleator, cu probabilități egale. Și totuși, la 62 de ani distinsul savant are sentimentul că cel de al doilea sir pare a avea o caracteristică ce nu poate fi ignorată; căci pentru faptul că poate fi memorat cu ușurință, în comparație cu primul care necesită un efort special. Teoria la care contribuise decisiv trebuia completată cu posibilitatea de a distinge în astfel de situații.

Pentru cel de al doilea sir binar Kolmogorov consideră, în [24], că există o funcție ce-l poate genera, spre deosebire de primul sir pentru care o astfel de funcție nu poate fi definită.

**Chaitin se întreabă:** *care este cel mai scurt program care generază o anumită secvență binară?* În cazul celor două secvențe binare anterioare, rezultă următoarele programe. Pentru **secventa\_1** programul cel mai scurt este următorul:

```
print: 01001011101010010101101001011010...
```

Lungimea programului rezultat este proporțională cu cea a sirului generat, pentru că suntem obligați să listăm explicit în program sirul de generat. Pentru **secventa\_2** programul cel mai scurt este următorul:

```
print n times: 0110
```

Lungimea programului rezultat este proporțională cu logaritmul din lungimea sirului generat, deoarece valoarea  $n$  este scrisă cu un număr de simboluri ce este proporțional cu  $\log n$ .

Chaitin conchide: complexitatea secvenței **secventa\_1** este mare și dependentă de dimensiunea  $n$  a sirului generat, în timp ce complexitatea secvenței **secventa\_2** este mult mai mică, proporțională cu  $\log n$ . Formal, scriem:

$$C_{\text{secventa\_1}} \in O(n)$$

$$C_{\text{secventa\_2}} \in O(\log n)$$

în timp ce dimensiunile (size) celor două secvențe sunt egale și aparțin aceluiași ordin de mărime, după cum urmează:

$$S_{\text{secventa\_1}} = S_{\text{secventa\_2}} \in O(n)$$

Cred că suntem acum pregătiți pentru a încerca definiții riguroase referitor la complexitate.

**Definitia 3.1** *Complexitatea algoritmică a unei realități date este proporțională cu lungimea celei mai scurte descrierii (a celui mai scurt program) care poate genera acea realitate.*

◊

Intuitiv, trebuie să acceptăm faptul că o realitate este cu atât mai complexă cu cât cea mai mică descriere a acestei realități este mai concisă. Se demonstrează faptul că nu există un procedeu formal care să ne garanteze în orice caz real faptul că am ajuns la ceea mai scurtă descriere simbolică. În funcție de simbolurile și de limbajul folosit, măsura complexității poate varia. Aceasta este motivul pentru care, în definiția anterioară, am folosit expresia *este proporțională* în loc de *este*.

Dacă ne referim la descrierea printr-o procedură de generare, intrupată într-un program, este evident faptul că vom estima complexitatea unei realități oarecare prin lungimea, exprimată în număr de caractere, a unui program.

**Definitia 3.2** *O realitate este simplă dacă are dimensiunea în  $O(f(n))$  și complexitatea algoritmică în  $O(g(n))$ , unde funcția  $f(n)$  crește cel puțin polinomial, iar funcția  $g(n)$  crește cel mult logaritmice.*

◊

Conform acestei definiții, pentru un  $n > n_0$ , realitatea  $R$  are întotdeauna dimensiunea mult mai mare decât complexitatea. Adică:

$$S_R(n) \gg C_R(n)$$

pentru  $n > n_0$ , dacă  $R$  este simplu.

**Definitia 3.3** *O realitate este complexă dacă are dimensiunea în  $O(f(n))$  și complexitatea algoritmică în  $O(g(n))$ , unde funcțiile  $f(n)$  și  $g(n)$  cresc cel puțin polinomial.*

◊

Rezultă că, pentru o realitate complexă,  $R$ , este îndeplinită condiția:

$$S_R(n) \sim C_R(n)$$

pentru  $n > n_0$ . Dacă “povestea” care descrie realitatea  $R$  este realizată cu un “text” având o lungime care este în același ordin de mărime cu dimensiunea realității  $R$ , atunci  $R$  este complexă.

O tablă de řah are un desen ce poate fi descris printr-o explicație foarte scurtă, pe când un tablou al lui Dali presupune o poveste ce se poate întinde și până dincolo de răbdarea ascultătorilor. Vom fi deci acord că o tablă de řah este simplă, pe când un tablou de Dali este complex.

Vom evita, astfel, o serie de confuzii, încă prezente în manuale, dintre *size* –  $S(n)$  – și *complexity* –  $C(n)$ .  $S(n)$  se referă la *dimensiunea realității*, pe când  $C(n)$  se referă la *dimensiunea descrierii* acelei realități. În ambele cazuri avem de a face cu măsuri ce se pot exprima cantitativ.

Dar, ***ce este complexitatea?*** Această întrebare rămâne o întrebare deschisă! Ca și în cazul timpului, pe care-l măsurăm cu precizii incredibil de mari, în cazul complexității avem posibilitatea de a o măsura, fără a ști cu rigurozitate *ce* măsurăm. Trebuie să ne mulțumim cu sugestiile metaforice ale unui cuvât din ce în ce mai folosit. Poate că expresivitatea și, prin aceasta, utilitatea lui constă tocmai în caracterul lui metaoric, pe care-l menținem, inconștient poate, din rațiuni subtile legate de felul în care mentalul nostru funcționează.

### 3.1.2 Complexitatea aparentă

Realitățile pe care reușim să le descriem formal nu se încadrează strict în două categorii, cea a realităților simple și cea a realităților complexe. Se mai poate evidenția o formă de complexitate diferită. Nu neapărat intermediară. Este vorba despre realități a căror complexitate depinde de “punctul de vedere” din care este investigată. Este vorba despre ceea ce vom numi realități *aparent complexe*.

Complexitatea aparentă caracterizează realități cu următoarele proprietăți:

- sunt realități generate folosind reguli descrise prin secvențe constante sau cel mult cu dimensiune logaritmică
- regula de generare nu poate fi dedusă, sau nu poate fi dedusă ușor, din analiza formală a realității generate.

Complexitatea aparentă caracterizează realități simple care au o aparență complexă pentru cei ce nu cunosc regula de generare. Multă consideră că întreaga realitate este aparentă complexă, datorită faptului că *încă* nu am reușit să descoperim regulile simple care o generează sau guvernează. Existența multor situații, în care complexitatea se dovedește ca fiind într-adevăr aparentă, face ca această opinie să domine spații culturale vaste.

Vom exemplifica cu câteva cazuri în care, într-adevăr, nivelul de complexitate efectiv este inaccesibil celor aflați pe poziția de spectatori. “Păpușarii” știu, însă, cât de mică este complexitatea reală.

**Exemplul 3.1** Fie configurația de biți din Figura 3.1 care este generată de un sistem digital a cărui ieșire a fost inițializată la valoarea  $0^{58}10^{58}$ . În fiecare ciclu de evoluție ieșirea de 117 biți se modifică. Secvența binară obținută are o evoluție foarte complexă, în sensul că nu poate fi pus în evidență ușor mecanismul intern de generare. Comportamentul aparent neperiodic ne sugerează o complexitate mare. Însă, pentru cine cunoaște mecanismul de generare, lucrurile devin foarte simple. Într-adevăr, secvența din Figura 3.1 este generată de un automat celular linear cu structura și funcția descrise de următorul cod Verilog:

```
module linearCellularAutomaton #(parameter n = 117)
    (output reg [n-1:0] out ,
     input  [n-1:0] in ,
     input      init, clock);
    always @ (posedge clock)
        if (init) out      <= in ;
        else      out[n-2:1] <= (out[n-2:1] | out[n-3:0]) ^ out[n-1:2];
endmodule
```

Funcția implicată este o simplă funcție logică de trei variabile

$$(A + B) \oplus C$$

care este efectuată în fiecare element al unei structuri celulare (pentru detalii se va consulta [39] secțiunea 11.2). Codul, de dimensiune constantă (fie-ne permis să ignorăm faptul că pentru a exprima valoarea parametrului  $n$  folosim un număr de simboluri care crește logaritmic), ce apare între module și endmodule descrie o matrice bidimensională de biți ce se poate extinde oricât de mult.

În aplicații industriale, o coloană cu lățimea de  $m$  biți poate fi considerată, cu bună aproximație, o secvență aleatoare de numere reprezentate pe  $m$  biți.

◊

**Exemplul 3.2** Vom relua exemplul anterior cu o modificare minoră la nivelul definiției:

```
module linearCellularAutomaton #(parameter n = 95)
    (output reg [n-1:0] out ,
     input  [n-1:0] in ,
```

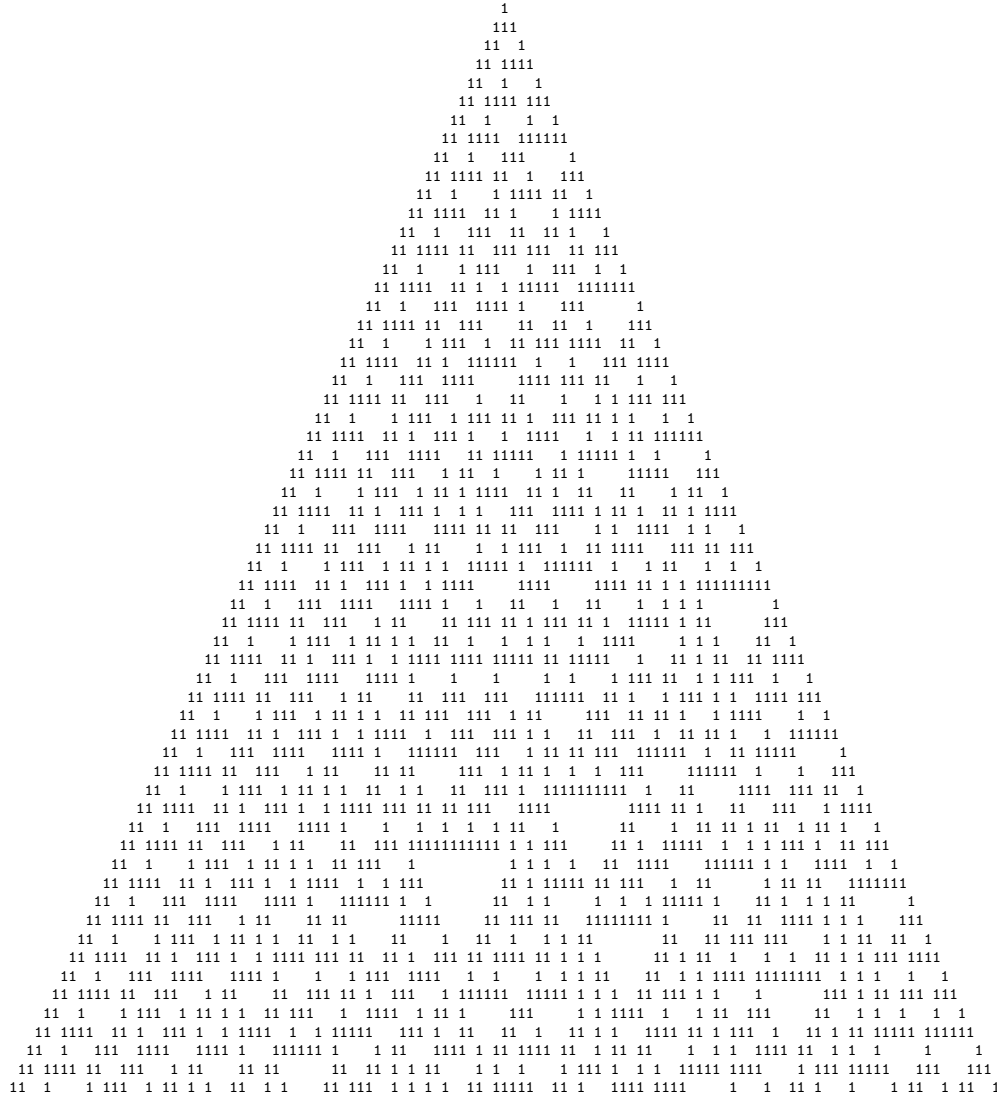


Figura 3.1: Comportarea aparent complexă a unei structuri celulare simple.

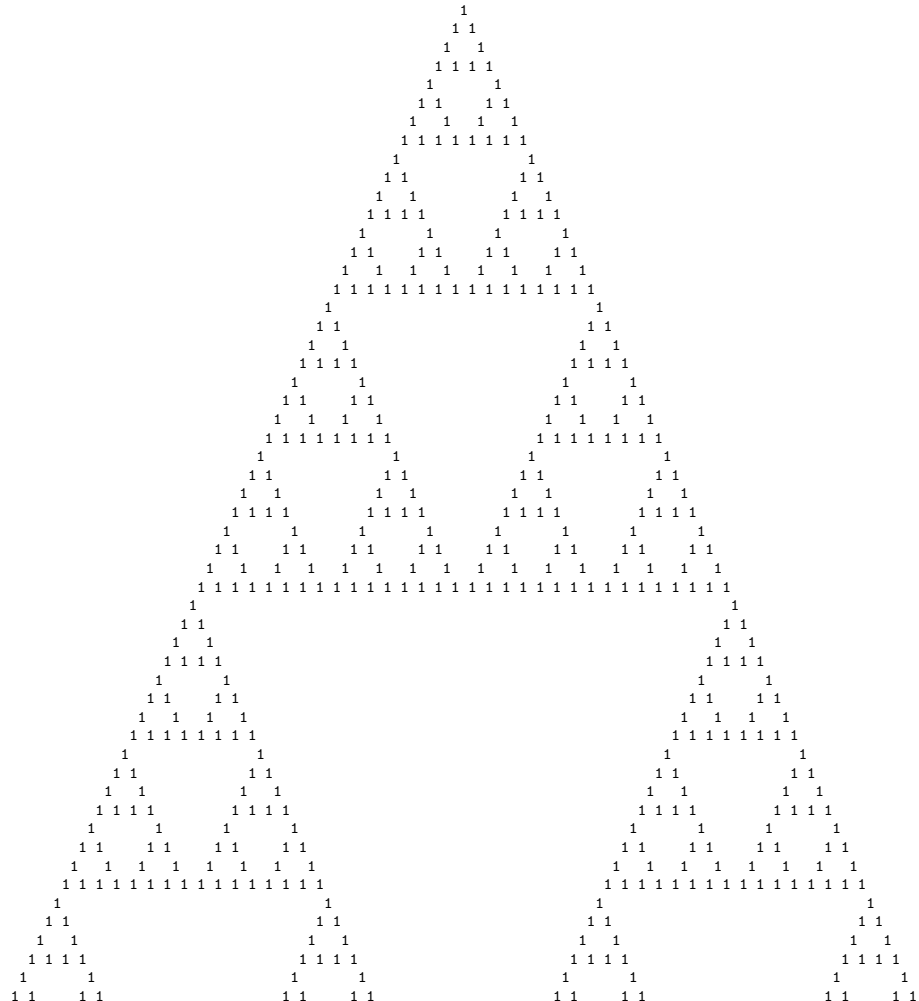


Figura 3.2: Triunghiul lui Sierpinski generat de un automat celular linear.

```

    input init , clock);

    always @(posedge clock)
        if (init) out <= in           ;
        else      out[n-2:1] <= out[n-3:0] ^ out[n-1:2];
endmodule

```

*Functia*

$$(A + B) \oplus C$$

implicată în fiecare celulă, în exemplul anterior, a fost substituită cu

$$B \oplus C$$

Rezultă configurația de biți din Figura 3.2. Este triunghiul lui Waclaw Sierpinski, matematician polonez, care a propus-o în 1915. Configurația de biți obținută nu mai este aleatoare, dar este de o complexitate greu justificabilă prin codul simplu care a generat-o.

◊

Diferența cantitativă dintre cele două descrieri anterioare în Verilog nu-și poate găsi justificarea în diferența de complexitate aparentă a configurațiilor generate. Complexitatea reală a celor două configurații – dimensiunea definițiilor – este aproape identică, pe când aparențele sunt semnificativ distincte.

Triunghiul lui Sierpinski conține un pattern, dar este vorba despre un pattern cu o evoluție dinamică, greu de surprins chiar într-o exprimare într-un limbaj natural. Se pare, însă, că este vorba despre un proces de o simplitate profundă care, în virtutea expereințelor curente, nu-și poate găsi o descriere suficient de compactă. Este, din acest motiv, spectaculoasă capacitatea definiției date de a exprima cu o concizie foarte avansată realitatea triunghiului lui Sierpinski. Spectaculozitatea reprezentării obținute se bazează pe un artificiu formal “adânc” pe care anumite formalisme-l permit.

Atunci când între complexitate și aparență relația nu poate fi justificată, cu siguranță operăm cu complexități aparente. Este vorba de o formă de *ordine ascunsă* pe care creatorul o controlează creând aparența unei complexități prin care-și captează publicul. Este vorba de o complexitate controlată în laboratorul creației, departe de posibilitățile de percepție ale publicului. Este bucătăria ascunsă unde, într-o ascundere creatoare, se aplică rețete secrete prin care este generat miracolul formelor artistice.

Miracolul creației artistice își găsește parțial explicatia în existența și fructificarea complexității aparente. Această fructificare este făcută mai mult sau mai puțin conștient. Despre Johann Sebastian Bach s-a spus că făcea matematică fără să o știe. Demersul nostru este unul prin care încercăm fructificarea conștientă a diverselor forme de complexitate aparentă. Una dintre ele este cea a lumii fractalilor.

### 3.2 Exemple de fractali

În decaniul 8 al secolului trecut, Benoît B. Mandelbrot introduce conceptul de fractal [27]. Fractalii sunt, de regulă, construcții realizate prin auto-similaritate. Oricât am intra în detalile construcției lor, vom găsi același pattern generator. Multe fenomene reale pot fi reprezente, aproximativ, prin modele fractale. Atât de multe, încât unii cred în posibilitatea descrierii fractale dincolo de limite rezonabile. Folosit cu moderație, modelul fractal se poate dovedi o unealtă eficientă pentru manipularea complexităților aparente. În spațiul creației artistice, oferă o potrivită ascundere pentru “rețete de succes”.

Vom exemplifica conceptul de fractal prin câteva exemple semnificative ce vor fi utilizate și în demersul pe care-l întreprindem.

**Pulberea lui Cantor:** se bazează pe regula conform căreia unui segment de dreaptă i se suprime treimea mediană. Rezultă două segmente având lungimea de trei ori mai mică. Acestora li se aplică aceeași regulă. S.a.m.d. Rezultă secvența de linii întrerupte reprezentată în Figura 3.3.

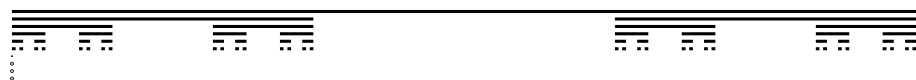


Figura 3.3: **Pulberea lui Cantor.**

**Curba lui Koch:** este mai elaborată, deoarece, spre deosebire de *pulberea lui Cantor*, segmentul înlăturat este înlocuit cu alte două segmente ca în reprezentarea din Figura 3.4. În locul unei linii întrerupte, rezultă o linie frântă. Procesul continuă și se generează o linie foarte complexă. Curba lui

Koch se desfășoară bidimensional, astfel încât va permite modelarea unor procese caracterizate prin două variabile (spre exemplu, timp și frecvență).

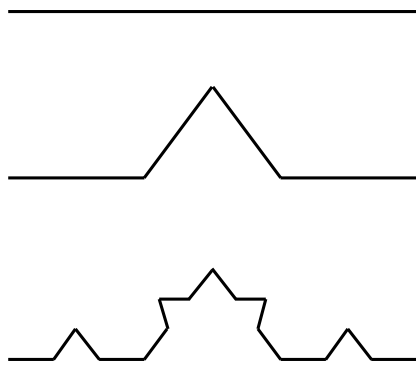


Figura 3.4: **Curba lui Koch.**

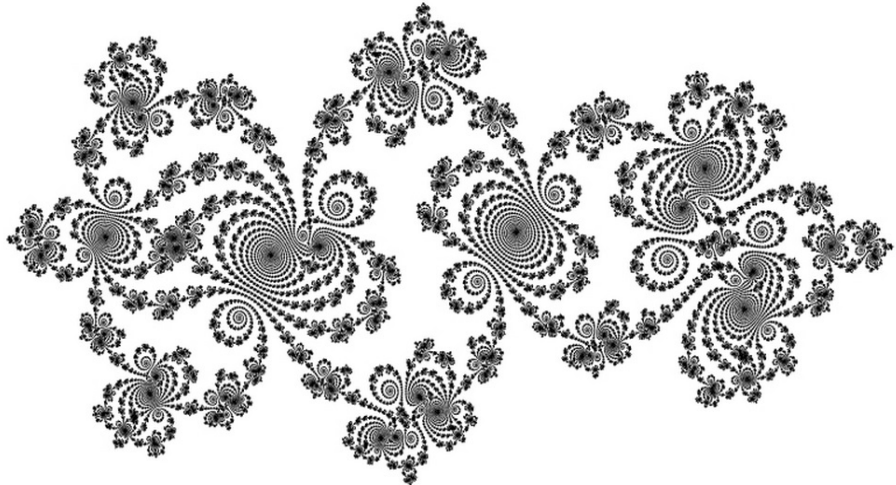
**Triunghiul lui Sierpinski:** este un fractal *avant la lettre*. Mandelbrot introduce conceptul de fractal în anii 1970, în timp ce Sierpinski propune o imagine construită prin auto-similaritate în 1915. Mentalul uman lucrează, de multe ori, cu anumite concepe mult înainte de a deveni conștient de posibilitatea definirii lor. În Figura 3.2 este redat triunghiul lui Sierpinski într-o formă ce permite extinderea reprezentării oricât de mult. Este foarte interesant faptul că acest fractal, poate și alți fractali, poate fi definit ca extinzându-se într-un spațiu precis delimitat, sau ca extinzându-se nelimitat.

Definirea limitată pornește de la un triunghi plin la care mijloacele laturilor sunt unite formând un triunghi similar cu vârful în jos, care este eliminat, celor trei triunghiuri rămase li se aplică același procedeu. S.a.m.d.

Vor rezulta două modalități de folosire a acestui fractal în dezvoltarea unei forme: o modalitate intensivă și una extensivă.

**Mulțimea Julia:** este definită pornind de la reprezentarea familiilor de polinoame cuadratici de tipul

$$f_c(z) = z^2 + c$$

Figura 3.5: **Mulțimea Julia.**

unde  $c$  este un număr complex care influențează foarte puternic forma concretă a fractalului. Un exemplu este dat în Figura 3.5. Nu putem să nu remarcăm simplitatea expresiei în comparație cu apariția deosebit de elaborată a fractalului pe care-l generează. Oricât de elaborată ne-ar părea imaginea din Figura 3.5, va trebui să o acceptăm ca având numai o complexitate aparentă, perfect controlată de un mecanism deosebit de simplu.

**Mulțimea Mandelbrot** : este definită pornind de la reprezentarea familiilor de polinoame cuadratici complexe de tipul

$$P_c : \rightarrow z^2 + c$$

unde  $c$  este un parametru complex.

O definiție formală compactă pornește de la  $P_c^n(z)$ , care reprezintă pe  $P_c(z)$  compus cu el însuși de  $n$  ori, și generează mulțimea Mandelbrot ca fiind submulțimea numerelor complexe definită prin:

$$M = \{c \in \mathbf{C} : \exists s \in \mathbf{R}, \forall n \in \mathbf{N}, |P_c^n(0)| \leq s\}$$

unde:  $\mathbf{C}$  este mulțimea numerelor complexe,  $\mathbf{R}$  este mulțimea numerelor reale, iar  $\mathbf{N}$  este mulțimea numerelor întregi.

Detaliile formale anterioare nu sunt importante, în acest context, decât pentru a pune în evidență concizia cu care poate fi definită mulțimea nume-

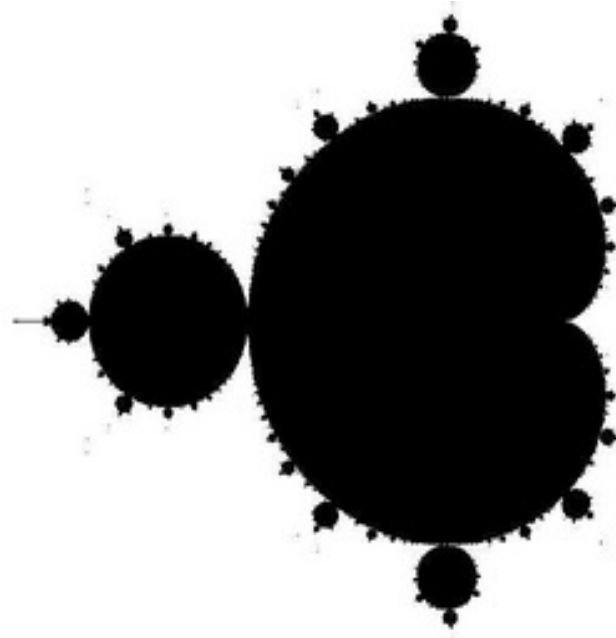


Figura 3.6: **Mulțimea Mandelbrot.**

relor din planul complex care se organizează ca în reprezentarea din Figura 3.6.

Exemplele anterioare au ilustrat caracterul aparent complex al formelor fractale. O parte dintre ele vor fi folosite în continuare pentru a ilustra demersul nostru bazat pe folosirea unor reprezentări aparent complexe pentru a construi coerent forme expresive.

### 3.3 Dimensiunea fractală

Conceptul de *dimensiune fractală* are o lungă evoluție în istoria matematicii. Benoît Mandelbrot îl consacră definitiv atunci când face corelația dintre lungimea coastelor Marii Britanii și unitatea de măsură cu care s-a făcut evaluarea [26]. În funcție de unitatea de măsură folosită, vom obține un anumit rezultat sau un alt rezultat. Dacă unitatea de măsură va fi kilometrul, atunci vom obține o lungime totală mult mai mică decât în cazul în care unitatea de măsură va fi sută de metri (o mulțime detaliu sunt eludate dacă unitatea de măsură este mare).

Dimensiunea fractală este, informal exprimat, un raport care dă socoteală asupra complexitatii pe care un pattern o “poartă” atunci când acesta scalează prin auto-similaritate. Dimensiunea fractală ne spune ceva despre felul în care un pattern “umple” spațiul în care se dezvoltă. Spre exemplu, despre curba lui Koch putem spune ca “fracturează” spațiul mult prea detaliat pentru a fi considerată unidimensională, dar nu putem spune că atinge complexitatea unei structuri bidimensionale. Ne aşteptăm și acceptăm, în aceste condiții, ca dimensiunea fractală a curbei lui Koch să se poziționeze undeva între 1 și 2.

Definiția formală cea mai folosită pentru a caracteriza dimensiunea fractală este cea care consideră un raport între gradul detaliului și nivelul scalării.

**Definitia 3.4** *Dimensiunea fractală a unui fractal  $F$ , la care în fiecare etapă se produce un număr de părți prin divizarea componentelor curente având drept consecință un număr de părți generate ale etapei următoare, este definită prin raportul:*

$$D_F = \frac{\log(\text{numar\_de\_parti\_generate})}{\log(\text{numar\_de\_parti\_obinute\_prin\_divizare})}$$

◊

**Exemplul 3.3** *Dimensiunea fractală a curbei lui Koch se calculează considerând că fiecare segment se împarte în trei părți egale, iar noua configurație obținută conține 4 segmente. În Figura 3.4, segmentul initial a fost împărțit în 3 – numar\_de\_parti\_obinute\_prin\_divizare = 3 – iar în urma primei iterării am obținut o linie “fracturată” formată din 4 segmente – numar\_de\_parti\_generate = 4. Deci:*

$$D_{Koch} = \frac{\log 4}{\log 3} = 1.26$$

◊

**Exemplul 3.4** *Dimensiunea fractală a pulberii lui Cantor, în cazul definiției uzuale, ce presupune înlăturarea treimii mediane a segmentului, este:*

$$D_{Cantor} = \frac{\log 2}{\log 3} = 0,63$$

◊

În geometria tradițională, dimensiunile sunt exprimate în numere întregi. Aceste dimensiuni sunt cazuri particulare ale unor dimensiuni fractale. Dacă vom considera cazul general al unui cub cu  $n$  dimensiuni, atunci: punctul este un cub cu 0 dimensiuni, segmentul de dreaptă este un cub cu o dimensiune, pătratul este un cub cu 2 dimensiuni, iar cubul este un cub cu trei dimensiuni. În exemplul următor vom calcula dimensiunile fractale ale construcțiilor geometriei tradiționale.

**Exemplul 3.5** Dimensiunea fractală a unui cub în spațiul cu trei dimensiuni rezultă:

$$D_{cub} = \frac{\log 8}{\log 2} = \frac{\log 27}{\log 3} = 3$$

pentru că, dacă laturile,  $L$ , ale cubului se împart la  $n$  se obțin  $3^n$  cuburi cu latura latura de  $L/n$ .

Dimensiunea fractală a unui cub în spațiul cu două dimensiuni rezultă:

$$D_{patrat} = \frac{\log 4}{\log 2} = \frac{\log 9}{\log 3} = 2$$

pentru că, dacă laturile,  $L$ , ale pătratului se împart la  $n$  se obțin  $2^n$  pătrate cu latura latura de  $L/n$ .

Dimensiunea fractală a unui cub în spațiul cu o dimensiune rezultă:

$$D_{segment} = \frac{\log 2}{\log 2} = 1$$

◊

Dimensiunea fractală apare ca un concept ce generalizează conceptul de dimensiune. În același timp, conceptul de fractal permite luarea în considerare a unor moduri nuanțate controlat de organizare a spațiului. Complexitatea construcțiilor realizate în spațiul tradițional, cu dimensiuni măsurate prin numere întregi, depinde strict de mecanisme de structurare. În spațiile fractale, mecanismelor de structurare complexă le putem adăuga și proprietățile specifice spațiului fractal în care am optat să dezvoltăm construcția unei forme. Complexitatea aparentă a spațiului fractal folosit contribuie la creșterea controlată a expresivității actului creator de generare și interpretare a formelor artistice.

Instalarea “laboratorului” în intervalul dintre dimensiunile întregi, convenționale, oferă creatorului forme de libertate suplimentare. Folosirea controlată a acestor libertăți permite extinderea repertoriului de mijloace prin care creatorul generează miracolul unor complexități care transmit “înțelesuri” ce surprind în limite suportabile prin perceptibilitatea lor.

# Capitolul 4

## Fractali. Aplicații

Există, deja, o largă literatură de specialitate, privind aplicațiile geometriei fractalilor în teoria și practica artei muzicale. Este frapant să descoperim, de exemplu, cum Mozart anticipă (posibila) reașezare a fractalilor pe o linie melodică. Ilustrăm aceasta printr-un fragment din aceeași Sonată KV 331 (vezi Figura 4.1). Este vorba de prima variațiune a temei de la primul exemplu decupat anterior. Se vede limpede că ar fi vorba de o *sui-generis* formă a pulberii lui Cantor (vezi Figura 3.3) prezentată în Introducere. Putem considera acest exemplu ca pe o sugestie pentru folosirea ulterioară, riguroasă, a acestui fractal. Procedeul mozartian constă în folosirea unui posibil sir continuu de sunete (făcut din broderii inferioare și superioare), din care în mod sistematic este eliminată ultima componentă a broderiei inferioare, pentru a sublinia caracterul ascendent al liniei melodice.

Pulberea lui Cantor este o structură a cărei complexitate crește prin *eliminarea* unor secțiuni dintr-un continuu. Mai profitabilă pentru demersuri cu complexitate sporită ar fi curba lui Koch (vezi Figura 3.4). Aici, în fiecare etapă a construcției acesteia, zonelor eliminate li se *substituie* o structură autosimilară.



Figura 4.1: Începutul primei variațiuni a temei Sonatei KV 331.



Figura 4.2: Sonata Appassionata de Beethoven.

În lumina acestor considerații (privind un fractal mai complex), o situație relevantă o întâlnim în muzica lui Ludwig van Beethoven, precum în celebra Sonată op. 57, în fa minor, *Appassionata* (vezi Figura 4.2). În acest caz, se poate vorbi de un procedeu mai complex prin care procesul de eliminare (prezent în pulberea lui Cantor) este imediat urmat de unul de completare (precum în curba lui Koch). Aceasta din urmă constă din modificarea unui segment prin comprimarea și egalizarea componentelor sale (notă-lungă - nota-scurtă - nota-lungă - nota-de-oprire se înlocuiește cu nota-scurtă - nota-scurtă - nota-scurtă - nota-de-oprire).

Există tendință, la unii cercetători actuali, de a asimila sugestiile, uneori foarte puternice, existente în creațiile unor compozitori ai trecutului, unei folosiri riguroase și conștiente a procedeelor din teoria fractalilor. În studiul de față se propune ca, pornind de la anticipațiile amintite, să se treacă la folosirea riguroasă a procedeelor doar evocate metaforic în trecut.

În ambele cazuri, compozitorii au realizat, intuitiv, o aplicație *sui-generis* a ceea ce, mai tîrziu, va fi cuprins în teoria fractalilor, dezvoltată de B. Mandelbrot.

Un compozitor contemporan interesat de lucrul cu fractalii (mai ales cu mulțimea Julia) este György Ligeti. Si rezultatele lui sunt, evident, de natură intuitivă, însă aproximează destul de fidel forme din domeniul fractalilor.

În pagina aleasă din lucrarea pentru orchestră mare intitulată *Atmosphères* (vezi Figura 4.3), întâlnim un număr foarte mare de microeve-

**Fl.**

**2** *j = 40 (oder langsamer / or slower)*

**FL**

**1** *j = 40 (oder langsamer / or slower)*

**2** *con sord., gliss. arm.<sup>b</sup>*

**V.L.**

**1** *pppp*

**2** *con sord., gliss. arm.<sup>a</sup>*

**V.L.B.**

**1** *pppp*

**2** *con sord., gliss. arm.<sup>a</sup>*

**Vla.**

**1** *pppp*

**2** *con sord., gliss. arm.<sup>a</sup>*

**Vc.**

**1** *pppp*

**2** *con sord., gliss. arm.<sup>a</sup>*

**T**

**1** unverstndlich entzucken / incomprehensible attack

**2** keine Fehlnote / on false / see however 1 on page 1

**A**

**1** Das Registergerhuend und sehr art zu spielen. Die einzelnen Strophen sind voneinander so ausgetrennt, dass die einzelnen Stimmen nicht zusammen mit der Ensemblestimme selbst in dem alles umschmeidenden zarten chromatischen Gewebe vollkommen aufgehen. / The register should be played very delicate. The individual strophes are to be isolated from each other, so that the individual voices not to be heard, individual voices should be completely absorbed in the all embracing delicate chromatic texture.

**morendo<sup>c</sup>**

**US 11 458**

Figura 4.3: Pagină din *Atmosphères* de György Ligeti.

nimente, ușor diferite între ele, care se suprapun în combinații complicate, neregulate. Această micropolifonie trimite către microevenimentele ce se întâlnesc în fractalul Julia (vezi Figura 3.5). Structurile ce compun acest fractal sunt alcătuite din microforme realizate prin autosimilaritate, comparabile cu structurile autosimilare din partitura lui Ligeti. Compozitorul însuși, într-un interviu, insistă asupra paralelismelor dintre muzica lui și procedeele induse de teoria fractallilor:

*Fractals are patterns which occur on many levels. This concept can be applied to any musical parameter. I make melodic fractals, where the pitches of a theme I dream up are used to determine a melodic shape on several levels, in space and time. I make rhythmic fractals, where a set of durations associated with a motive get stretched and compressed and maybe layered on top of each other. I make loudness fractals, where the characteristic loudness of a sound, its envelope shape, is found on several time scales. I even make fractals with the form of a piece, its instrumentation, density, range, and so on. Here I've separated the parameters of music, but in a real piece, all of these things are combined, so you might call it a fractal of fractals.*

Gyorgy Ligeti, 1999 interview, The Discovery Channel

Exemplele amintite anterior au arătat în mod clar legăturile *posibile*. În cele ce urmează propunem o modalitate riguroasă – în măsura posibilului, oferită de practica muzicală – de translare a tehniciilor fractalilor în modelarea parametrilor sunetului.

## 4.1 Aspecte ale fractalilor în spațiul ritmic

În cele ce urmează, se vor oferi câteva modalități concrete (adică în planul scriiturii muzicale) de abordare a fractalilor în teritoriul ritmului și al înălțimilor, adică al valorilor de note și al frecvențelor cu care lucrează orice muzician. Ne-am oprit la doi fractali mai simpli, respectiv la *pulberea lui Cantor* și *curba lui Koch* și vom examina virtualitățile acestora prioritari în domeniul dar și, în cazul curbei lui Koch, în domeniul frecvențelor.

### 4.1.1 Pulberea lui Cantor

Vom începe cu cel mai simplu caz de fractalizare, respectiv, pulberea lui Cantor. Să luăm următorul exemplu. Durata ce va fi fractalizată este de 8 secunde (un sunet lung, continuu). Din punct de vedere al notației muzicale, aceasta înseamnă două note întregi legate (vezi Figura 4.4), la un metronom M.M pătrime = 60.

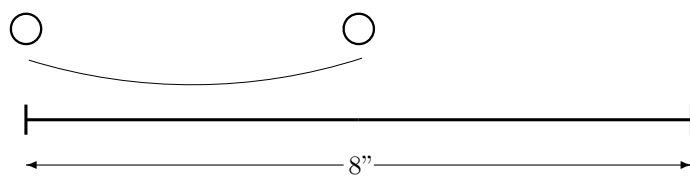


Figura 4.4: Segmentul de timp ce va fi supus fractalizării.

Vom considera că regula de fractalizare, ce acționează în acest caz, este eliminarea unui fragment reprezentând  $1/6$  din lungimea segmentului, fragment plasat în centrul acestuia. Geometric, dar și muzical, procesul se concretizează prin împărțirea în 12 secțiuni egale (vezi Figura 4.5) și eliminarea a două secțiuni din centru (vezi Figura 4.6).

Notația muzicală echivalentă este:

- cele două note întregi vor fi înlocuite prin  $6 + 6$  valori de triolete de pătrimi (Figura 4.5)
- ultima pătrime a celui de al doilea triolet și prima pătrime a trioletului următor sunt înlocuite prin pauzele corespunzătoare (Figura 4.5).

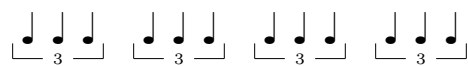


Figura 4.5: Împărțirea segmentului de timp în 12 părți egale.



Figura 4.6: Reprezentarea muzicală a primei aplicații a pulberii lui Cantor.

Dimensiunea fractală rezultată este:

$$\frac{\log 2}{\log 12}$$

Lucrurile se complică atunci când fractalizarea continuă și trebuie extrasă valoarea  $1/6$  din cele două grupe rămase (de 2 ori 5 pătrimi de triolet). Să consideră o grupă de 5 pătrimi de triolet. Pentru a aplica aceeași regulă, trebuie să eliminăm o șesime din cele 5 pătrimi de triolet. Aceasta ar corespunde eliminării a 83% (prin rotunjire 80% din pătrimea de triolet centrală).

Dacă vom folosi notația muzicală acceptată, atunci rezultă, aproximativ, eliminarea unui fragment central care reprezintă  $1/6$ , 67 în loc de  $1/6$ . În cazul în care am persista să găsim o modalitate de notare muzicală riguroasă, ceea ce am obține ar deveni imposibil de executat, ca și de percepțut.

În ultimii ani, unele dintre cercetările cele mai avansata și mai conceputal susținute în domeniul complexității ritmului, s-au realizat la IRCAM (Institute de Recherches et Coordination Acoustique/Musique), Paris. De pildă, este de menționat studiul întreprins de câțiva cercetători și colaboratori ai instituțiilor parizian [1].

#### 4.1.2 Curba lui Koch

Reamintim configurația curbei lui Koch, reprezentată în Figura 3.4. Vom presupune că această curbă reprezintă desfășurarea unui contur melodic. Axa timpului este linia orizontală. Pentru simplificare, presupunem că avem un singur sunet ținut, Do (vezi Figura 4.7a). Vom urmări ce se întâmplă atunci când curba lui Koch începe să se dezvolte prin autosimilaritate. În Figura 4.7b, am obținut, datorită folosirii unui unghi de  $45^0$  și datorită faptului că vom considera proiecția pe orizontală (respectiv, pe axa timpului) a liniei oblice, un sunet cu frecvență egală cu cea a lui Do înmulțită cu  $\sqrt{2}$ . Noua frecvență este, evident, Fa#.

În continuare, în Figura 4.7c, datorită aplicării regulii curbei, apar proiecții suplimentare. Pe fiecare dintre cele patru segmente, se produc noi proiecții. Unele dintre acestea, de pe segmentele oblice, vor genera proiecții ale proiectiilor. Pe lângă  $Fa\#$ -ul, deja știut, multiplicarea lui  $Do \times \sqrt{2}$ , pe segmentele oblice, cu încă un  $\sqrt{2}$  aduce încă un Do, octava celui precedent. Continuând, în Figura 4.7d, apar încă un  $Fa\#$  și Do. Însumând, spre exemplu, sunetele obținute pornind de la un Do prin aplicarea de 2 ori a algoritmului curbei lui Koch, obținem următoarea succesiune de sunete:

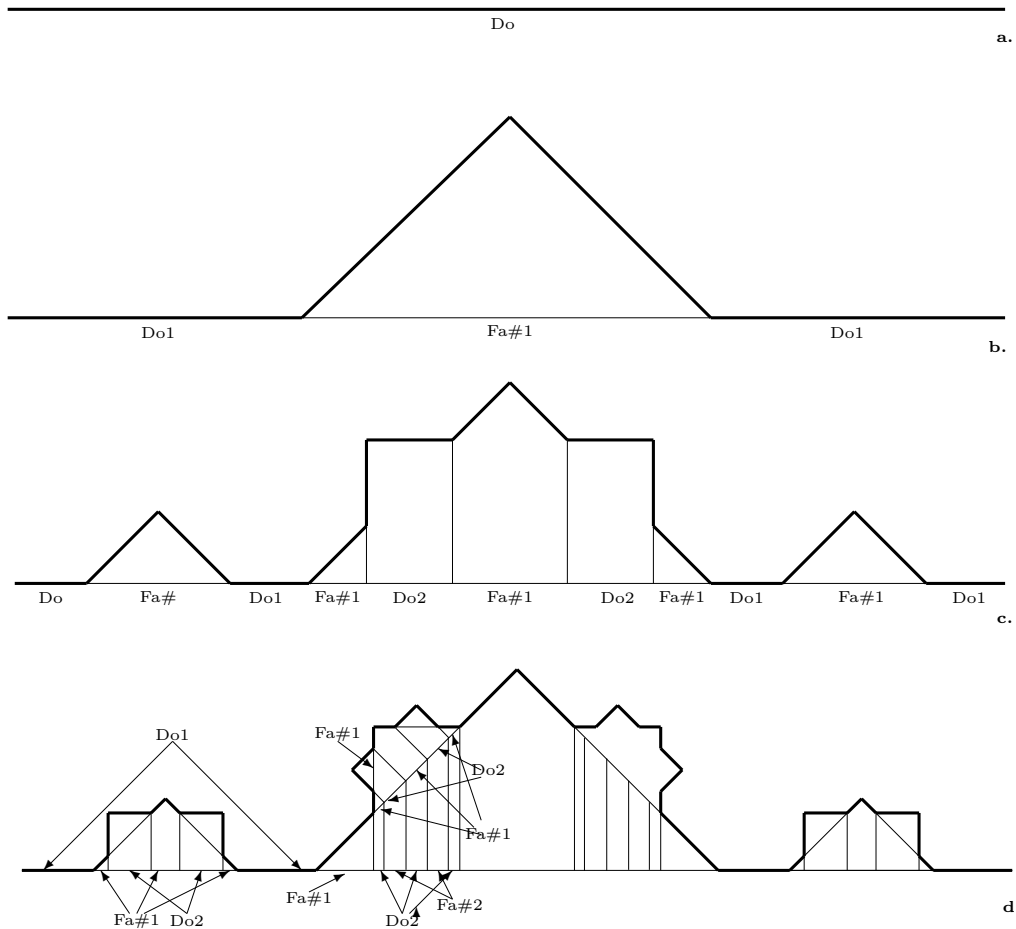


Figura 4.7: “Fracturarea” unui Do pe curba lui Koch.

Do, Fa#, Do, Fa#, Do1, Fa#, Do1, Fa#, Do1, Fa#, Do1

În cazul celei de treia aplicații, apărând un al treilea Do, lucrurile sunt încă și mai complicate.

Din cele expuse până acum, rezultă evident că alegerea unui unghi mai mic de  $45^0$ , prezintă situații mult mai “interesante” din punct de vedere sonor, ieșindu-se, eventual, din sistemul temperat.

Curba lui Koch, prin alegerea pe cam făcut-o (proiecția continuă pe axa locală) realizează și o comprimare în timp.

Procedeul tocmai exemplificat este aplicabil unei secvențe sonore de tip melodic, ceea ce însemnă că în loc de un singur sunet vor exista mai multe.

Pentru eficiență sporită a utilizării acestui procedeu, este de dorit să se realizeze un program care să permită utilizarea unui spectru larg de unghiuri de proiecție, rezultatele aflându-se, astfel, la dispoziția compozitorului.

Pentru viitor, ar fi important de studiat extensia procedeelor fractale asupra parametrilor sonori mai greu cuantificabili, respectiv dinamica și timbrul.

# Capitolul 5

## Transformări și forme

Muzica este arta cea mai direct legată de scurgerea ireversibilă a timpului. Aceasta înseamnă că procesele pe care le subsumăm idei de formă muzicală desfășurându-se pe această axă a timpului vor avea un număr de proprietăți ce țin de această particularitate. Altfel spus, forma muzicală este o procesualitate al cărei *output* este diferit de *input* (deci, parametrii inițiali ai procesului se vor regăsi modificați ireversibil în final).

Un exemplu celebru, în care premoniția autorului este cu totul remarcabilă, este *Arietta con variazioni*, finalul ultimei sonate, Op. 111 în Do minor, pentru pian de Beethoven. Tema este foarte simplă, ea suferă un număr foarte mare de transformări, iar la sfârșit asistăm la disoluția parametrilor ei în întregul spațiu sonor al pianului (facetă click aici: [http://www.youtube.com/watch?v=czo025\\_J4I8](http://www.youtube.com/watch?v=czo025_J4I8)).

Putem vorbi despre o premoniție muzicală asupra unor descoperiri care vor fi făcute mai târziu de către Saadi Carnot, Ludwig Eduard Boltzmann și Ilya Prigogine [31] [32]. Primul dintre aceștia, francezul Carnot, este creatorul unui foarte controversat, la vremea lui, principiu fizic numit *al doilea principiu la termodinamicii*, conform căruia evoluția naturală a unui sistem fizic încis, care nu realizează schimburi cu mediul încojurător, se îndreaptă către o stare de echilibru caracterizată prin ordine minimă (acest lucru se obține prin distrucția oricărei structurări interne).

Mai târziu, către sfârșitul secolului al XIX-lea, austriacul Boltzmann a formulat mai riguros și a extins acest principiu, folosind statistica matematică.

În sfârșit, în a doua jumătate a secolului al XX-lea, laureatul din 1977 al Premiului Nobel pentru chimie, Ilya Prigogine, reconsideră aproape toate

domeniile activității omenești de la știință până la societate trecând prin diverse forme de manifestare culturală. Tocmai din acest motiv, cercetările lui Prigogine au o relevanță deosebită pentru gândirea muzicală.

În acest capitol, va fi vorba despre o strategie a organizării formei muzicale ca procesualitate pe axa timpului. Organizarea propusă ține de două *procese de emergență*. Pe scurt, este vorba, mai întâi, de un proces iterativ, prin care, pornind de la un organism sonor dat, se desfășoară un șir de *transformări* folosite în cel de al doilea proces, cel de *emergență a formei muzicale*.

## 5.1 Nașterea formei sonore

Nașterea formei sonore este o problemă esențială în proiectul de față. Ea este o realitate bazată genetic pe conceptul de organism sonor. Propunem următoarele două definiții.

**Definitia 5.1** *Organismul sonor este o asamblare de microevenimente formate din diferite combinații ale parametrilor sunetului.*

◊

**Definitia 5.2** *Forma sonoră este o asamblare de organisme sonore care întrețin relații de transformare prin conexiune directă.*

◊

În Figura 5.1 sunt prezentate modalitățile de creștere a numărului de organisme sonore și de organizare a înlănțuirilor lor. Acestea din urmă pot fi de tip *serie* (Figura 5.1a), *paralel* (Figura 5.1b) și *serie-paralel* (Figura 5.1c). În matematică există un procedeu de formalizare a ceea ce tocmai am prezentat. Este vorba despre regula de compozitie a funcțiilor, exprimată prin expresia:

$$f(x) = g(h_1(x), h_2(x), \dots, h_n(x))$$

Dacă  $n = 1$ , atunci avem de a face cu o extensie funcțională de tip serie: funcția  $f$  este calculată prin inserarea operațiilor presupuse de funcțiile  $h$  și  $g$ .

Dacă funcția  $g$  este de tip identitate, atunci funcția  $f$  se reduce la calculul în paralel a  $n$  funcții de tip  $h_i$ .

În Figura 5.1d se arată cum este posibilă și o succesiune nerecomandabilă din punctul de vedere al impactului informațional. Recte, o transformare

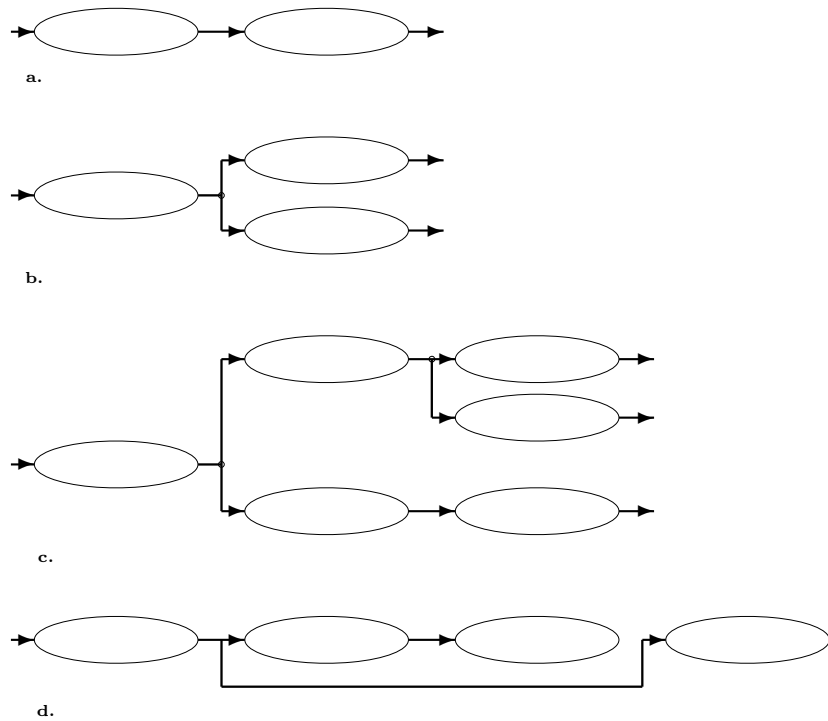


Figura 5.1: Tipuri de organizare în timp a fromei sonore.

provenită din organismul inițial apare, întârziat, după ce alte transformări mai avansate și-au consumat deja impactul.

Din Figura 5.1 observăm cum, dintr-o multitudine de organisme sonore, generate dintr-un prim organism prin procedee transformaționale, pot emerge forme sonore complexe.

Așa cum a observat cu sagacitate compozitorul francez Fabien Lévy [25], problema generării formei muzicale este, direct, o problemă a ajungerii la limitele scrierii tradiționale occidentale; această scriitură a fos concepută pentru un anume tip de gândire sonoră care a prezidat câteva secole. Implicit, chestiunile legate de un nou concept al devenirii sonore sunt legate de dilema păstrării (măcr parțiale) sau abandonării totale a acestei scrierii “istorice”.

Identificăm, în continuare, două tipuri de transformări: transformări discrete și transformări continue.

## 5.2 Transformări discrete

### 5.2.1 Organismul sonor

Punctul de pornire al demersului nostru este un organism generat prin procese descrise în secțiunile anterioare. Vom începe, deci, de la o structură închisă, în sensul izolării unui sistem în cazul principiului lui Carnot.

Pentru cei familiarizați cu limbajul muzicologiei tradiționale, microevenimentul poate fi asimilat, aproximativ, noțiunii de *celulă muzicală*.

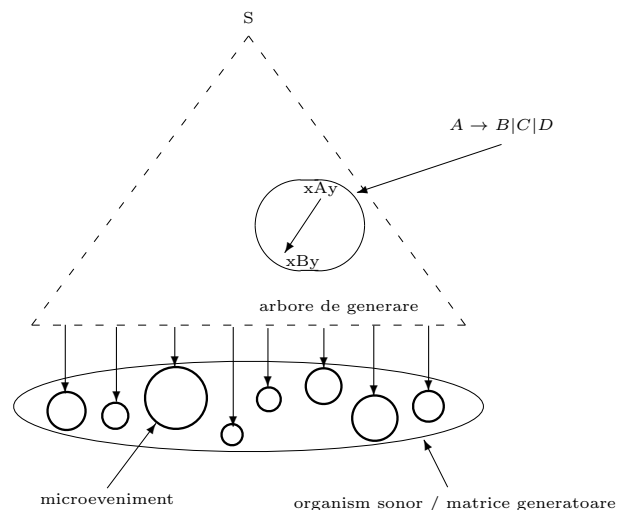


Figura 5.2: Generarea unui organism sonor.

În viziunea adoptată în studiul prezent, organismul sonor este generat (de aici și ideea de organism) de o gramatică generativă,  $G$ , definită în cadrul unui sistem compozitional, controlat de coordonatele unui proiect. În Figura 5.2, este prezentată existența unui organism sonor și felul în care a fost generat. Elipsa, care este anvelopa virtuală a acestui organism sonor, conține o serie de microevenimente, figurate prin cerculete. Microevenimentele sunt produsul unei aplicări a gramaticii  $G$  pornind de la simbolul de start,  $S$ . Arborele de generare a fost simbolizat printr-un triunghi, în care am explicitat cum în nodul  $xAy$  se aplică una din regulile  $A \rightarrow B|C|D$ , rezultând  $xB_y$ . La

nivelul propriu-zis al organismului sonor, cele arătate se concretizează prin microevenimentele către care se îndreaptă săgețile finale ale arborelui de generare.

### Transformarea organismului sonor

În Figura 5.3 se prezintă modul în care dintr-un organism sonor inițial se obține o transformare pe care o vom numi *transformare genetică*.

Continuăm cu detalierea procesului descris schematic în Figura 5.3. Transformarea presupune că a două infățișare a organismului sonor suferă, la nivelul unor microevenimente, niște distorsiuni (care în acest caz funcționează ca o conotație a conceptului de modificare, prin urmare o conotație pozitivă). Distorziunile se datorează fapului că, în anumite noduri ale grafului de generare, opțiunile s-au schimbat. În loc de  $A \rightarrow B$  în nodul  $xAy$  s-a optat pentru varianta  $A \rightarrow D$ . Automat, microevenimentele incidentate se schimbă.

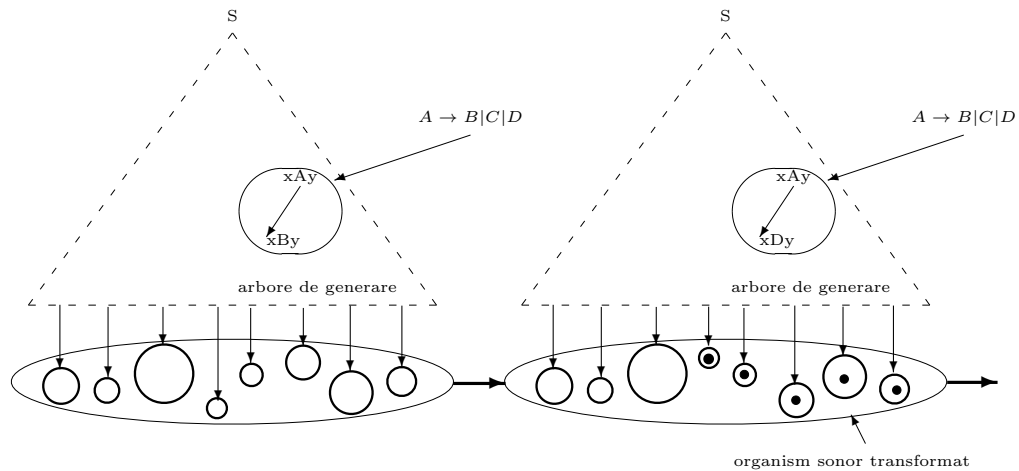


Figura 5.3: Transformarea unui organism sonor.

## 5.3 Transformări continue

Aceste transformări, pe care le-am denumit continue, pornesc de la un dat experimental pe care l-au observat mai mulți muzicieni care au lucrat cu mijloace electronice de tip analogic, în spătă, înregistrările pe benzi de magnetofon). Unul dintre acești muzicieni este marele compozitor german Karlheinz Stockhausen [36], care a intuit primul virtușile acestui procedeu pentru conceperea unui tip de sintaxă sonoră inedită. Mai recent, compozitorul francez Tristan Murail a aplicat simularea procedeului în compoziția sa intitulată *Mémoire/Erosion*. În general, procedeul este cunoscut sub titulatura de *bucă de reinjecție (re-injection loop)*. În textul de față, vom mai vorbi despre acest lucru în cele ce urmează.

Metafora benzii de magnetofon pornește de la faptul că suportul material, respectiv banda de magnetofon și aparatul de înregistrare au un număr de imperfecțiuni “genetice”. O bandă de frecvențe limitată, zgromot de fond, neliniarități, defecțiuni mecanice (întinderea benzii, spre exemplu), și altele. Există un efect cumulativ al acestor imperfecțiuni care se manifestă prin degradarea înregistrării. Această degradare se reduce, în principal, la două efecte: o filtrare a componentelor spectrale și adăugarea unui semnal de zgromot.

Această metaforă poate fi pusă în paralel cu o realitate mai abstractă care este desfășurarea în timp a ceea ce numim forma muzicală. Aceasta din urmă este o procesualitate care implică, în natura ei intimă, “degradarea” în parcursarea axei timpului. Existența acestui paralelism poate sugera o modalitate coerentă și organizată de generare a formei muzicale prin transformări continue ale unei entități inițiale.

Din punct de vedere funcțional, transformările continue presupun două tipuri de acțiuni:

- o funcție de filtrare-amplificare
- o funcție de compunere cu un semnal ce rezultă din “tasarea” componentelor spectru din semnal.

### 5.3.1 Filtrare/amplificare

Pornim de la definirea unui circuit care se comportă ca un amplificator cu o caracteristică de frecvență elaborată. Definim astfel dispozitivul de filtrare/amplificare. În Figura 5.4 am reprezentat, în ordine, caracteristica de

transfer a filtrului amplificator, spectrul de armonice al semnalului de intrare și spectrul de armonice rezultat din procesul de filtrare amplificare.

Spre deosebire de un filtru obișnuit, care se comportă doar ca un atenuator, filtrul amplificator realizează, simultan, o atenuare dependentă de frecvență și o amplificare. Amplificarea permite, ca pe lângă atenuarea amplitudinii, să se poată produce și amplificarea anumitor componente din spectru.

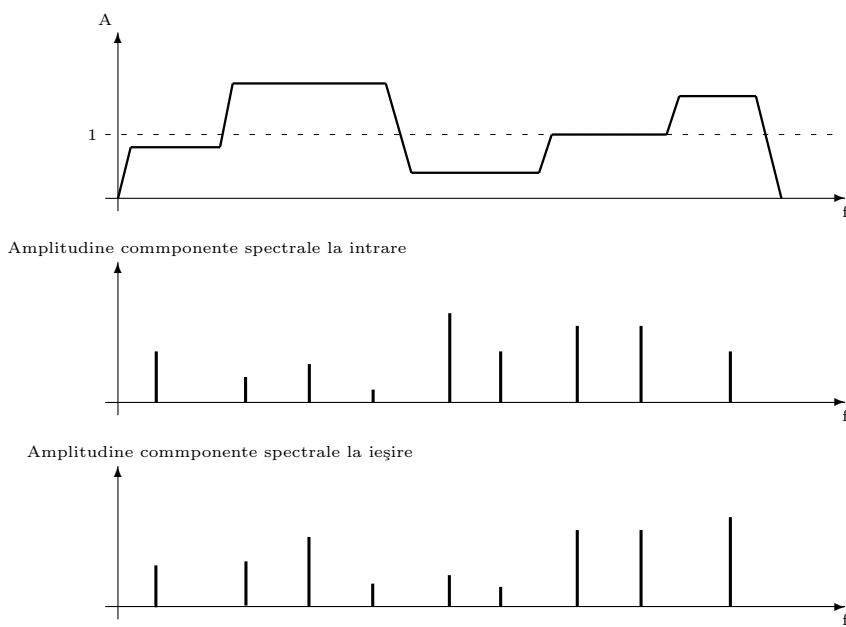


Figura 5.4: Filtrare/amplificare.

### 5.3.2 Zgomot prin “tasare”

Zgomotul ce se adaugă va fi aproximat cu ajutorul unui semnal obținut prin ceea ce se poate numi “tasarea” componentelor spectrale, adică apropierea acestora și gruparea lor într-un interval pe care l-am definit, spre exemplu, ca fiind cel dintre cea mai de jos componentă spectrală și cea imediat următoare. Aceasta este una dintre multiplele posibilități de realizare a procedeului de “tasare”. Dar în orice caz trebuie ca intervalul în care se regăsesc compo-

tele după “tasare” să fie mai mic, în Hertz, decât frecvența celei mai joase fundamentale.

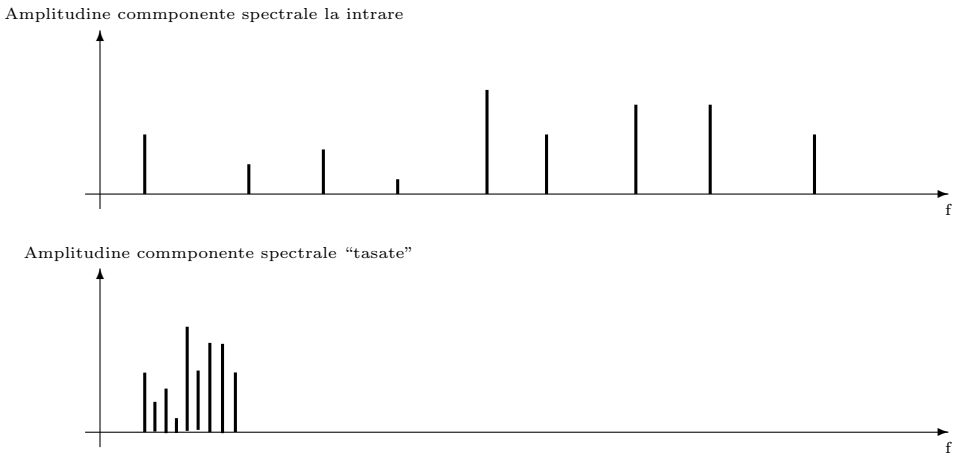


Figura 5.5: “Tasare”.

Spre edificare, dăm următoarea situație: avem o fundamentală ( $f^1 = 100Hz$ ) și armonicile ei 2, 3, 5, 7 ( $f^2 = 200Hz$ ,  $f^3 = 300Hz$ ,  $f^5 = 500Hz$ ,  $f^7 = 700Hz$ ). Prin “tasare”, le aducem pe toate în intervalul  $\Delta f = (100Hz, 200Hz)$ . Pentru aceasta vom aplica următoarea formulă:

$$f_T^i = f^i - \alpha \times \Delta f \times (i - 1)$$

pentru  $i = 2, 3, 5, 7$ , și vom obține frecvențele “tasate”,  $f_T^i$ . Pentru  $\alpha = 0,9$  va rezulta următorul spectru “tasat”:

$$\{100Hz, 110Hz, 120Hz, 140Hz, 160Hz\}$$

Gradul de compresie  $\alpha$  se determină, în funcție de numărul de componente ale spectrului de “tasat”, cu formula:

$$\alpha = 1 - \frac{1}{n}$$

unde  $n$  este numărul de componente ale spectrului de “tasat”.

În Figura 5.5 se prezintă spectrul inițial și, în a doua spectrogramă, rezultatul “tasării”.

### 5.3.3 FAZT: sistemul fizic de transformare

În mod practic, cele două funcții, anterior descrise, se realizează cu ajutorul arhitecturii prezentate în Figura 5.6, unde:

**Fiftru/Amplificator:** realizează funcția descrisă în paragraful 5.3.1

**Generator de zgomot prin “tasare”:** realizează funcția descrisă în paragraful 5.3.2

iar rezultatul celor două operații este însumat la ieșire.

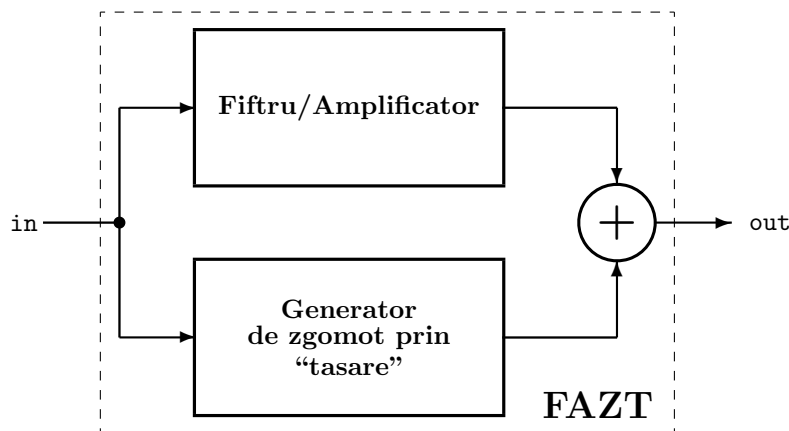


Figura 5.6: FAZT: Filtru Amplificator și generator de Zgomot prin Tasare.

Această arhitectură se poate implementa în două feluri: (1) sub forma unui program pe un calculator suficient de puternic sau (2) sub forma unui dispozitiv electronic.

Reamintim că, aplicând aceste proceduri, obținem invazia treptată a “zgomotului” și distorsiunea anvelopei frecvențiale la nivelul organismului sonor initial. Astfel, rezultă ceea ce ne-am propus, o formă muzicală prin transformări continue.



## Partea II

*Live electronics*



# Capitolul 6

## *Live electronics*

În secțiunile anterioare ne-am ocupat cu probleme de principiu, teoretice, ale realizării unor partituri muzicale. Orice partitură, însă, trebuie convertită în semnal sonor prin procesul de interpretare. Cu alte cuvinte, structura ideal-formală a partiturii se transformă în fenomenologie sonoră. Această transformare se realizează cu ajutorul instrumentelor acustice mânuite de instrumentiști; cu toate restricțiile pe care le implică limitele posibilităților și educației umane. Din acest motiv, a apărut și s-a dezvoltat tehnica transformării în timp real a semnalului sonor. Dar vom folosi mai departe sintagma, consacrată în limba engleză, ***live electronics***. În cele ce urmează, vom arăta un număr de procedee de *live electronics* cu mențiunea de a fi fost gândite cât mai riguroas adaptate la logica construcției partiturii muzicale. Evităm, astfel, viziunea impresionistă a bogăției de procedee ce există actualmente în domeniul *live electronics*. Cu alte cuvinte, propunem un instrument fidel adaptabil logicii intrinsec muzicale ale cărei premise le-am elaborat în capitolele anterioare.

### 6.1 Semnalul sonor

Pentru înțelegerea și pentru lucrul în spațiul transformărilor în timp real (*live electronics*) ale sunetului, este necesar să ne reamintim un număr de cunoștințe din acustică și electroacustică.

Un sunet este o suprapunere de semnale sinusoidale organizate în trei categorii:

- fundamentala: semnalul sinusoidal cu frecvența cea mai joasă

$$x_1 = a_1 \sin 2\pi(Nt + \phi_1)$$

- multimea semnalelor *partiale* care sunt sinusoide cu frecvențe multipli ai frecvenței fundamentale:

$$x_1 = a_1 \sin 2\pi(n_1 t + \phi_1)$$

$$x_2 = a_2 \sin 2\pi(n_2 t + \phi_2)$$

...

$$x_p = a_p \sin 2\pi(n_p t + \phi_p)$$

în care se poate evidenția submulțimea *armonicelor*: partialele obținute prin multiplicare, cu un întreg, a frecvenței fundamentale; această mulțime este ordonată, după cum urmează:

$$x_1 = a_1 \sin 2\pi(2Nt + \phi_1)$$

$$x_2 = a_2 \sin 2\pi(3Nt + \phi_2)$$

...

$$x_p = a_p \sin 2\pi(pNt + \phi_p)$$

Partialele care nu sunt armonice se numesc *inarmonice*.

**Exemplul 6.1** Fie semnalul:

$$x = 5 \sin 2\pi(66t + \phi_1) + 2 \sin 2\pi(132t + \phi_2) + 3 \sin 2\pi(198t + \phi_3) +$$

$$4 \sin 2\pi(100t + \phi_4) + 1.7 \sin 2\pi(124t + \phi_5)$$

unde avem: fundamentala (armonicul 1), un semnal cu frecvență de 66 Hz, urmată de armonicul al 2-lea și al 3-lea și încheiat cu două inarmonice. ◊

Dacă în cazul “construcției” unui semnal putem considera în egală măsură armonice și inarmonice, ca în exemplul anterior, în descompunerea unui semnal real nu putem lua în considerare decât semnalele armonice. Instrumentul

formal care ne permite identificarea compoziției spectrale a unui semnal este *seria Fourier*:

$$x = f(t) = a_0 + a_1 \sin 2\pi(Nt + \phi_1) + a_2 \sin 2\pi(2Nt + \phi_2) + \\ a_3 \sin 2\pi(n_2 t + \phi_3) + \dots + a_p \sin 2\pi(pNt + \phi_p)$$

care se transformă în:

$$f(t) = A_1 \sin 2\pi Nt + A_2 \sin 4\pi Nt + \dots + A_p \sin 2\pi pNt + \dots + \\ B_0 + B_1 \cos 2\pi Nt + B_2 \cos 4\pi Nt + \dots + B_p \cos 2\pi pNt$$

unde coeficienții sunt calculați cu următoarele formule:

$$A_i = 2N \int_0^T f(t) \sin 2\pi pNt dt \\ B_i = 2N \int_0^T f(t) \cos 2\pi pNt dt$$

obținându-se astfel transformarea informației de amplitudine și fază –  $a_i$ ,  $\phi_i$  – în amplitudine –  $A_i$ ,  $B_i$ .

## 6.2 Spectre

Spectrele unui sunet pot fi de două feluri:

- cu conținut exclusiv de armonice, numite *spectre armonice*
- cu conținut de armonice și inarmonice, numite *spectre inarmonice*.

În celebra sa lucrare *The Synthesis of Complex Audio Spectra by Means of Frequency Modulation*, John Chowning [16] (vezi și [17]) propune următoarea formulă (anterior evocată) pentru calcularea componentelor inarmonice ale unui sunet:

$$f_n = f_0 \pm n \times f_m$$

unde  $f_0$  este frecvența modulată,  $f_m$  frecvența modulantă, iar  $n$  întreg pozitiv. Frecvența  $f_n$  este rezultanta aplicării - cu plus sau minus - de  $n$  ori, a lui  $f_m$  peste  $f_0$ . Din această formulă, se vede imediat, că dacă  $f_m < f_0$  în mod substanțial, se obține o serie de  $f_n$  extrem de "aspră" la ureche (foarte ne-armonică). Unul dintre compozitorii care au aplicat în mod sistematic acest procedeu în creația lor este francezul Gérard Grisey (ciclul de compozitii intitulat *Les espaces acoustiques*).

**Exemplul 6.2** Fie:  $f_0 = 600\text{Hz}$  și  $f_m = 50\text{Hz}$ . Vor rezulta următoarele componente, deasupra lui  $600\text{Hz}$ :

$$\begin{aligned} 600\text{Hz} + 50\text{Hz}, \\ 600\text{Hz} + 100\text{Hz} \end{aligned}$$

...

sau dedesubtul lui  $600\text{Hz}$ :

$$\begin{aligned} 600\text{Hz} - 50\text{Hz}, \\ 600\text{Hz} - 100\text{Hz} \end{aligned}$$

....

◊

Din exemplul anterior, este evident faptul că spectrele de inarmonice sunt alcătuite din frecvențe foarte îndepărțate de sirul multiplilor fundamentalei având valoarea numerelor întregi.

### 6.2.1 Modificări de spectre

Pornind de la *formula canonica* a unui spectru de armonice

$$f_n = n \times f_0$$

putem concepe posibile transformări (modificări) ale acestuia.

Prima, și cea mai simplă, este translatarea, mai sus sau mai jos, a spectrului (frecvenței fundamentale i se adaugă sau i se scade o frecvență). Rezultă o *serie armonică translatată*:

$$f_m = (n \pm k) \times f_0$$

Următoarea este:

$$f_n = n^\alpha f_0$$

unde  $\alpha > 1$ , reprezentând o *serie armonică dilatată* (expandată).

O altă transformare este:

$$f_n = n^\beta f_0$$

unde  $\beta < 0$ , reprezentând, astfel, o *serie armonică comprimată*.

O altă modalitate, foarte simplă, de generare a unui spectru cu componente inarmonice este aceasta: oricare armonic cu un număr impar (3,5,7,...) este împărțit la una din puterile lui 2.

$$f_i = f_0 \frac{2n - 1}{2^m}$$

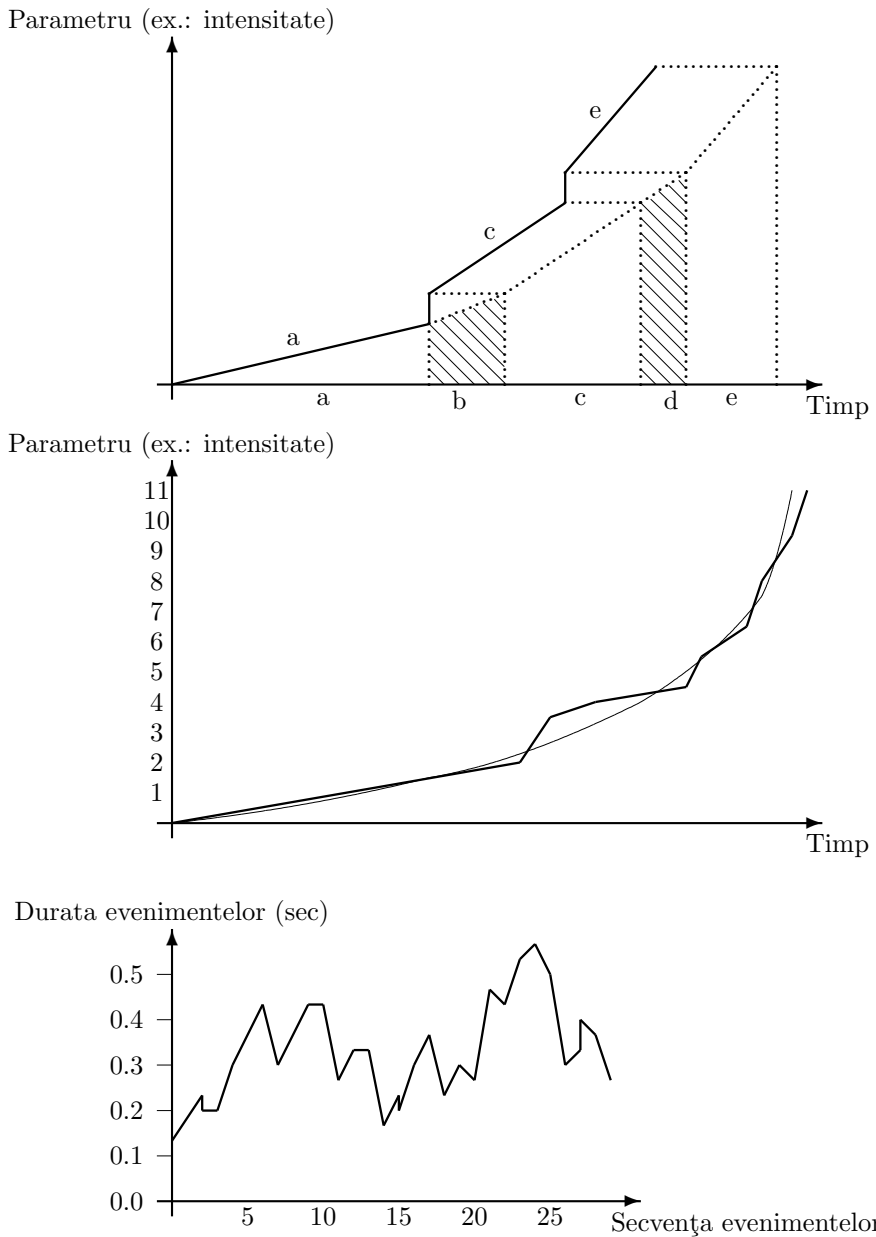


Figura 6.1: **Serii de dure** [29]. **a.** Serie obținută prin eliziunea unor intervale de timp. **b.** Serie obținută prin abatere statistică. **c.** Zgomot de dure.

Rezultatul va fi, automat, un multiplu neîntreg al fundamentalei, deci, un inarmonic. Lucrul acesta ne arată că, cu cât o componentă a spectrului de armonice (cu indice impar) se apropiie de fundamentală, efectul asupra întregului spectru este mai “aspru”.

Poate fi concepută, de asemenea, o serie ”armonică” de durate, după diverse procedee care imită situații din spectrele reale de armonice și inarmonice (vezi Figura 6.1). În figura 6.1a, tranzițiile lente dintre procesele *a* și *c*, respectiv între procesele *c* și *e* au fost eliminate, cu rezultatul apariției unor salturi bruște în timp. Să presupunem, pentru mai multă claritate, că parametrul de pe ordonată ar fi intensitatea. În acest caz, creșterea constantă și lentă a intensității este întreruptă de două ori prin mutarea bruscă la nivele superioare. În figura 6.1b, întâlnim un proces de accelerare (care poate fi eventual și al intensității) care este perturbat stochastic. În figura 6.1c, întâlnim un caz de dezordine ritmică corespondent al zgomotului (alb sau roz) din domeniul frecvențelor.

### 6.2.2 Formanți

Atunci când spectrele anterior construite apar ca emanație a unor fundamente executate punctual de un anumit instrument sau anumită voce, se manifestă și pregnanța anumitor zone ale acestor spectre, definitoare pentru ”culoarea” lor, numite **zone formantice**. Pentru edificare, reproducem mai jos tabloul conținând zonele formantice ale celor 5 vocale principale.

Vowel	Main formant region
u	200 – 400 Hz
o	400 – 600 Hz
a	800 – 1200 Hz
e	400 – 600 and 2200 – 2600 Hz
i	200 – 400 and 3000 – 3500 Hz

În general, nu se poate vorbi de formanții consoanelor pentru că acestea sunt întotdeauna anexate vocalelor și sunt fenomene acustice tranzitorii. Prin analogie cu vocalele din emisia sonoră umană, se poate vorbi și de zonele formantice ale instrumentelor. Există diverse procedee de manipulare a acestor zone formantice. De exemplu, la instrumentele de suflat din alamă, setul de surdine este folosit pentru construirea, prin filtrare, a zonelor formantice dorite.

Calculatorul poate fi folosit pentru construirea unor zone formantice virtuale ce pot fi aranjate astfel încât să fie obținute timbre vocale sau/și instrumentale inedite.

### 6.3 Anvelope sonore

Important pentru cele ce urmează este să știm cîteva lucruri despre diferitele anvelope ce făuresc amprenta unui sunet.

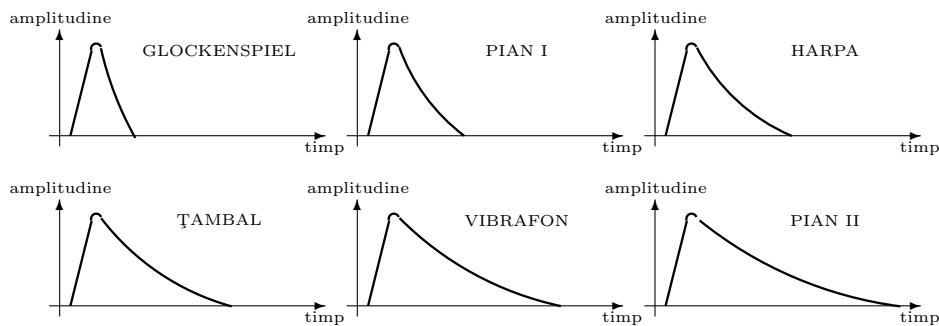


Figura 6.2: Modele de anvelope dinamice ale unor instrumente de percuție [3].

Astfel, instrumentele de percuție posedă, în general, anvelope dinamice de tip triunghiular, cu atac (*attack*) scurt de maximă intensitate și cădere (*decay*) abruptă. În Figura 6.2, sunt reproduse câteva modele de anvelope dinamice ale unor instrumente de percuție. Ele sunt luate din sonograme reale ale acestor instrumente. Se vede că există o diversitate a profilelor datorată diferențelor de natură dintre instrumente. Se constată că atacurile sunt destul de asemănătoare. Diferențierea prezintăndu-se la nivelul “căderii” sunetului, în funcție de capacitațile diferite ale instrumentelor de a prelungi sunetele.

După modelul acestor anvelope reale, se pot desena amvelope virtuale, utilizabile în procesul de *live electronics* prin aplicarea lor asupra prestației instrumentelor reale. Aceste modele virtuale pot fi făcute să aibă pante mai

diversificate de atacuri, precum și “căderi” care nu există la instrumentele reale.

## 6.4 Studiu de caz: *Itinéraires à l'intérieur du son I*

Lucrarea pentru flaut solist, grup concertino (flaut, clarinet, percuție) și orchestră, intitulată *Itinéraires à l'intérieur du son I* de Fred Popovici (1990-91) reprezintă o aplicație riguroasă a datelor oferite de acustica și electroacustica modernă, în cazul organizării unui discurs muzical. Cu alte cuvinte, informațiile furnizate anterior vor fi utilizate aici în mod practic.

### 6.4.1 Paradigme sonore folosite

Punctul de plecare îl constituie următoarea realitate. Se știe din psihoaesthetică faptul că frecvența de  $16,5\text{Hz}$  este pragul perceptiei noastre care diferențiază sunetele (frecvențele) de durate (ritmuri): primele se ordonează deasupra acestei frecvențe, celealte dedesubt. Având în vedere că această frecvență este inaccesibilă instrumentelor din orchestră, cu excepția orgii mari, în compoziția amintită, va fi folosită octava superioară acesteia, adică  $33\text{Hz}$ . Ea corespunde unui *Do*, ce va fi luat ca reper în tot travaliul următor.

Să considerăm următoarele frecvențe:  $33\text{Hz}$ ,  $44\text{Hz}$ ,  $49,5\text{Hz}$ ,  $55,68\text{Hz}$ ,  $74,25\text{Hz}$ . Ele reprezintă fundamentalele (tonicile) unei *secvențe armonice canonice*: *Do Fa Sol (Do) La Re Sol - [Do]*, respectiv cadența armonică, o paradigmă întâlnită, în mod fix în toată muzica clasnică<sup>1</sup>. Ele au fost obținute în felul următor:

$$\begin{aligned} 33\text{Hz} \times 1 &\rightarrow Do \\ 33\text{Hz} \times 4/3 &\rightarrow Fa \\ 33\text{Hz} \times 3/2 &\rightarrow Sol \\ 74,25\text{Hz} \times 3/4 &\rightarrow La \\ 49,5\text{Hz} \times 3/2 &\rightarrow Re \end{aligned}$$

Dar, aici, vor fi folosite ca fundamentale ale unor spectre armonice unde vor exista numai armonicele date de numere impare, de tip  $2n - 1$ . Se

---

<sup>1</sup>Aceste frecvențe reprezintă componentele paradigmăi amintite: prima este fundamentală, cincă acesteia se obține prin înmulțirea cu  $3/2$ , iar cvara prin înmulțirea cu  $4/3$ .

construiesc spectrele de frecvențe prin *multiplicare* cu multimea numerelor impare:

$$\begin{aligned} 33Hz \times \{1, 3, 5, \dots, (2n - 1)\} &= \{33Hz, 99Hz, 165Hz, \dots\}, \\ 44Hz \times \{(1, 3, 5, \dots, (2n - 1)\}, \\ 49, 5Hz \times \{1, 3, 5, \dots, (2n - 1)\}, \\ 55, 68Hz \times \{1, 3, 5, \dots, (2n - 1)\}, \\ 74, 25Hz \times \{1, 3, 5, \dots, (2n - 1)\}, \end{aligned}$$

precum și spectrele de durate (ritmuri) prin *divizare* cu aceeași multime a numerelor impare:

$$\begin{aligned} 16, 5Hz / \{1, 3, 5, \dots, (2n - 1)\} &= \{8, 25Hz, 4, 125Hz, 2, 06Hz, \dots\} \\ 22Hz / \{1, 3, 5, \dots, (2n - 1)\} \\ 24, 75Hz / \{1, 3, 5, \dots, (2n - 1)\} \\ 27, 84Hz / \{1, 3, 5, \dots, (2n - 1)\} \\ 37, 125Hz / \{1, 3, 5, \dots, (2n - 1)\} \end{aligned}$$

**Nota bene :** în practică, valorile obținute vor fi folosite prin rotunjire. Spre exemplu, 8,25 Hz va deveni 8 Hz, ceea însemnă o optime, la metronom  $\downarrow = 60$ .

Duratele - de la “armonicul” 1 (8 secunde) pînă la “armonicul” 127 (aproximativ  $1/16$  dintr-o secundă) – vor fi atribuite, univoc, armonicelor propriuizise, de la fundamentală, identică cu armonicul 1,  $33Hz$ , pînă la  $16,5Hz \times 127 = 2095Hz$ .

**Nota bene :** și în aceasă situație, practica instrumentală obligă, cum am mai spus, folosirea frecvenței de  $33Hz$ ; însă, calculul spectral se face pornind de la  $16,5Hz$ .

Înlănțuirea utilizată în lucrarea *Itinéraires à l'intérieur du son I* este următoarea:

$$Do - Fa - Sol - Do - La - Re - Sol$$

Se presupune că ar urma din nou *Do*, conform paradigmii armonice despre care am vorbit deja.

În continuare, se identifică componentele spectrale comune ale perelilor formate din fundamentalele succesive din lista anterioară. Pentru aceasta, vom nota spectrul asociat unei fundamentale cu  $\{DO\}$ , reprezentând multimea armonicelor impare ale lui *Do*.

Atunci, intersecția spectrelor primelor două fundamentale va fi:

$$\{DO\} \cap \{FA\}$$

urmează:

$$\begin{aligned}\{FA\} \cap \{SOL\} \\ \{SOL\} \cap \{DO\} \\ \{DO\} \cap \{LA\} \\ \{LA\} \cap \{RE\} \\ \{RE\} \cap \{SOL\}\end{aligned}$$

Să luăm cazul - aproape - cel mai simplu, care este  $\{SOL\} \cap \{DO\}$ . El este cel mai simplu pentru că două fundamentale aflate în raportul 3/2 (a se vedea modul în care anterior s-a calculat seria fundamentalelor  $Do - Fa - Sol - (Do) - La - Re - Sol - [Do]$ ) oferă cea mai mare mulțime de componente comune, în mod evident, ușor de identificat. Explicația se poate găsi în însăși rezonanță naturală, unde primul sunet diferit de fundamentală este al 3-lea, care, matematic apare prin multiplicarea cu 3/2.

**Exemplul 6.3** Fie intersecția  $\{SOL\} \cap \{DO\}$ . Rezultă două mulțimi identice ca și componente, dar pe poziții diferite în raport cu fundamentală:

- $\{3_{DO}^0, 9_{DO}^0, 15_{DO}^0\}$  : submulțimea armonicelor lui  $Do$  pe care le regăsim între armonicele lui  $Sol$
- $\{2_{SOL}^0, 3_{SOL}^0, 5_{SOL}^0\}$  : submulțimea armonicelor lui  $Sol$  pe care le regăsim între armonicele lui  $Do$

unde:  $n_{NOTA}^0$  reprezintă armonicul  $n$  al notei NOTA.

◊

**Exemplul 6.4** Fie intersecția  $\{DO\} \cap \{FA\}$ . Rezultă două mulțimi identice ca și componente, dar pe poziții diferite în raport cu fundamentală:

- $\{4_{DO}^0, 12_{DO}^0, 20_{DO}^0\}$  : submulțimea armonicelor lui  $Do$  pe care le regăsim între armonicele lui  $Fa$
- $\{3_{FA}^0, 9_{FA}^0, 15_{FA}^0\}$  : submulțimea armonicelor lui  $Fa$  pe care le regăsim între armonicele lui  $Do$

◊

Trebuie menționat faptul că, pe măsură ce urcăm pe scara spectrelor, componentele crescând numeric, cele comune între două spectre cresc și ele numeric, mulțimea de intersecție mărindu-se constant. În zona cea mai înaltă, numită *zona reziduală*, practic se astă la o convergență a spectrelor datorată faptului că o diferență mică între două armonice de frecvență foarte mare devine irelevantă.

Toate aceste date au consecințe în diversele ipostaze de transformare în timp real (*live electronics*) aplicată discursului sonor. Să presupunem, de exemplu, că anvizajăm chiar reliefarea trecerii de la un spectru la altul prin două “culori” diferite aplicate mulțimii comune, ce are o anumită pondere față de fundamentala X și alta față de fundamentala imediat succesiivă, Y. Atunci, pe o anumită porțiune a spațiului sonor, se va aplica un anume tratament de transformare în timp real a sunetului, iar pe porțiunea următoare unul diferit.

#### 6.4.2 Sintagmatizare 1

Menționăm, încă odată, faptul că lucrarea *Itinéraires à l'intérieur du son I*, a cărei primă pagină este reproducă în Figura 6.4, este concepută pentru un instrument obligat/solist, flautul, la care se adaugă un grup restrâns de instrumente ce încadra solistul (numit, în muzica clasice, concertino), ce constă din trei instrumente: percuție, un al doilea flaut și clarinetul. În jurul tuturor se află un grup orchestral camerale. Atribuțiunile fiecarei entități indicate sunt diferite. Astfel, numai flautul solist și instrumentele din grupul concertino vor intra sub incidența tratamentului semnalului sonor în timp real (*live electronics*).

Să racapitulăm cele ce au fost expuse anterior și să clarificăm, definitiv, un aspect de strategie decizională componistică.

Este vorba despre prima secțiune a primei părți a lucrării. Aceasta cuprinde spectrele frecvențelor indicate la 6.4.1 (spectrele, s-a menționat, alcătuite din multipli cu numere impare ale acestor fundamentale). Succesiunea respectivă este marcată – la schimbarea fundamentelor - de apariția subliniată a componentelor comune. Cu alte cuvinte, ultima porțiune (componentele impare ale fundamentalei  $F_1$ ) și prima porțiune a noii fundamentale (componentele impare ale lui  $F_2$ ). Schematic, lucrurile se prezintă ca în Figura 6.3. Cele două coloane juxtapuse reprezentă, cum am arătat, spectrele

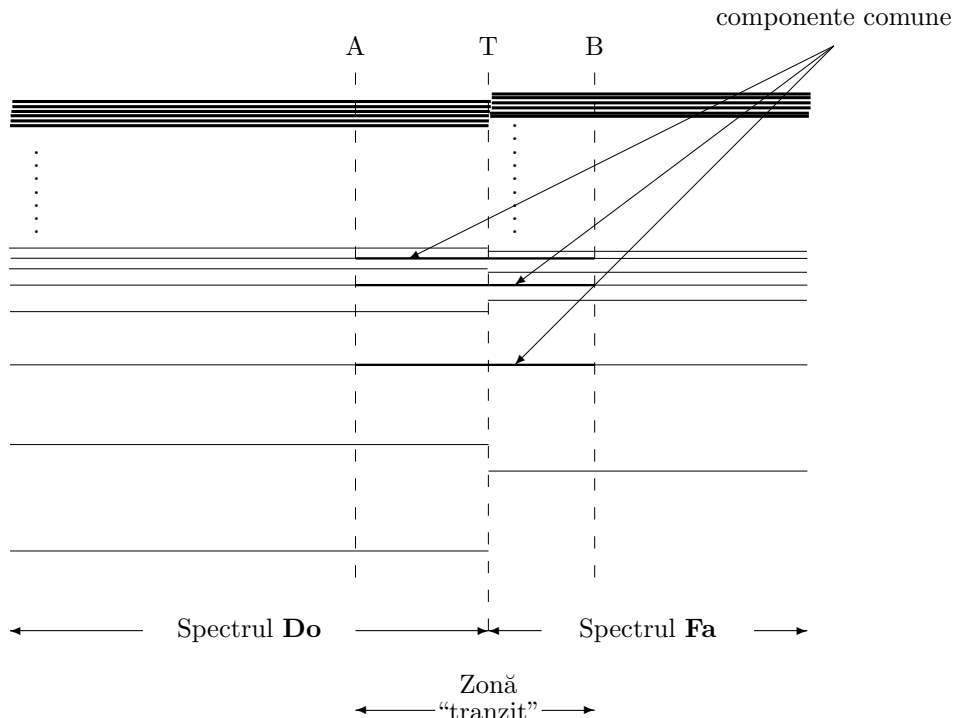


Figura 6.3: Reprezentarea schematică a tranziției între spectre (respectiv Do și Fa).

de armonice impare ale fundamentelor Do (33Hz) și Fa (44Hz). În același timp este marcată, în zona de “tranzit”, prin linii îngroșate seria componentelor comune ale acestor spectre. Este reliefat faptul că trecerea de la un spectru la altul se face prin aportul sonor al instrumentelor din *concertino* (percuția mai ales) care intonează aceste sunete de intersecție.

Pentru edificarea celor care vor să aprofundeze muzical problema înfățișată, reproducem în Figura 6.4 prima pagină a partiturii. Se constată distribuția la diverse instrumente a spectrului de impare ale lui Do și apariția, la un moment dat, la percuție – un *glockenspiel* – a sunetelor de intersecție între spectrele lui Do și ale lui Fa.

*itinéraire*      *fred popovici*

I

GL

Figura 6.4: Prima pagină din *Itinéraires à l'intérieur du son I.*

### 6.4.3 Sintagmatizare 2

Secțiunea principală – de fapt, centrul lucrării – a părții I-a este ocupată de o structură destul de complexă, ce simulează, în linii generale, procedeul binecunoscut, din electroacustică, al *buclei de re-injecție*. În substanță, este vorba, în cazul acestei bucle, de reiterarea multiplă a unei structuri sonore ce se degradează și/ sau se disipează pe măsură ce această reiterare progresează.

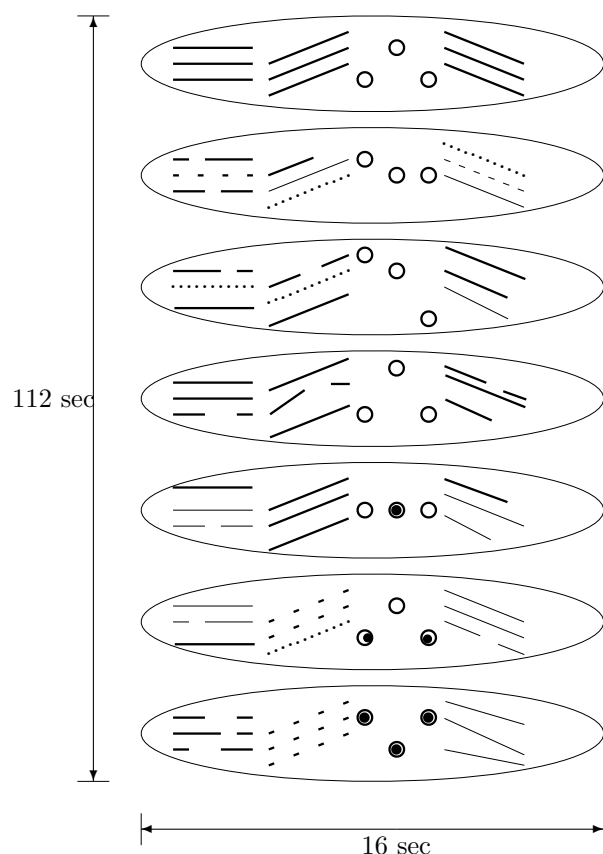


Figura 6.5: Simularea buclei de reinjecție. (Secțiunea centrală a părții I).

De exemplu, în cazul unei înregistrări analogice, mecanice, pe bandă de magnetofon înregistrarea și copierea de pe această bandă pe o altă bandă produce, după câteva reluări, distorsiuni evidente, imediat perceptibile, ale

Figura 6.6: A 12-a pagină din *Itinéraires à l'intérieur du son I.*

materialului înregistrat. Trebuie arătat faptul că acest procedeu pur tehnic ilustrează și subliniază foarte bine logica intrinsecă a oricărui discurs sonor care – derulându-se pe axa negentropică a timpului – antrenează, în desfășurarea lui, o ireversibilă transformare a parametrilor conținuți.

În *Itinéraires à l'intérieur du son I*, organismul sonor (sau structura, dacă am folosi un limbaj mai convențional) ce este supus procedeului descris mai sus este realizat în felul următor:

- are o durată de (aproximativ) 16 secunde: în termeni muzicali aceasta înseamnă 4 măsuri de câte 4 tempi fiecare, la  $MM = 60$
- este alcătuită din suprapunerea a trei contururi monodice (melodice), primul extras din câteva armonice ale lui Do (33 Hz), al doilea, similar, din armonicele lui Fa (44 Hz) și al treilea din cele ale lui Sol (49,5 Hz). Cele trei contururi sunt repartizate, în ordine, flautului solist și grupului concertino (flaut, percuție și clarinet).

Pe parcursul a 7 “episoade” (incluzând și pe cel inițial, descris anterior), având o durată de 16 secunde multiplificate cu 7 (aproximativ două de minute), organismul sonor inițial se transformă, se distorsionează și disipează continuu: toți parametrii sonori sunt “fractalizați”, în accepțiunea generică a termenului.

În Figura 6.5, este prezentat vizual procesul ce a fost enunțat anterior. Fiecare “episod” este arătat ca o elipsă simbolizând anvelopa virtuală a acestuia. În interiorul elipsei, cele trei contururi melodice sunt desenate prin module grafice alese arbitrar numai pentru puterea lor de sugestie. Transformările continue, deja menționate, sunt reprezentate prin modificări continue ale celor trei conducte melodice. (Fiecare conduct melodic, în interiorul unui “episod”, este alcătuit dintr-o linie orizontală, una cu o înclinare spre dreapta, un cerculeț și o linie cu înclinare spre stânga.) Faptul că toți parametrii ce alcătuiesc aceste linii melodice sunt alterați în mod neregulat și continuu este sugerat de felul în care, de la un episod la altul, fiecare linie și cerculeț variază ca formă tot continuu.

# Capitolul 7

## Aplicarea tehniciilor de live electronics

În literatura de specialitate, prin tehnicele de *live electronics* se înțelege totalitatea procedeelor prin care se aplică diverse transformări sunetului în chiar timpul producerii lui. În felul acesta, se înțelege că *live electronics* se separă total de tehnicele electronice pre-preparate; prin ele înțelegem înregistrări făcute înainte de performanță, pe bandă de magnetofon și, mai recent, pe alte suporturi electronice, care sunt derulate în timpul execuției lucrării. Din acest motiv, tehnicele *live electronics* să înrudească și chiar se confundă, până la un anumit punct – cu impovizația realizată informațional; aceasta înseamnă că produsul *live* este transformat în timp real într-un instrument oarecare chiar de către interpret (un astfel de instrument este pedala de care dispune instrumentistul, pe care o apăsa în timp ce cântă la instrumentul său, semnalul fiind transmis unui calculator ce produce sunete în funcție de un program prestabilit).

### 7.1 Tehnici de live electronics

În linii generale, tehnicele de *live electronics* însemnă apelul la:

**procedee paradigmaticice;** sunt cele care, de obicei, pot fi aplicate indeterminate la orice tip de realizare cu *live electronics*; ele sunt:

- întârzierea semnalului (*delay*)
- reverberația (*reverb*)

- ecoul (*echo*)
- panoramarea
- efectul Doppler

**procedee sintagmatische;** sunt toate procedeele care fac apel la mijloace elaborate, bazate pe programe, precum:

- filtrele
- sinteza în timp real a sunetului
  - adițională
  - granulară
- modulațiile
  - *ring modulation*
  - modulația de frecvență
  - modulația de amplitudine

### 7.1.1 Procedee paradigmaticice

**Delay** Procedeul delay-ului, pe care, uneori, în literatura de specialitate, îl întâlnim sub titulatura de efect (alături de celealte paradigmaticice), se recomandă de la sine: înseamnă, pur și simplu, că semnalul emis de o sursă oarecare este decalat, în timp, față de el însuși. Eficiența lui este funcție de intervalul de timp ales pentru a-l realiza.

**Reverberația** este, într-adevăr, un efect ce s-a folosit, în înregistrări, încă din timpuri imemoriale. El ajută sunetul să străbată mai plin în audiență. Există o mare varietate de metode (simple) pentru a-l realiza.

**Ecoul**, la rîndul său, este foarte solicitat, atât în înregistrări, cât și în execuțiile muzicale în timp real.

**Panoramarea** este un efect (procedeu) ce se referă la acțiunea sunetului la nivelul difuzeorilor. Avînd mai multe aparate de acest fel, sunetul poate fi distribuit în foarte multe modalități în fiecare difuzor în parte, ca și la nivelul raporturilor dintre acestea, în legătură directă cu scopul acustic urmărit de acțiunea asupra sunetului.

**Efectul Doppler** este un procedeu mult mai complicat decât celelalte, mult mai greu de realizat și la care, majoritatea rezultatelor obținute este mai degrabă la nivel metaforic, o simulare aproximativă a ceea ce se întâmplă în realitate. Se știe că o sursă sonoră produce senzația de creștere a înălțimii (frecvenței) sale când se apropie și efectul contrar (scădereea înălțimii) când se îndepărtează. Instrumentele unui ansamblu ce execută o lucrare muzicală se află, tot timpul, în poziții fixe și de aceea, spuneam, efectul Doppler poate fi doar vag aproximativ, exclusiv prin procedee electroacustice.

### 7.1.2 Procedee sintagmatische

**Filtrele** sunt procedee care acționează asupra componentelor spectrale ale unui sunet, realizând distorsiuni semnificative ale acestuia. Există, în primul rînd, filtre naturale (să le spunem aşa), care sunt toate tipurile de surdine, atât pentru instrumentele de suflat din alamă – trompetă, cornul, trombonul, tuba – cât și pentru instrumentele de corzi – vioara, viola etc. Cu puțină fantezie, se pot confecționa și surdine pentru suflătorii de lemn – flautul, oboiul etc. Filtrele, pe de altă parte, sunt procedee abstractizabile, teoretic concepute, de acțiune asupra semnalului sonor. În electroacustică, se întâlnesc trei tipuri de filtre: *low-pass filter* (filtru trece-jos), *high-pass filter* (filtru trece-sus) și *band-stop filter* (filtru oprește-bandă). Acțiunile lor sunt: primul taie din frecvențele înalte ale spectrului, al doilea, invers, din cele joase, iar al treilea taie pe o anume fîșie spectrul respectiv.

**Sinteza adițională**, adică sinteza prin adunare (ori, invers, prin scădere) a fost prezentată în secțiunea 6.2. și nu mai revenim aspră ei.

**Sinteza granulară** este un procedeu mult mai recent și se realizează cu ajutorul calculatorului. Compozitorul grec Yannis Xenakis a avut, primul, intuiția realizării unei structuri sonore foarte dense, alcătuită, însă, din ne-numărate particule infinitezimale (**granule** sonore cu durate variind între 1 ms și 50 ms), în compozițiile sale din anii 1950, *Metastasis* și *Pithoprakta*. Mai tîrziu, către sfîrșitul secolului trecut, mai mulți teoreticieni și compozitori au preluat ideea lui Xenakis și au dezvoltat-o conceptual. În esență, sinteza granulară are puternice similitudini cu metoda eșantioanelor (a *samplerurilor*), bazîndu-se pe crearea unor fragmente extrem de mici și extrem de mobile ale parametrilor sonori.

***Ring-modulation*** este o modalitate de lucru prin care se produc efecte reciproce între două semnale sonore, astfel încît suma și diferența dintre valorile lor frecvențiale să realizeze straturi inarmonice. Este înrudită, într-un fel, cu modulația de amplitudine.

Celelalte două tipuri de modulație sunt procedee electronice consacrate.

## 7.2 Studiu de caz (continuare)

Vom relua în această secțiune problemele abordate, din punctul de vedere al strategiei compoziționale, pentru a le transla în domeniul interpretării extinse, pe care-l reprezintă procedeele de *live electronics*. Este vorba de lucrarea lui Fred Popovici, *Itinéraires à l'interieur du son*.

### 7.2.1 Procesarea live electronics a tranziției între spectre

Cum s-a mai spus, tot ceea ce a fost arătat în paragraful 6.4.2, procesualitatea componistică expusă, trebuie să fie ranforsată și mai limpede prin introducerea procedeeelor de tratament în timp real al sunetului, recte, de către instalația de *live electronics*. Porțiunea ce reprezintă zona de “tranzitie” este cea care va fi supusă acestui tratament. Cu alte cuvinte, doar instrumentele din grupul concertino (percuția, flautul și clarinetul) vor fi transformate în timp real.

Întrucât tranzitia de la spectrul lui Do la cel al lui Fa, la începutul lucrării, este realizată doar de percuționistul din grupul concertino, pe instrumentul numit *glockenspiel*, ne vom concentra asupra procedurii de *live electronics* aplicată asupra acestuia. *Glockenspiel*-ul intervine după un anumit interval de timp (de la punctul notat cu A în Figura 6.3) după ce orchestra a produs spectrul lui Do și continuă să intoneze componentele comune, după schimbarea fundamentalei în Fa (la momentul T) până la momentul B, când încetează. În Figura 7.1 am reprezentat numai componentele comune celor două spectre ce se succed și pe care le însumează *glockenspiel*-ul.

Se lucrează la două niveluri:

- cel al unor procedee din zona numită paradigmatică
- cel al transformărilor mai complicate, sintagmatice.

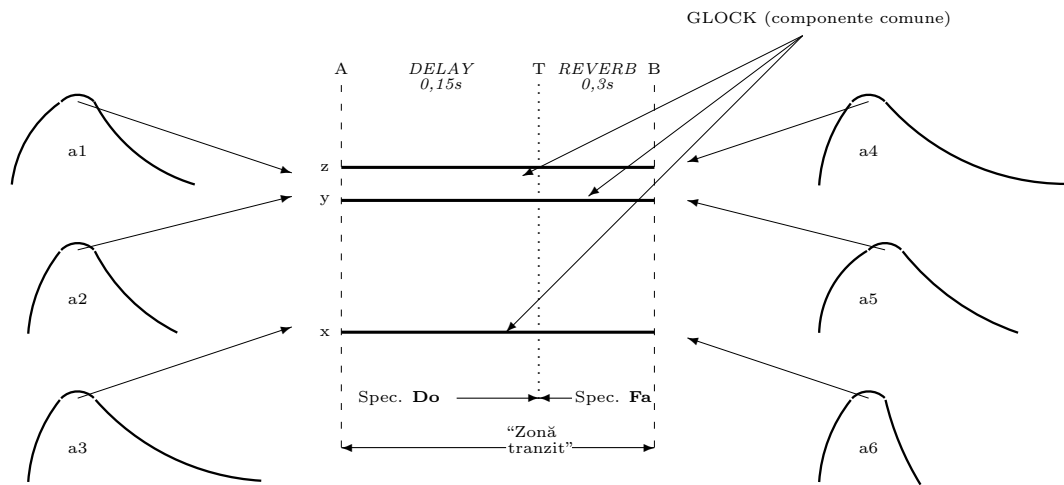


Figura 7.1: *Live electronics* pentru tranziția dintre spectrele lui Do și Fa.

**Primuul nivel** se aplică în felul următor: portiunii A-T, din prestația instrumentului, i se aplică un *delay* de 0,15sec, iar în portiunea T-B *delay-ul* este înlocuit printr-un *reverb* de 0,3sec.

**Al doilea nivel** produce modificarea envelopelor de atac al sunetului. Să presupunem că celor trei componente comune – x, y, z – li se aplică în portiunea A-T envelopele **a1**, **a2** și **a3**, iar în portiunea T-B cele trei envelope sunt înlocuite cu **a4**, **a5** și **a6** (vezi Figura 7.1). Toate cele 6 envelope pot fi “variațiuni” ale unor envelope luate din înregistrări ale *glockenspiel*-ului. Pe de altă parte, există și posibilitatea ca ele să fie desenate după envelopele reale descoperite în înregistrări ale altor instrumente de percuție.

### 7.2.2 Procesarea live electronics a buclei de reinjectie

Totalitatea procedeelor care au generat forma muzicală vor fi utilizate în mod concret pentru extinderea execuției sonore prin *live electronics*. Aceasta înseamnă că vor exister două paliere de lucru, cel prin care se aplică și în tehnologia *live electronics* un filtru/amplificator și un al doilea palier prin care se acționează similar în ceea ce privește un generator de zgomot prin

“tasare” (vezi sistemul FAZT descris în 5.3.3).

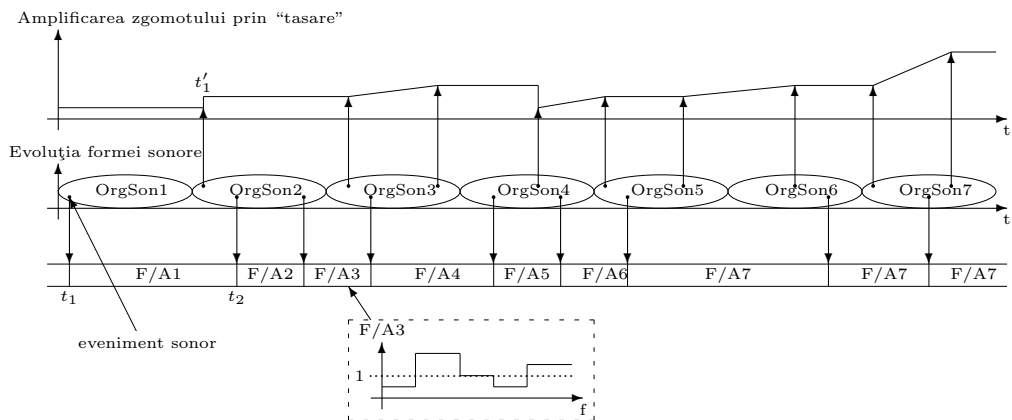


Figura 7.2: Interacția dintre execuția formei sonore și FAZT.

În Figura 7.2 sugerăm modul în care procedele de *live electronics*, bazeate pe dispozitivul FAZT, se aplică practic formei muzicale realizare în secțiunea 6.4.3. Evoluția formei sonore este reprezentată prin aceleasi elipse –  $\text{OrgSon}_1, \dots, \text{OrgSon}_7$  – care sunt ordonate liniar. Deasupra și dedesubtul lor au fost reprezentate cele două procesualități denumite *amplificarea zgomotului prin “tasare”*, respectiv înlăncuirea profilelor diferite ale filtrului/amplificator –  $F/A_1 \dots F/A_9$ . Punctele din  $\text{OrgSon}$ -uri din care emerg, în sus și în jos, săgețile sunt microevenimente indicate în partitură. Microevenimentele declanșează procesul de modificare fie a amplificării generatorului de zgomor prin “tasare”, fie a profilului filtrului/amplificator. Pentru edificare, am exemplificat, în figură, profilul  $F/A_3$ .

Pentru realizarea efectivă a unei execuții în concert, toate profilele aferente celor două niveluri sunt configurate în prealabil, astfel încât ele pot fi apelate prin simple comenzi de tip `next`.

Compoziția spectrală a zgomotului de “tasare” poate fi specificată în mai multe moduri. Spre exemplu, poate fi indicată ca frecvență de “tasare” o anumită frecvență, constantă de-a lungul întregului proces. Sau, o altă posibilitate, este selectarea în timp real a fundamentaliei cu frecvență minimă.

## Capitolul 8

### Arhitectură *live electronics*

În cele ce urmează, vom propune o modalitate de creștere a eficienței unui sistem *live electronics*. Nivelul actual al cercetărilor și realizărilor din domeniul *live electronics* poate fi sintetizat în felul următor: execuția unei lucrări muzicale este urmărită de o echipă de asistență tehnică, care operează asupra dispozitivelor de transformare/generare a semnalului. Concret, echipa urmărește desfășurarea microevenimentelor execuției și intervine, activând funcții presetate, ce pot fi incluse în ceea ce s-a spus anterior referitor la procedee paradigmatic sau sintagmatice.

Tehnologiile IT curente ne permit să elaborăm sisteme mult mai eficiente, ceea ce se traduce prin mărirea complexității și fineței travaliului, ca și prin creșterea vitezei de intervenție a procedeelor *live electronics*. Un alt efect, pe plan economic, este reducerea echipei de asistență tehnică, prin asumarea de către un sistem automat a acțiunilor acesteia. Implicit, prin această strategie, se doresc contactul direct al compozitorului cu “instrumentul” care-i traduce intențiile. Astfel, compozitorul nu mai are nevoie de o calificare avansată în domeniul IT. Un efect suplimentar, de neignorat, este eliminarea intervalelor mari de timp de lucru într-un centru electroacustic.

În acest moment putem vorbi despre propunerea proprie a unei arhitecturi de *live electronics*. Pentru a ilustra modul de funcționare a acestei arhitecturi, pornim de la aplicarea practică a *Sintagmatizării 2*, parte a lucrării *Itinéraires* (vezi 7.2.2). În Figura 7.2 forma sonoră reală, bazată pe partitură, este acompaniată de execuția unor procedee de *live electronics* declanșate de microevenimente existente și identificate în aceasă formă. Evenimentele sunt marcate prin puncte din care emerg sageți către profilele caracterizând procesările *live electronics* folosite (în acest exemplu): zgomorul de “tasare” și

filtrul/amplificator.

Problema esențială în funcționarea arhitecturii propuse este stabilirea concordanțelor, mai mult sau mai puțin aproximative, dintre partitură și execuția ei. Aceste concordanțe sunt necesare pentru identificarea punctelor remarcabile ce declanșează diferitele etape ale procesului *live electronics* (vezi Figura 7.2).

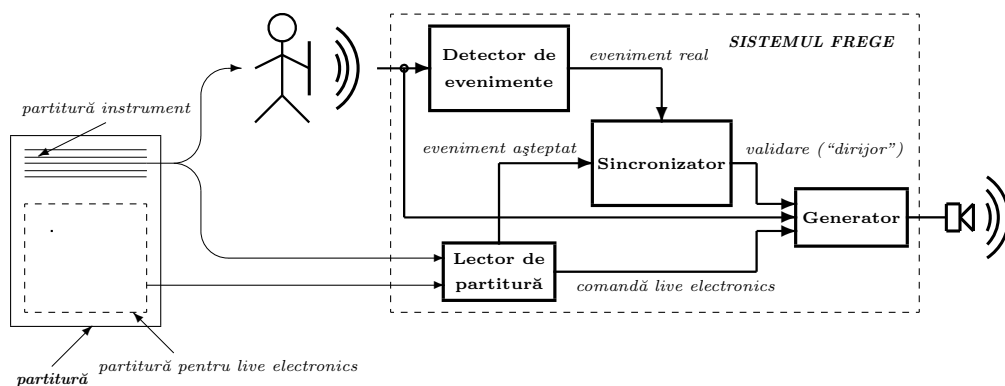


Figura 8.1: Sistemul FREGE de *live electronics*

Arhitectura propusă este reprezentată schematic în Figura 8.1. În linii mari, avem trei componente principale: o partitură, un interpret care o execută și sistemul de *live electronics* propus (pe care-l denumim FREGE).

**Partitura** este constituită din ceea ce putem numi *pre-partitură* (forma standard a unei partituri) și din “partitura” după care se execută procesarea *live electronics*. Partitura *live electronics* conține indicațiile pentru acest demers, sub forma unor simboluri ce definesc un limbaj specific.

**Sistemul *live electronics*** se constituie din următoarele componente:

**Lector de partitură:** cel care urmărește simultan simbolurile din cele două sub-partituri

**Detector de evenimente:** cel care recepționează convertirea în semnal sonor a semnelor din partitură și regenerază partitura sub formă simbolică

**Sincronizator:** detectază producerea microevenimentelor sonore stabilite ca fiind remarcabile în sub-partitura *live electronics*

**Generator:** are trei intrări:

- de la **Sincronizator**, de la care primește un semnal de declanșare a unui transformări *live electronics*; deci primește comanda de **când**
- de la instrumentist, de la care primește semnalul ce va fi transformat; deci primește **ce** se transformă
- de la **Lector de partitură**, de la care primește transformarea sub forma unei secvențe simbolice de configurare; deci primește comanda referitor la **cum** se transformă.

Referindu-ne la procesul reprezentat în Figura 7.2, avem următoarea desfășurare:

- inițial atât **Generator de zgomot prin “tasare”** cât și **Filtru/amplificator-ul** (vezi Figura 5.6) sunt preprogramate cu valori de start
- la momentul  $t_1$  este detectat, de către **Sincronizator**, un microeveniment care determină modificarea parametrilor **Filtru/amplificator-ului** prin transferul bloclui de date F/A1 **Generator-ului** de către blocul **Lector de partitură**
- la momentul  $t'_1$  este detectat, de către **Sincronizator**, un alt microeveniment care determină modificarea parametrilor generatorului de zgomot
- la momentul  $t_2$  este detectat, de către **Sincronizator**, un microeveniment care determină modificarea parametrilor **Filtru/amplificator-ului** prin transferul bloclui de date F/A2 **Generator-ului** de către blocul **Lector de partitură**
- ...

Realizarea acestei arhitecturi presupune un proiect cu următoarele etape: definirea limbajului “partituri” *live electronics*, definirea și implementarea componentelor sistemului FREGE.

Definirea limbajului “partiturii” *live electronics* se face pe două nivele. Un prim nivel se referă la simbolurile și parametrii pe care-i scriem direct în partitură. Spre exemplu: `delay(200)`, `reverb(300)`, `F/A5ZT(300, 2)`, `F/A5`. Formulele anterior listate sunt intepretate diferit. Primele trei conțin informația completă asupra procesului la care se referă. Într-adevăr, `delay(200)` se traduce prin întârziere de 200 ms. Ultima formulă se referă la un proces caracterizat complex printr-o listă structurată de parmetri. Spre exemplu:

$$(F/A5 ((0 \ 300 \ 0,8)(300 \ 500 \ 2,3) \dots \ (1200 \ 1350 \ 0,3))$$

este interpretat ca descriind o anvelopă de frecvență cu următoarele caracteristici: de la 0Hz la 300 Hz amplificarea este 0,8, de la 300Hz la 500 Hz amplificarea este 2,3, și.a.m.d.

Existența unei astfel de liste, în anumite cazuri, impune cel de al doilea nivel, inaparent, al “partiturii” *live electronics*. Unde apare, totuși, acest nivel? În programele care descriu funcționarea blocului **Generator**.

Între modulele sistemului FREGE există o diferențiere de complexitate în structurarea lor. Cel mai dificil de realizat este blocul **Detector de evenimente** deoarece trebuie să pornească de la sunetele emise de interpret și să reconstituie pre-partitura. Este de fapt operația inversă execuției. Această operație este întotdeauna aproximativă, întrucât nu există interpretare perfect suprapusă datelor pre-partituirii. Sarcina blocului **Sincronizare** este să estimeze gradul de concordanță între semnal și partitură, pentru a determina momentul efectiv de declanșare a unei transformări. Blocul **Generator** este implementat de unul dintre programele standardizate de *live electronics* (spre exemplu: Pure Data, MAX/MSP), care-și primește input-ul de la **Sincronizator**, **Lector de partitură** și semnalul emis de interpret.

Avantajele pe care le estimăm prin realizarea arhitecturii FREGE ar fi: creșterea eficienței în aplicarea procedeelor *live electronics* și *ipso facto* ajutorul acordat compozitorului în travaliul său. Un alt avantaj este simplificarea relației dintre creator și ansamblul de interpreți.

## **Partea III**

### **ANEXE**



# Anexa A

## ANTLRWorks

Autor: *Robert Alexandru Dobre*

ANTLRWorks (ANTLR ANother Tool for Language Recognition) este un mediu pentru dezvoltarea de gramatici scris de Jean Bovet. Acesta este format dintr-un editor cu ajutorul căruia se pot defini gramaticile și un asistent de interpretare (“interpreter” în limba engleză) care, pe baza unei expresii introduse, va genera arborele de parsare și va indica dacă expresia face sau nu parte din gramatica descrisă în editor. Avantajul major al acestei aplicații este că oferă o interfață grafică suficient de sugestivă, utilizatorul fiind nevoit să învețe numai modul în care se definesc gramaticile. Introducerea regulilor, terminalelor și neterminalelor facându-se într-un limbaj de nivel înalt, lucrul cu aplicația este mult simplificat. În continuare, vom prezenta, cu ajutorul câtorva exemple, cum se poate folosi ANTLRWorks, pentru a defini gramatici și a parsa expresii.

### A.1 Instalare

Înaintea instalării ANTLRWorks, este necesar să se instaleze Java (<http://java.com/en/download/index.jsp>). În continuare, se va descărca programul de la următoarea adresă web: <http://www.antlr3.org/works/>.

### A.2 Editorul

Aplicația imediat după lansare va arăta ca în imaginea din Figura A.1.

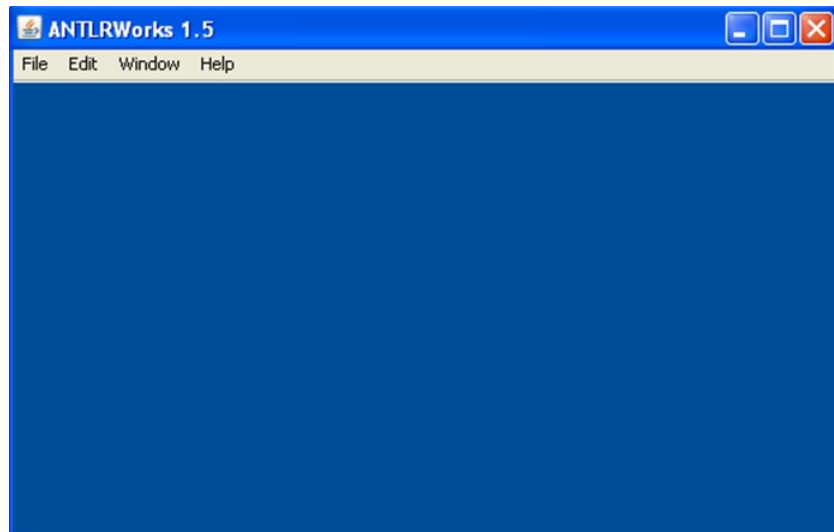


Figura A.1: ANTLRWorks prima lansare.

Pentru a introduce o nouă gramatică, se va selecta **New...** din meniul **File**. Din noul meniu se va selecta **ANTLR 3 Grammar (\*.g)**. În fereastra **New Grammar Wizard** se va introduce un nume pentru gramatică în câmpul **Grammar Name** și se va selecta **OK**. Dacă, de exemplu, a fost introdus numele **test**, fereastra ar trebui să arate ca cea din Figura A.2.

Se observă că aplicația a scris automat prima linie de cod și anume: **grammar test;**. Se va salva fișierul cu același nume ca cel al gramaticii. În continuare, putem începe să definim reguli, terminale și neterminale.

Neterminalele se introduc cu litere mici, terminalele se scriu între ghilimele simple (exemplu: terminalul a va fi introdus ca **'a'**). Pentru a evita eventualele confuzii, este recomandat să se introducă numele unui neterminal urmat de litera **n** (**neterminal**) sau marcat într-un alt fel ales de utilizator. Neterminalele pot fi scrise și ca grupuri de litere și/sau cifre (de exemplu: **a** sau **an** sau **neterminalula**). Acest lucru va face mai ușoară citirea arborelui de parsare (programul nu afișează diferit terminalele și neterminalele în arbore, utilizatorul trebuie să poată distinge între ele. Dacă avem, de exemplu, neterminalul a care poate trece în terminalul **'a'**, arborele poate fi mai greu de citit, mai ales în procesul de debugging).

Regulile au următoarea sintaxă:

```
neterminal : expresie_1 | expresie_2 | ... | expresie_n ;
```

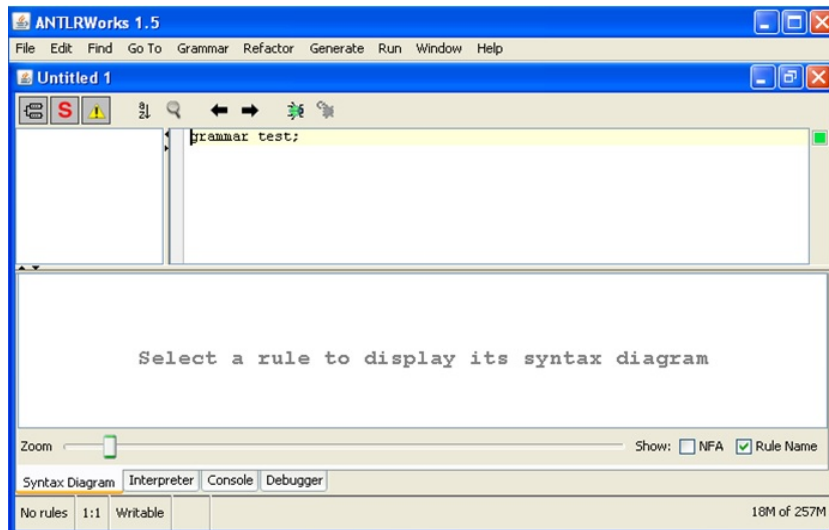


Figura A.2: Editorul pentru gramatica cu numele “test”.

unde: `expresie_i`,  $i=1\dots n$ , poate fi un neterminal, un terminal sau o combinație de terminale și neterminale. Combinățiile se scriu introducând minimum un spațiu după fiecare terminal/neterminal (vezi secțiunea *Reguli recursive* pentru un exemplu). Se observă că terminalele și neterminalele sunt definite în cadrul regulilor.

Pentru exemplificarea celor descrise mai sus, vom scrie o gramatică ce poate genera o singură literă, 'a' sau 'b'. Regulile, conform notațiilor din curs, sunt următoarele:  $S \rightarrow A, a$  și  $A \rightarrow b$ . Se poate observa că putem scrie totul sub forma  $S \rightarrow a, b$  fără a avea nevoie de neterminalul  $A$ , dar exemplul este pur didactic.

Așadar vom introduce regulile după cum urmează:

```
sn : an | 'a'; // S → A, a
an : 'b'; // A → b
```

Fereastra ar trebui să arate ca în Figura A.3.

În partea de jos a ferestrei programului, regulile se pot observa sub formă de diagramă. Pentru a observa o regulă în această formă, trebuie să punem cursorul undeva în codul care descrie regula (în cazul de față cursorul este înainte de neterminalul 'a', în prima regulă, deci obținem reprezentarea acestei reguli sub formă de diagramă). Se mai observă că neterminalele și terminalele sunt scrise cu culori diferite.

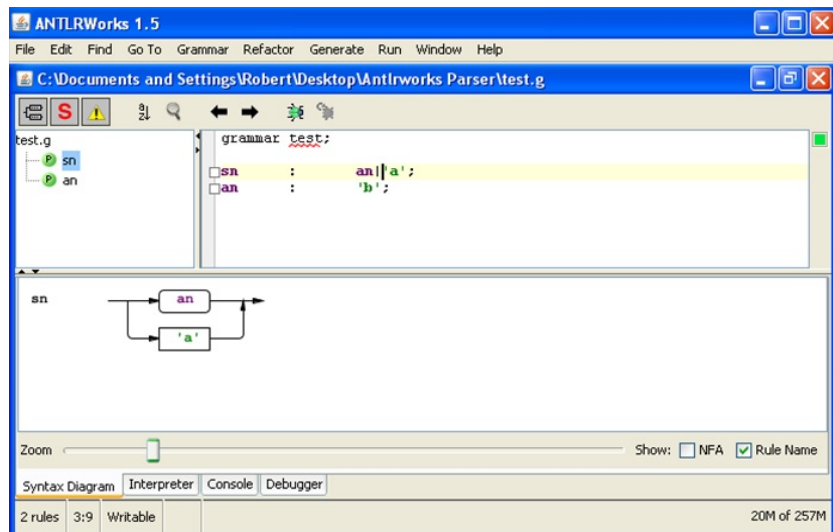


Figura A.3: Gramatica “test” cu cele două reguli introduse.

### A.3 Asistentul pentru interpretare

Pentru a găsi dacă anumite expresii pot fi generate cu ajutorul gramaticii introduse, vom folosi asistentul pentru interpretare. Pentru aceasta, trebuie să selectăm tab-ul Interpreter din partea de jos a ferestrei programului.

Zona în care erau afișate diagramele s-a împărțit în două. În partea din stânga se va introduce expresia de evaluat, iar în partea din dreapta va fi afișat arborele de parsare. Pentru a parsa o expresie, după introducere se va selecta neterminalul rădăcină al arborelui de parsare (din drop-down list-ul indicat de caseta 1) și se va apăsa butonul de start (indicat de caseta 2). Va fi afișat arborele de parsare, neterminalul **sn** a trecut direct în terminalul **a**. Puteți încerca să parsați expresia ce conține numai litera **b**. Ar trebui să se obțină arborele de parsare pornind din neterminalul **sn** care va trece în neterminalul **an** care, la rândul său, va trece în terminalul **b**.

*Pentru o parsare corectă, în vârfurile arborelui de parsare se va obține chiar expresia introdusă. Dacă expresia este incompletă, parsarea nu a putut fi efectuată.*

Acstea sunt mecanismele de bază ale ANTLRWorks. În continuare, vom prezenta câteva instrumente ce vor fi utile în scrierea gramaticilor mai complexe.

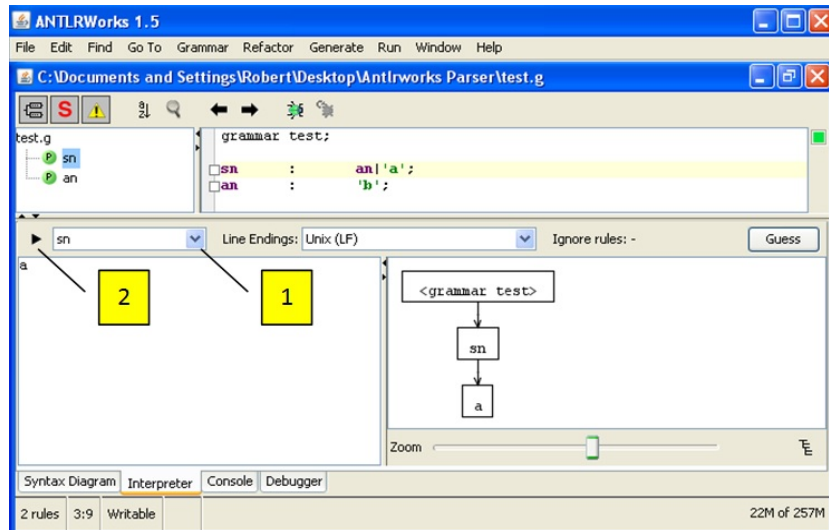


Figura A.4: de interpretare și arborele de parsare pentru expresia 'a'

## A.4 Reguli recursive

ANTLRWorks nu suportă în scriere directă reguli recursive. De exemplu,  $A \rightarrow Ab$  introdusă ca

```
an : an 'b';
// de observat cum în combinația neterminal-terminal se folosește un spațiu
```

ar fi semnalizată ca având o eroare, și anume că este “left-recursive”. Programul poate rescrie regulile automat pentru a nu mai fi recursive. În acest sens, după ce au fost introduse toate regulile, dacă există reguli recursive, se va selecta opțiunea **Remove All Left Recursion** din meniul **Refactor**.

Un alt exemplu de regulă recursivă, pentru familiarizarea cu introducerea combinațiilor de terminale/neterminale:

```
an : an bn 'a' | abc123 an; //se vor observa spațiile și faptul că și neterminalele pot fi reprezentate de grupuri de simboluri.
```

## A.5 Lookahead depth

Un instrument important în ANTLRWorks este “lookahead depth”-ul. Mai multe informații despre acesta se pot găsi la adresa: <http://www.antlr2.org/doc/options.html#k>.

## A.6 Exemple utile

Folosind și aceste două instrumente avansate, se poate defini gramatica dedusă pe baza operelor lui Mozart, prezentată în curs. Codul final, după eliminarea automată a recursivității, este urmatorul:

```
grammar mozart;

options{
k=1; //lookahead depth
}

//setul de reguli
s : a b a;
a : ('42') (a c a)*;
b : (c b | '31') (c)*;
c : ('1111') (d)*;
d : '2222';
```

Alt exemplu prezentat în curs este descris în ANTLRWorks cu urmatorul cod:

```
grammar pag34;
//generare expresii tip ...a+a+a+a+a+(a+a+a+...+a+a)+a+a+a+a+a+...

s : a;
a : (t) ('+' t)*;
t : 'a'|(' a ')';
```

# **Abstract**

## ***Sound & Complexity***

### **Non-Linear Strategies in Music Composition**

### **Argument**

This book is based on the application, or the syntagmatic engagement, of a recent philosophical approach in the field of investigations concerning the sound, of its real-time processing, and the elaboration of a complex strategy in music composition. In other words, the project coherently derives from another one, expanded in the linguistic space.

*De-construction* is a concept (or, rather, an anti-concept) coined by the French philosopher Jacques Derrida with the aim of making ambiguous the semantics of classical, standardized texts of the past and to determine these texts to project new ideology-free meanings. Its aim, therefore, is to extend new from old. Derrida shows that de-construction follows – in its development – two phases: the *shift* (Fr: déplacement) and the *reversal*.

A very simple example could help the understanding of this process; an example taken from musical area, obviously. Beethoven has composed his scores in the well-tempered system (in which the frequencies are given by the powers of  $\sqrt{2}$ ) and by adoption of the great form principle (i.e., a teleological principle concerning the sound organization). Now, the passage to the series of natural harmonics or, to the Chinese pentatonic scale in the field of frequencies - could be equated to a *shift*. And the conversion of the formal strategy from the classical to a repetitive one (the minimalist music of Philip Glass) could be equated to a *reversal*.

The project supported by this book is made of three levels:

- conceptual / theoretical / strategic
- interactive / concrete / technological
- applicative / informational / pragmatic

The first level consists of: working with generative grammars (*Chomsky's* context-free grammars), working with fractals, making sound forms using transforms.

The second consists of: introducing the main live electronics techniques, and a case study concerning an actual score, namely *Itinéraires à l'intérieur du son I* by Fred Popovici.

The third level consists of: supporting a training process (including master and PhD levels), supporting research and creative approaches (developing new architectures and making new musical compositions).

## Theoretical level

### Generative grammars

Every specified formal language can be associated to a grammar that entirely describes it. The musical language is not, strictly speaking, a formalized language, because it emerged from an historical process and it has only few features in common with the natural languages. The technical and the stylistical restrictions that influenced, within this evolution, the musical language induced a set of important formal aspects. We can state, today, the musical language of a certain epoch shows several dimensions that could be formalized.

Let be the following simple example of a context-free grammar:

$$G_1 = (\{S, A\}, \{a, b, c\}, \{S \rightarrow aAa, A \rightarrow aAa \mid bAb \mid c\}, S)$$

It generates, for example:

$$\begin{aligned} S &\rightarrow aAa \\ aAa &\rightarrow aaAaa \\ aaAaa &\rightarrow aabAbaa \\ aabAbaa &\rightarrow aabaAabaa \\ aabaAabaa &\rightarrow aababAbabaa \\ aababAbabaa &\rightarrow aababcbabaa \end{aligned}$$

◇

The use we have in mind for the generative grammars has two aims:

- to **translate** from an initial formal language (extracted from classical samples of music) to another one, called destination language (designed for generating new sound forms); *parsing* is the main mechanism used in this approach
  - to **transform** a sound organism into another ones using different generative decisions inside the same grammar.

## Translating with grammars

We provide an example of applying the translation within the limited context of the rhythmical patterns. We extracted the source grammar,  $G_{M1}$ , from some excerpts belonging to the late piano sonatas by Mozart (KV 331, KV 332, KV 570). Then we defined the destination grammar,  $G_{M2}$ , by defining a new vocabulary and a new set of rules. Afterwards, we used a sample from another sonata (KV 494), we parsed it in  $G_{M1}$  and translated it in  $G_{M2}$  in order obtain a new rhythmical organism.

Actually we performed the following steps. The rhythmical patterns used to extract  $G_{M1}$  are (the beginning of the three sonatas):

$$\begin{array}{ccccccccc|ccccccccc} 4 & 2 & 4 & 2 & 4 & 2 & 4 & 2 & | & 4 & 2 & 4 & 2 & 4 & 2 & 4 & 2 \\ 3 & 1 & 2 & 4 & 2 & 3 & 1 & 2 & 4 & 2 & | & 4 & 2 & 4 & 2 & 4 & 1 & 1 & 4 & 2 \end{array}$$

$$\begin{array}{cccccc|cccccc|cccccc} 4 & 2 & 4 & 2 & 4 & 2 & 2 & 4 & | & 2 & 4 & 2 & 4 & 2 & 4 & 2 & 4 \\ 4 & 2 & 4 & 2 & 4 & 2 & 1 & 1 & 4 & | & 2 & 2 & 2 & 2 & 3 & 1 & 6 & 6 \end{array}$$

$$G_1 = \{G_1^1, G_1^2, \dots, G_1^{n_1}\} \subseteq \{G_1^1, G_1^2, \dots, G_1^{n_1}\} \subseteq \{G_1^1, G_1^2, \dots, G_1^{n_1}\}$$

1. **Principles of the following sections**

where:  $P$  is ma

$$A \rightarrow BC | CB | 6$$

$$B \rightarrow 4 | 31 | 22 | 1111 C \rightarrow 2 | 11$$

We decided the destination grammar is:

$$G_{M2} = (\{S, A, B, C\}, \{1, 2, 3, 4, 6\}, P, S)$$

unde:  $P$  is made of the following productions:

$$S \rightarrow ASA | AA$$

$$A \rightarrow BC | CB | 6 | 111111 | 21111$$

$$B \rightarrow 4 | 22 | 31 | 22 | 1111$$

$$C \rightarrow 2 | 11$$

We selected the beginning of the KV 332 sonata to be translated. The numerical form for its rhythmical structure is:

4 2 4 2 4 2 11 4 | 2 22 2 31 6

The resulting translated form is:

4 2 22 2 4 2 11 22 22 2 2 4 2 1111 6

This result is obviously only statistically similar to the original pattern belonging to the original Mozart's text.

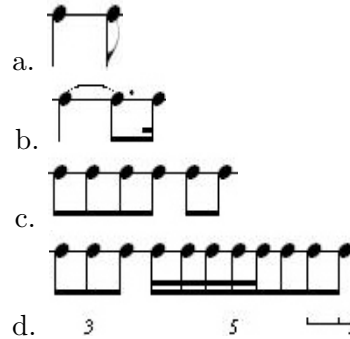


Figure 1.

In the previous example, both the terminals of  $G_{M1}$  and of  $G_{M2}$  were made of Mozart's usual values of notes. We can extend this vocabulary by putting, instead of them, a set of unusual values. For example, the micro-pattern from the Figure 1a is replaced by the micro-pattern from the Figure

1b. Another example is given by the substitution of the micro-pattern from the Figure 1c with that from the Figure 1d.

Thus, we have new and more complex rhythmical patterns which allow us to go far away from Mozart's flavors.

### **Generating and transforming a sound organism using grammars**

Another use of the generative grammars in our project can be done in the field of generating and transforming sound organisms in order to extend them in larger musical forms. Grammars are used to make discrete transforms on sound organisms generated by discrete mechanisms.

In Figure 2, is shown a sound organism **generated** by a certain grammar. The micro-events, represented by different sized circles, are the products of the action of this grammar beginning from the start symbol,  $S$ . The generative tree is symbolised by a triangle, in which is explained how in the node  $xAy$  was applied one of the rules of the form  $A \rightarrow B|C|D$ , the result being, in this case,  $xBy$ .

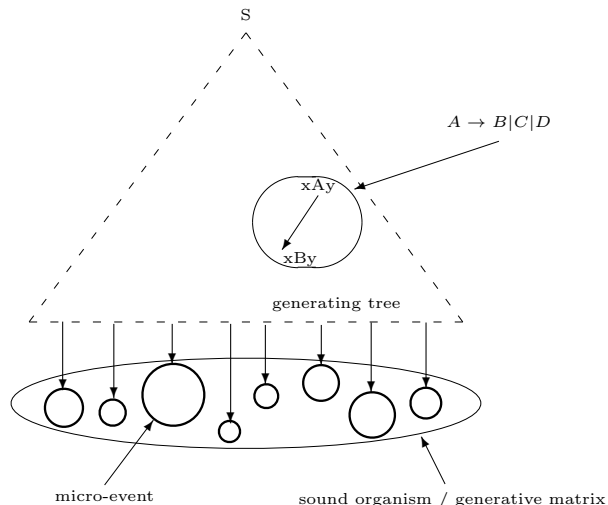


Figure 2. Generating a sound organism.

In Figure 3 is shown the way in which an initial sound organism is transformed by **re-generation**. This apparently means that the micro-events are

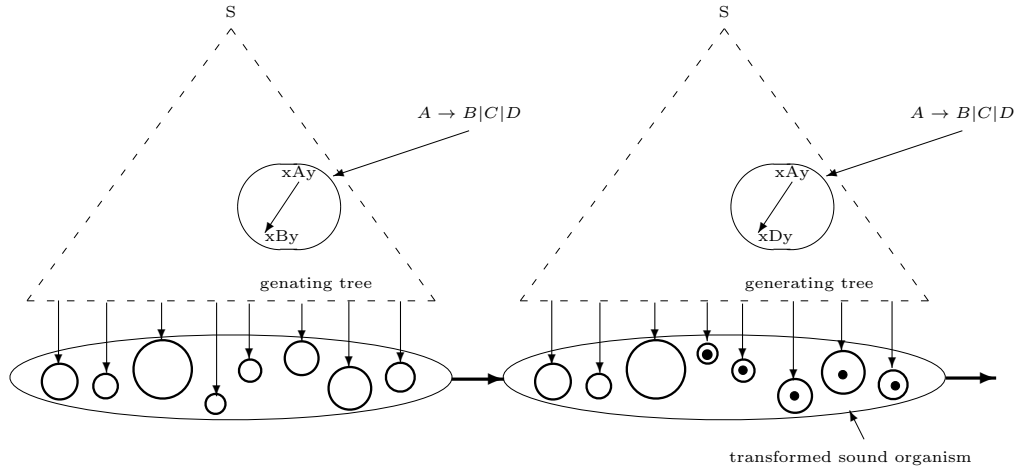


Figure 3. Transforming a sound organism.

subject to a series of distortions. In fact, the process consists of a new generation where in the node  $xAy$  we select to apply, instead of  $A \rightarrow B$  the alternative rule  $A \rightarrow D$ .

## Fractals

The appearance, in mathematics, of the theory of fractals represents a tentative to master the real complexity of the worlds by algorithmic procedures taking into account the *apparent complexity*. This theory of fractals preserves the “obsessions” of the Abrahamic culture (i.e., Mosaic, Christian, and Muslim cultures). In this way, this theory states the hierarchical organization involved in the well-known syntagma “*as above, so below*”.

Important definition: *The algorithmic complexity of a given reality is proportional to the length of the shortest description (i.e., of the shortest program) that could generate this reality.*

The apparent complexity is characterized by the following properties:

- simple rules used to generate it
- the generative rules can not be deduced (or at least in an easy way) from the formal analysis of the generated reality.

When between complexity and appearance there is no a legitimate connection, we are compelled to use the *apparent complexity*. It is about a hidden order controlled by the composer generating the appearance of a complexity through which he/she catches the audience's interest. This is a complexity forged in the intimate laboratory of creation, far from the public's perception.

Because fractals are frequently used in contemporary music, the present project is destined to propose the following:

- a new concept regarding the use of fractals in music composition, in respect with an original decisional strategy;
- a new perspective regarding the musical form, freed from the classical teleology;
- a concept of musical form that avoids predictability, followed by the re-injection of order, up to a new equilibrium between order and disorder, to put the premises to the emergent symmetries, and standardized accumulations of sounds. Additionally, we suggest the dissipation of the form, up to the informational “noise”.

The concept of *self-similarity* – which is essential to the understanding of this project – makes the fractals the most suitable for the transforms applied to the sound organisms.



Figure 4. The beginning of the first variation in KV 331 sonata.

Great composers of the past anticipated *as Molière's Monsieur Joudain*, in their work, the use of fractals in shaping sound forms. For example, Mozart – in the same KV 331 from which we extracted the first fragment used to define  $G_{M1}$  – composed the first variation of that tune in the manner of a fractalized melodical envelope (see Figure 4). It's a kind of Cantor' dust.



Figure 5. Sonata Appassionata by Beethoven.

More exciting and, perhaps more complex, is what Beethoven made in his famous piano sonata *Appassionata* op. 57. It is a kind of mixture Cantor's dust and Koch's curve (see Figure 5).

In the following we propose two coherent uses of fractals, first in the field of rhythms, second in the field of pitches.

**Cantor's dust in the field of rhythms** supposes an extraction of duration segment from a sequence of time of 8 seconds. In traditional musical notation it means two tied whole notes at *MM quaver = 60*. In order to make our fractalization we will replace this duration by 6 + 6 quaver triplets, because we wish to remove 1/6 from the middle of the time segment. The last value of the second triplet and the first value of the following triplet are replaced by their correspondent rests.

**Koch's curve in the field of pitches** is illustrated in Figure 6, where the curve is generated using a  $45^\circ$  angle. From an initial C, represented by the whole segment (see Figure 6a), we go to the first “fracturing” (see Figure

6a). We have now four segments. The first and the last represent the same C, while the second and the third segments are *projected* on the horizontal axis. This means that the same number of sine waves used to generate C are stretched in a shorter time interval. Because this time interval is divided by  $\sqrt{2}$  the resulting sound is F#. A similar process is followed up in Figure 6c and Figure 6d. The result is the following sequence of pitches:

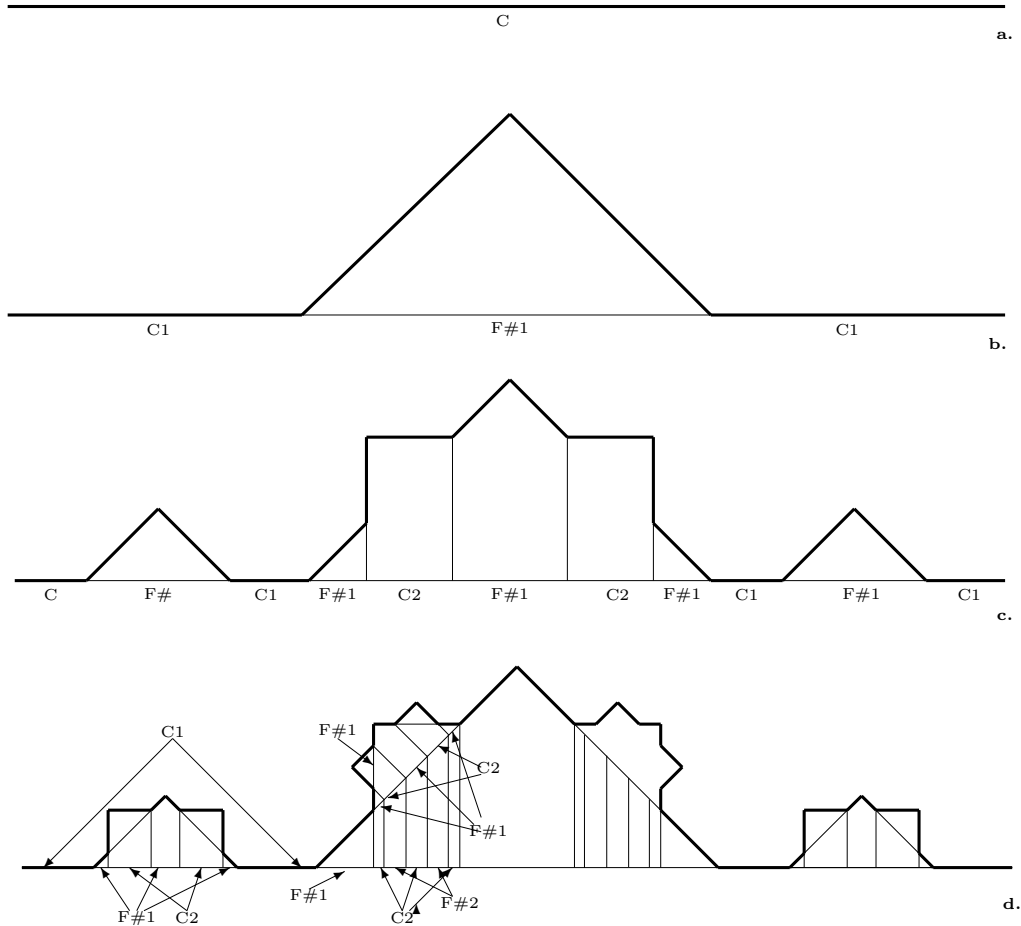


Figure 6. “Fracturing” a C on Koch’s curve.

C, F#, C, F#, C1, F#, C1, F#, C1, F#, C1

More different and complex results are expected if we would chose an angle less than  $45^\circ$ . On the other hand, further complex results are also

expected if we chose a melodical line instead of a simple long sound.

## Transforms of forms

The birth of the sound form is a quintessential matter for the present project. Therefore, we give these two definitions:

**Definition 1** A sound organism is a set of micro-events made of different combinations of sound parameters.

◊

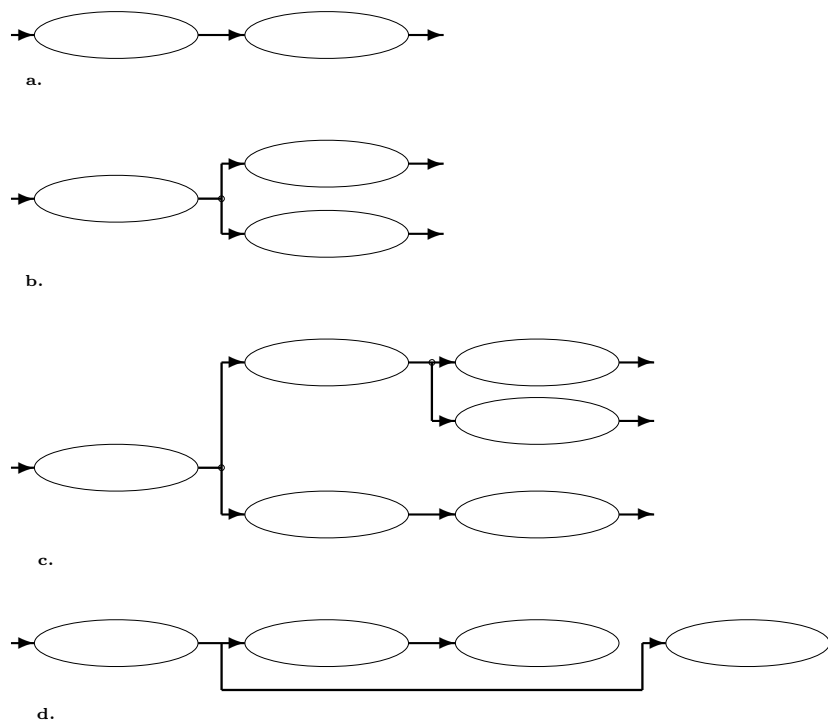


Figure 7. The three ways of growing sound forms.

**Definition 2** A sound form is a set of sound organisms that have direct transformational connections between them.

◊

There are three ways of growing sound forms: serial connection of sound organisms (see Figure 7a), parallel connection of sound organisms (see Figure 7b), and serial-parallel connection of sound organisms (see Figure 7c). Figure 7d illustrates a forbidden construct.

There are two sources of sound organisms used to grow musical forms: the discrete transforms and the continuous transforms. We previously dealt with the discrete transforms. Now we will present the continuous transforms.

## Continuous transforms

The starting point is given by the technical procedure known in electroacoustics as the *reinjection loop*. In a way, it is a metaphor which shows how a sound material is continuously degraded by its reiterated recording. There are two effects applied to a signal, suggested by this metaphor:

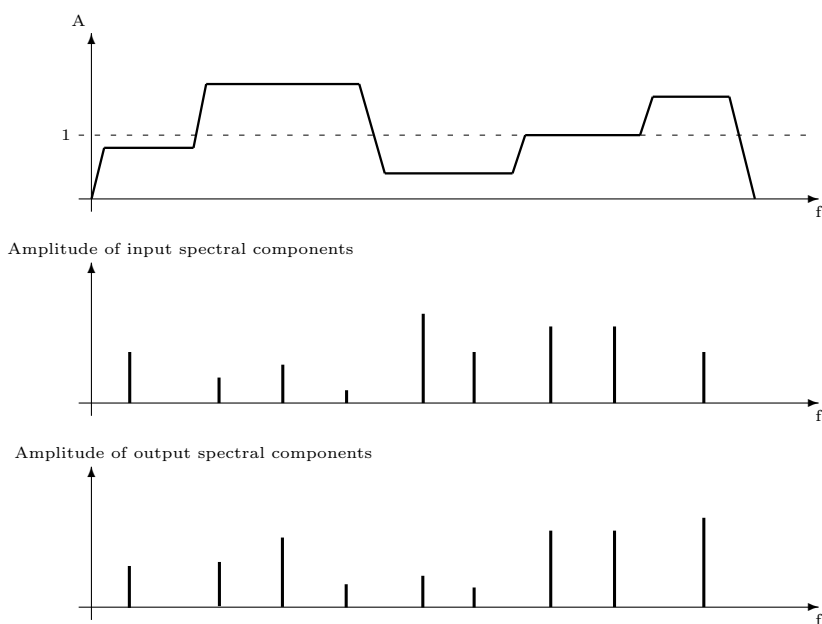


Figure 8. Filter/Amplifier.

- a filter/amplifier function

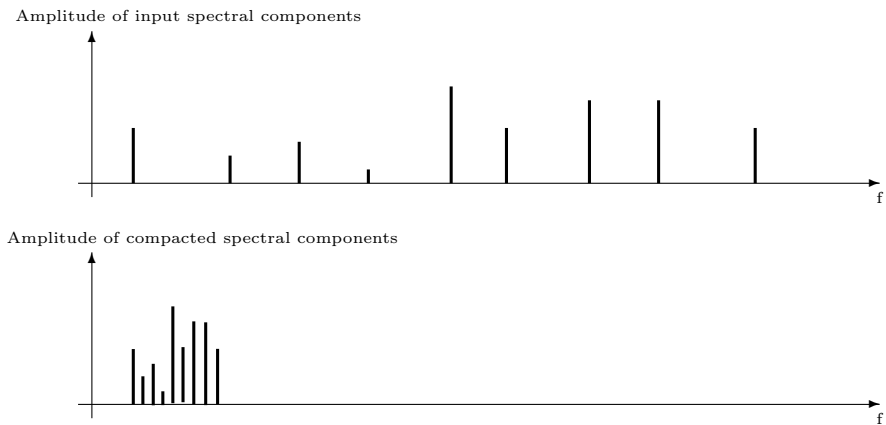


Figure 9. “Compaction”.

- a function of adding a “noise” generated by the compaction of the spectral components of the signal.

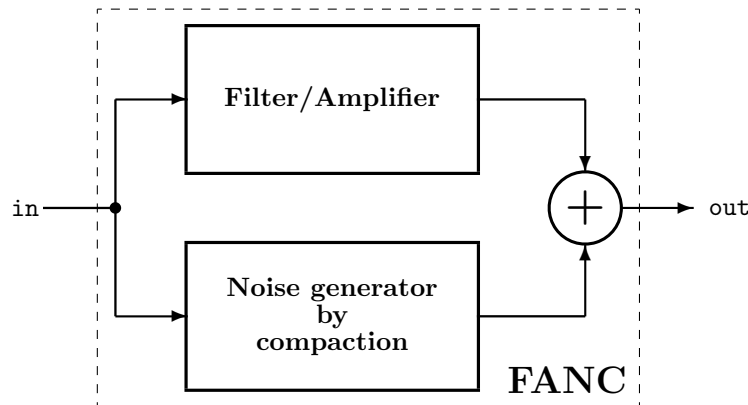


Figure 10. FAZT: Filteer Amplifier and Noise generated by Compaction.

The filter/amplifier function is described in Figure 8. Unlike a common filter, our filter/amplifier performs both a filtration and an amplification of the input signal.

The second effect is adding, to the filter/amplified signal, a sort of noise. Let us consider a fundamental,  $f^1$ , with its set of harmonics. We can generate

a sort of noise by compacting these harmonics between  $f^1$  and its second harmonic,  $f^2$  (see Figure 9). Practically, the two functions described above, are performed by the architecture presented in Figure 10.

## Practical level

### Case study

In order to verify our point of view, our strategy concerning the appliance of live electronics technics, we have chosen a score by Fred Popovici: *Itinéraires à l'intérieur de son I*. In this piece of music, two sections of the first movement are particularly suitable to the work with live electronics. This score is written for the following ensemble: Solo Flute, *Concertino* Group (flute, clarinet, percussion) and orchestra.

### About making the score

The starting point is given by an information taken from psychoacoustics: the frequency 16.5 Hz is commonly considered as a threshold between pitches and rhythms, in our perception. The high frequencies (pitches) are to be found above 16.5 Hz, the others, the low frequencies (rhythms), are to be found below it. Because the instruments of the orchestra are unable to play sounds with less than 33 Hz, the composer has decided that this frequency (the double of 16.5 Hz) will be taken as landmark of the entire work.

Let us consider the following set of frequencies: 33 Hz, 44 Hz, 49.5 Hz, 55.68 Hz, 74.25 Hz. These frequencies represent the fundamentals of a canonical *harmonic sequence*: C – F – G – (C) – A – D – G – [C]. Their frequencies were calculated as follows:

$$\begin{aligned} 33\text{Hz} \times 1 &\rightarrow C \\ 33\text{Hz} \times 4/3 &\rightarrow F \\ 33\text{Hz} \times 3/2 &\rightarrow G \\ 74,25\text{Hz} \times 3/4 &\rightarrow A \\ 49,5\text{Hz} \times 3/2 &\rightarrow D \end{aligned}$$

Above all these fundamentals we will build their odd-numbered harmonic spectra. Thus results:

$$\begin{aligned}
 33Hz \times \{1, 3, 5, \dots, (2n-1)\} &= \{33Hz, 99Hz, 165Hz, \dots\}, \\
 44Hz \times \{(1, 3, 5, \dots, (2n-1)\} &, \\
 49,5Hz \times \{1, 3, 5, \dots, (2n-1)\} &, \\
 55,68Hz \times \{1, 3, 5, \dots, (2n-1)\} &, \\
 74,25Hz \times \{1, 3, 5, \dots, (2n-1)\} &,
 \end{aligned}$$

On the other hand, we have the spectra of durations (rhythms) by dividing the same fundamentals by the same odd numbers:

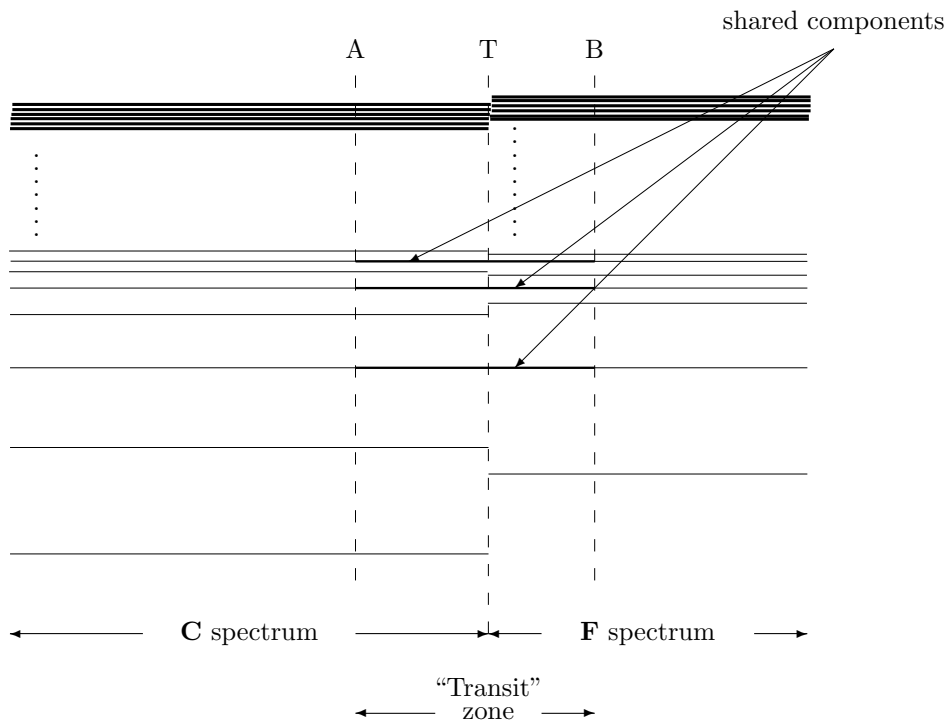


Figure 11. Transition between C and F spectra.

$$\begin{aligned}
 16,5Hz/\{1, 3, 5, \dots, (2n-1)\} &= \{8, 25Hz, 4, 125Hz, 2, 06Hz, \dots\} \\
 22Hz/\{1, 3, 5, \dots, (2n-1)\} & \\
 24,75Hz/\{1, 3, 5, \dots, (2n-1)\} &
 \end{aligned}$$

**itinéraire**      fred popovici

I

The score consists of ten staves, each representing a different instrument or group of instruments. The instruments listed from top to bottom are: Piccolo (Picc), Oboe (Ob), Clarinet (Cl), Trombone (Tp), Cello (Cello), Tambour (Tn), Percussion (Perc), Cymbals (Cv), Snare Drum (Sv), and various strings (Vn1, Vn2, Va, Vc, Cb). The score is divided into measures, with measure numbers 1 through 10 indicated at the beginning of each staff. The notation is dense, featuring various note heads, stems, and beams. Dynamic markings include ff, f, p, mf, and fz. Performance instructions like 'GK' (with a box containing dots), 'cy' (with a wavy line), 'PT' (with a triangle symbol), and 'legatiss. pass.' are also present. Measure 10 concludes with a dynamic marking of ff and mf.

Figure 12. First page of *Itinéraires à l'intérieur du son I.* and the shared components of C and F (see PC., GK).

$$\begin{aligned} 27, 84Hz/\{1, 3, 5, \dots, (2n-1)\} \\ 37, 125Hz/\{1, 3, 5, \dots, (2n-1)\} \end{aligned}$$

Composer's strategy in this piece of music requests that all these spectra (of harmonics and durations) might be organized in a chain, observing the above mentioned harmonic sequence. In the same time, the chaining of two fundamentals (with their harmonics) emphasizes a set of shared pitches. *Concertino* group is in charge with the emphasis of the shared pithes.

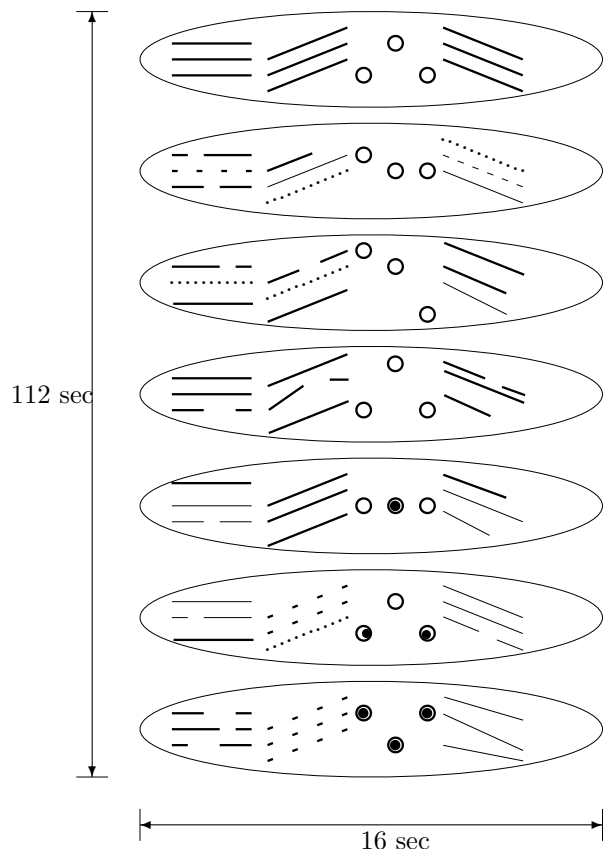


Figure 13. Simulation of the re-injection loop.

Let be, for example, the chain C – F, that gives the intersection  $\{SOL\} \cap \{DO\}$ . That means, for example, the harmonics  $4^0, 12^0, 20^0$  of C, are retrieved as the harmonics  $3^0, 9^0, 15^0$  of F. In Figure 11 is represented

this transition. The Figure 12 reproduces the page of the score *Itinéraires à l'intérieur du son I.*, where the shared pithes of C and F are played by the *Concertino* percussion (Glockenspiel).

The second section from the first movement of the piece submitted to the live electronics process is shaped as follows. There is a sound organism submitted to this process. The sound organism:

- has a duration of about 16 seconds
- is made of the superimposing of three melodical contours. The first one is made of a few harmonics of C, the second one is made of a few harmonics of F, the third is made of a few harmonics of G. The three “melodies” are played by the Solo Flute and the three instruments of the *Concertino* group

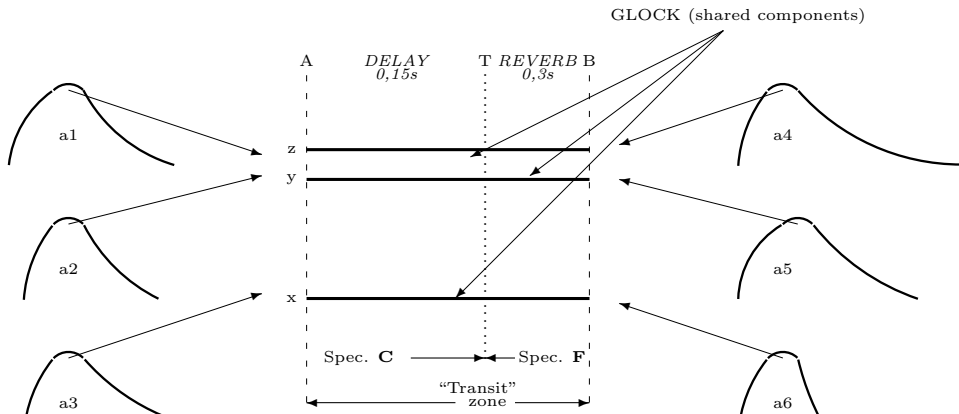
During seven 16-second “episodes”, i.e.,  $16 \times 7\text{sec} = 112\text{sec}$ , the initial sound organism is continuously transformed, distorted and dissipated. All the sound parameters are “fractalized”. In Figure 13 is presented a re-injection loop, that encompasses the above mentioned transformation processes.

### Performing the score

There are two main aspects in performing the score by using live electronics: (1) processing the transition between two spectra, (2) processing the re-injection loop.

**The transition between the spectra of C and F** is emphasized by the glockenspiel playing the shared components of the two spectra. The instrument is beginning to play few seconds after the occurrence of C and its spectrum (at the moment indicated by A in Figure 11) and continues its playing few seconds after the occurrence, at the moment T, of F and its spectrum (till the moment indicated by B in Figure 11).

The play of the glockenspiel is DELAY-ed between A and T and REVERB-ed between T and B (see Figure 14). Simultaneously, on the shared components – x, y, z – are applied, between A and T, the amplitude envelopes a1, a2, a3, while between T and B the envelopes a4, a4, a6 are applied.

Figure 14. *Live electronics for the transition between C and F.*

**Processing the re-injection loop** is represented in Figure 15. It contains the 7 episodes of the sound form; above it, the evolution of the gain applied to the “compaction” noise, and bellow it, the evolution of the filter/amplifier profile. In each OrgSon there are some micro-events used to determine the changes both in Gain of the “compaction” noise and F/A evolution.

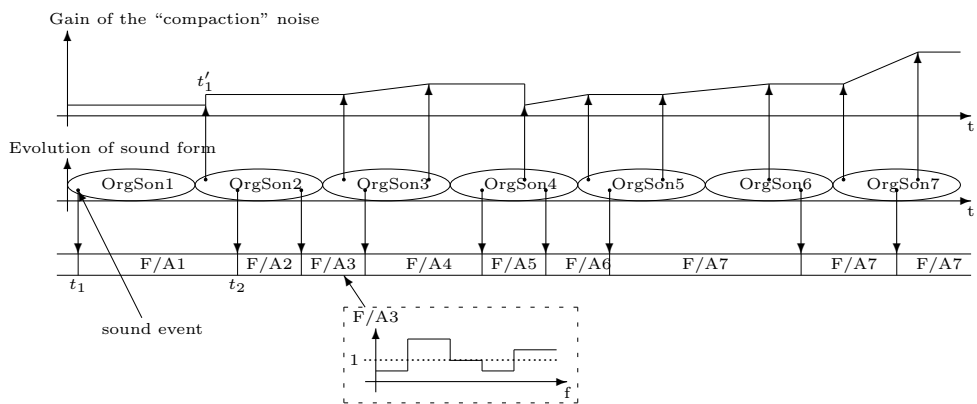


Figure 15. The interaction between the execution of sound form and FANC.

In Figure 16 is shown a page from the score, belonging to this re-injection loop, at the level of the instrumental performance (the sequence of *OrgSon1*, ... *OrgSon7*).

Figure 16. A page from *Itinéraires à l'intérieur du son I.*

## Live electronic architecture

The architecture we propose has, in our opinion, the following advantages: (1) improves the efficiency in working with live electronics technics, (2) *ipso facto* a greater assistance offered to the composers in their work, last but not least, (3) easier relations between the creator and his/her performing team.

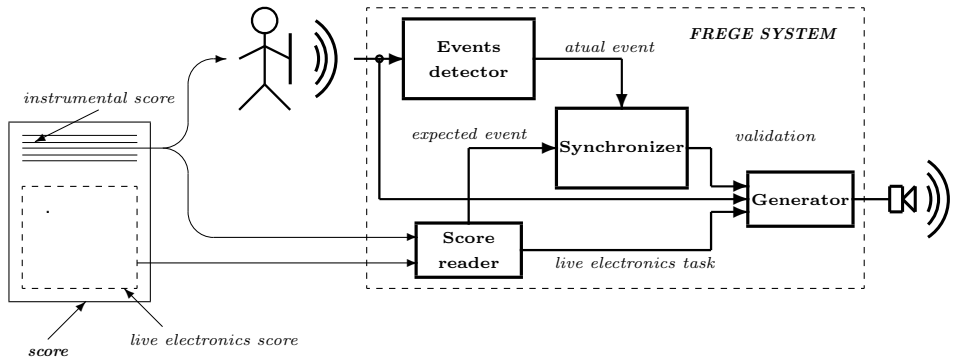


Figure 17. Live electronics FREGE system.

FREGE Architecture presented in Figure 17 is made of:

**Score:** standard score for instruments plus live electronics score

**Live electronics system** is made of:

**Score reader** follows the symbols inscribed in the two scores

**Events detector** receives the conversion of the symbols of the scores in sound signals and converts them back into symbols

**Synchronizer** detects the production of sound micro-events established as remarkable in the live electronics score

**Generator** has three inputs:

- from **Synchronizer**, a signal starting a live electronics transform (it is about *when?*)
- from instrumentalist, the signal that will be transformed (it is about *what?*)
- from **score reader** receives the name of the transform to be applied as a symbolic configuration (it is about *how?*)

# Bibliografie

- [1] Carlos Agon, Gérard Assayag, Joshua Fineberg, Camilo Rueda: *Kant: a Critique of Pure Quantification*, research report IRCAM, 1994.
- [2] A. V. Aho, J D. Ullman: *The Theory of Parsing Translation and Compiling*, Prentice-Hall, 1973.
- [3] Pierre Boulez, Andrew Gerzsó: “Computers in Music”, *Scientific American*, aprilie 1988, vol. 258, no. 4.
- [4] Gregory Chaitin: “On the Length of Programs for Computing Binary Sequences”, *J. of the ACM*, Oct., 1966.
- [5] Gregory Chaitin: “On the Difficulty of Computation”, in *IEEE Transactions of Information Theory*, ian. 1970.
- [6] Gregory Chaitin: “Algorithmic Information Theory”, *IBM J. Res. Develop.*, Iulie, 1977.
- [7] Gregory Chaitin: *Algorithmic Information Theory*, Cambridge University Press, 1987.
- [8] Gregory Chaitin: *Information, Randomness and Incompleteness*, World Scientific, 1990.
- [9] Gregory Chaitin: *The Limits of Mathematics IV*, IBM Research Report RC 19671, e-print chaodyn/9407009, July 1994.
- [10] Gregory Chaitin: *Meta Math! The quest for Omega*, Pantheon Books, 2005.
- [11] Gregory Chaitin: “The Limit of Reason”, in *Scientific American*, Martie, 2006.

- [12] Noam Chomsky, “Three Models for the Description of Languages”, *IEEE Trans. on Information Theory*, 2:3 , 1956.
- [13] Noam Chomsky: *Syntactic Structures*. Mouton, The Hague, 1957.
- [14] Noam Chomsky, “On Certain Formal Properties of Grammars”, *Information and Control*, 2:2, 1959.
- [15] Noam Chomsky, “Formal Properties of Grammars”, *Handbook of Mathematical Psychology*, Wiley, New-York, 1963.
- [16] John Chowning, “The Synthesis of Complex Audio Spectra by Means of Frequency Modulation”, *Journal of the Audio Engineering Society*, 21(7):526-534, 1973.
- [17] John Chowning, “Frequency modulation synthesis of the singing voice”, Max V. Mathews and John R. Pierce, editors, *Current Directions in Computer Music Research*, pages 57-64. MIT Press, Cambridge, 1989.
- [18] Ion Creangă, §. a.: *Introducere algebrică în informatică. Limbaje formale*, Ed. Junimea, 1974.
- [19] Jacques Derrida: *De la grammatologie*, Editions de Minuit, 1967.
- [20] Jacques Derrida: *l'Ecriture et la différence*. Editions du Seuil, Paris, 1967.
- [21] Jacques Derrida: *La dissémination*, Editions du Seuil, Paris, 1972.
- [22] Gérard Grisey: “Écrits ou l’invention de la musique spectrale”, Guy Lelong and Anne-Marie Réby (ed.), *Répercussions*, Musica Falsa, Paris 2008.
- [23] Douglas Hofstadter: *Metamagical Themas: Questing For The Essence Of Mind And Pattern*, Basic Books, 1985.
- [24] Andrey Nikolaevich Kolmogorov: “Three Approaches to the Quantitative Definition of Information”. *Problems Inform. Transmission*, vol. 1, nr. 1, 1965. pp 17.
- [25] Fabien Lévy: “L’écriture musicale à l’ére du numérique”, *Culture & recherche* no. 91-92, juillet 2002.

- [26] Benoît Mandelbrot: “How Long is the Coast of Britain? Statistical Self-Similarity and Fractional Dimension”. *Science* **156** (3775), 1967. pp. 636638.
- [27] Benoît Mandelbrot: *The Fractal Geometry of Nature*, Freeman, San Francisco, 1975
- [28] Wolfgang A. Mozart: *Sonaten fur Klavier*, Breitkopf, Berlin, 1972.
- [29] Angelo Orcalli: *Fenomenologia della musica sperimentale*, Sonus Edizioni, Bologna, 1993.
- [30] Fred Popovici: *Consecințe ale analizei electroacustice a fenomenului vibratoriu*, București, Ed. Muzicală, 1985.
- [31] Ilya Prigogine, Isabelle Stengers: *Noua alianță. Metamorfoza științei*, Ed. Politică, 1984. (Editia originală: Gallimard, 1979)
- [32] Ilya Prigogine, Isabelle Stengers: *Order out of Chaos: Man's new dialogue with nature*. Flamingo, 1984.
- [33] Larry Solomon: *The Fractal Nature of Music*, posted at: <http://solomonsmusic.net/fracmus.htm>
- [34] Ray Solomonoff: “A Preliminary Report on a General Theory of Inductive Inference”, *Report V-131*, Zator Co., Cambridge, Ma. Feb 4, 1960.
- [35] Stephen C. Kleene: “General Recursive Functions of Natural Numbers”, *Math. Ann.*, 112, 1936.
- [36] Karlheinz Stockhausen: *Texte zur Musik*, Band III, Du Mont Edition, 1970.
- [37] Gheorghe řtefan: *Funcție și structură în sistemele digitale*, Ed. Academiei Române, 1991.
- [38] Gheorghe řtefan: “Chomsky’s Hierarchy & a Loop-Based Taxonomy for Digital Systems”, *Romanian Journal of Information Science and Technology* vol. 10, no. 2, 2007.
- [39] Gheorghe řtefan: *Loops & Complexity in DIGITAL SYSTEMS. Lecture Notes on Digital Design in Giga-Gate per Chip Era (work in endless progress)*, posted at: <http://arh.pub.ro/gstefan/0-B00K.pdf>

- [40] Thomas A. Sudkamp: *Languages and Machines. An Introduction to the Theory of Computer Science*, Addison Wesley, 1997.
- [41] René Thom: *Modèles mathématiques de la morphogenèse*, Christian Bourgeois, Paris, 1981.
- [42] Alan M. Turing: “On computable Numbers with an Application to the Entscheidungsproblem”, *Proc. London Mathematical Society*, 42 (1936), 43 (1937).
- [43] John von Neumann: “First Draft of a Report on the EDVAC”, reprinted in *IEEE Annals of the History of Computing*, Vol. 5, No. 4, 1993.
- [44] Iannis Xenakis: *Formalized Music: Thought and Mathematics in Composition*, Pendragon Press, 1992.

# Glosar

$A^*$  : mulțimea tuturor sirurilor formate peste alfabetul finit  $A$ , 4

$L(G)$  : limbajul generate de gramatica  $G$ , 7

$a \xrightarrow[G]{*} b$  :  $b$  este dedus din  $a$  într-un număr oarecare de pași în gramatica  $G$ , 7

$a \xrightarrow[G]{n} b$  :  $b$  este dedus din  $a$  în  $n$  pași în gramatica  $G$ , 7

automat celular: este o matrice  $n$ -dimensională de celule care evoluază sincron în funcție de starea proprie și de stările celulelor dintr-o vecinătate constantă., 70

Bach, Johann Sebastian (1685 - 1750): compozitor german, cel mai de seamă reprezentant al barocului muzical., 74

Beethoven, Ludwig van (1770-1827): compozitor german, a dominat tranziția dintre clasicism și romanticism., 82

Boltzmann, Ludwig Eduard (1844 - 1906): fizician austriac care a contribuit esențial la dezvoltarea mecanicii statistice., 89

Carnot, Saadi (1796 - 1832): fizician și inginer francez considerat parintele termodinamicii. A statuat cel de al doilea principiu al termodinamicii referitor la ireversibilitatea termodinamică a unui sistem închis., 89

celulă muzicală: microeveniment sonor., 92

Chaitin, Gregory (n. 1947): fondatorul teoriei algoritmice a complexității., 66

Chomsky, Noam (n. 1928): este întemeietorul lingvisticii computaționale, 3, 11

Chowning, John (n. 1934): informatician și compozitor american, recunoscut prin lucrările lui despre sinteza sunetului., 103

complexitate algoritmică: dă măsura complexității unei entități ca fiind proporțională cu lungimea celei mai scurte descrierii asociate acesteia., 67

complexitate aparentă: caracterizează realități a căror simplitate este ascunsă., 69

Derrida, Jacques (1930-2004): filosof

- francez, poststructuralist, creatorul ideii de de-construcție., v
- Fibonacci, Leonardo (c. 1170 – c. 1250): matematician italian, considerat ca primul care a folosit seria de numere ce-i poartă numele în lucrarea *Liber Abaci* publicată în 1202., 50
- formă sonoră: asamblare de organisme sonore., 90
- Glass, Phillip (n. 1937): compozitor american, considerat unul dintre promotorii muzicii minimalistice., vi
- Grisey, Gerard (1946-1998): compozitor francez, cunoscut ca reprezentant important al școlii spectrale franceze., 103
- Jarrett, Keith (n. 1945): compozitor de jazz american și pianist ce interpretează muzică clasică și de jazz., vi
- Kleene, Stephen (1909 - 1994): matematician american, fondatorul teoriei funcțiilor recursive, 27
- Kolmogorov, Andrey Nikolaevich (1903-1987): fondatorul, printre multe altele, al teoriei computaționale a complexității., 66
- Ligeti, György (1923 - 2006): compozitor maghiar, cunoscut ca unul dintre pionerii muzicii numită micropolifonică., 82
- Mandelbrot, Benoît B. (1924 - 2010): matematician francez și american, născut în Polonia, este fondatorul teoriei fractalilor., 74
- Mozart, Wolfgang Amadeus (1756-1791): compozitor austriac, reprezentantul cel mai important al clasicismului., 43
- Murail, Tristan (n. 1947): compozitor francez cunoscut pentru folosirea tehnicilor spectrale în compoziția muzicală., 94
- Neumann, John von (1903 - 1957): matematician american, născut în Ungaria, are contribuții majore în multe subdomenii ale matematicii și fizicii. Numele său este legat de *arhitectura von Neumann*, unul dintre modelele abstracte ale mașinilor de calcul., 27
- organism sonor: asamblare de micro-evenimente sonore., 90
- Pierce, Charles (1839 - 1913): filosof, matematician și logician american, considerat fondatorul ca unul dintre fondatorii semioticii și părinte al pragmatismului., 42
- Prigogine, Ilya (1907 - 2003): chimist rus activ în Belgia, promoto-

- rul teoriei structurilor disipative., 89
- Saussure, Ferdinand de (1857 - 1913): lingvist elvețian, considerat fondatorul ca unul dintre fondatorii semioticii., 42
- Sierpinski, Waclaw (1882 - 1969): matematician polonez, cu contribuții importante în teoria mulțimilor, teoria numerelor și topologie., 73
- Solomonoff, Ray (1926-2009): fondatorul teoriei inferenței inducitive., 66
- Stockhausen, Karlheinz (1928 - 2007): compozitor german, reprezentant de frunte al muzicii serial-integrale, cunoscut drept un precursor al muzicii electronice., 94
- Thom, René (1923 - 2002): matematician francez, fondator al teoriei catastrofelor., x
- transformare genetică: transformarea aplicată unui organism sonor folosind gramatica generativă asociată., 93
- Turing, Allan (1912 - 1954): matematician englez, unul dintre fondatorii științei computeției și ai inteligenței artificiale. Mașina Turing este cel mai folosit model de calculabilitate., 27
- Verilog: este un limbaj de descriere a hardware-lui (HDL)., 70
- Xenakis, Yannis (1922 - 2001): compozitor francez de origine greacă, născut în România, care a introdus procedeele stochastice în structurarea discursului sonor și precursor al sintezei granulare., 119